UNIVERSIDAD NACIONAL DE CAJAMARCA

FACULTAD DE INGENIERÍA ESCUELA ACADÉMICO PROFESIONAL DE INGENIERÍA CIVIL



NIVEL DE RIESGO SÍSMICO DE LA INFRAESTRUCTURA EDUCATIVA PRIMARIA N°82020 PORCÓN BAJO, PROVINCIA CAJAMARCA-2024.

TESIS PARA OPTAR EL TÍTULO PROFESIONAL DE:

INGENIERO CIVIL

PRESENTADO POR:

Bach. DÍAZ VÁSQUEZ, Nilder.

ASESOR:

Dr. Ing. HERMES ROBERTO MOSQUEIRA RAMIREZ

CAJAMARCA - PERÚ



CONSTANCIA DE INFORME DE ORIGINALIDAD

- FACULTAD DE INGENIERÍA -

1.	DNI: 7359074	NILDER DÍAZ VÁSQUEZ 10 esional: INGENIERIA CIVIL	
2.		IERMES ROBERTO MOSQUEIRA GENIERIA CIVIL	RAMIREZ
3.	Grado acadé	mico o título profesional	
	□Bachiller □Maestro	■Título profesional □Doctor	□Segunda especialidad
4.	Tipo de Inves	tigación:	
	Tesis	☐ Trabajo de investigación	☐ Trabajo de suficiencia profesional
	☐ Trabajo ac	adémico	
	NIVEL DE RI PORCÓN BAJ	bajo de Investigación: ESGO SÍSMICO DE LA INFRAI O, PROVINCIA CAJAMARCA-202 luación: 19/08/2025	ESTRUCTURA EDUCATIVA PRIMARIA Nº82020 14
7. 8. 9. 10.	Porcentaje d Código Docu	iplagio: TURNITIN e Informe de Similitud: 9 % mento: trn:oid:::3117:48448781 la Evaluación de Similitud: 9 %	
	□X APROBA	DO 🗆 PARA LEVANTAMI	ENTO DE OBSERVACIONES O DESAPROBADO
		Fecha Emisió	on: 19/08/2025
FIRMA DIGITAL Firmado digitalmente por: BAZAN DIAZ Laura Sofia FAU 20148258601 soft Motivo: En señal de conformidad Fecha: 19/08/2025 11:01:20-0500			
Nomb		MA DEL ASESOR Hermes Roberto Mosqueira Ramir	UNIDAD DE INVESTIGACIÓN FI rez
	26673916	•	

^{*} En caso se realizó la evaluación hasta setiembre de 2023



Universidad Nacional de Cajamarca

"Norte de la Universidad Peruana"

Fundada por Ley 14015 del 13 de Febrero de 1962

FACULTAD DE INGENIERIA

Teléf. N° 365976 Anexo N° 1129-1130



ACTA DE SUSTENTACIÓN PÚBLICA DE TESIS.

TITULO

: NIVEL DE RIESGO SÍSMICO DE LA INFRAESTRUCTURA EDUCATIVA PRIMARIA Nº 82020 PORCÓN BAJO, PROVINCIA DE CAJAMARCA - 2024

ASESOR

: Dr. Ing. Hermes Roberto Mosqueira Ramírez.

En la ciudad de Cajamarca, dando cumplimiento a lo dispuesto por el Oficio Múltiple Nº 0540-2025-PUB-SA-FI-UNC, de fecha 27 de agosto de 2025, de la Secretaría Académica de la Facultad de Ingeniería, a los veintinueve días del mes de agosto de 2025, siendo las nueve horas (09:00 a.m.) en la Sala de Audiovisuales (Edificio 1A - Segundo Piso), de la Facultad de Ingeniería se reunieron los Señores Miembros del Jurado Evaluador:

Presidente

: Dr. Ing. Mauro Augusto Centurión Vargas.

Vocal

: Ing. Marcos Mendoza Linares.

Secretario

: M. Cs. Ing. Manuel Lincoln Minchan Pajares.

Para proceder a escuchar y evaluar la sustentación pública de la tesis titulada NIVEL DE RIESGO SÍSMICO DE LA INFRAESTRUCTURA EDUCATIVA PRIMARIA Nº 82020 PORCÓN BAJO, PROVINCIA DE CAJAMARCA - 2024, presentado por el Bachiller en Ingeniería Civil NILDER DÍAZ VÁSQUEZ, asesorado por el Dr. Ing. Hermes Roberto Mosqueira Ramírez, para la obtención del Título Profesional

Los Señores Miembros del Jurado replicaron al sustentante debatieron entre sí en forma libre y reservada y lo evaluaron de la siguiente manera:

: PTS EVALUACIÓN FINAL

Diecrsiele (En letras)

En consecuencia, se lo declara ... A. P. 2013 MOO... con el calificativo de ... [7. Corecriste 6.] acto seguido, el presidente del jurado hizo saber el resultado de la sustentación, levantándose la presente a las .../0.39.......... horas del mismo día, con lo cual se dio por terminado el acto, para constancia se firmó por quintuplicado.

Dr. Ing. Mauro Augusto Centurion Vargas. Presidente

Ing. Marcos Mendoza Linare

Vocal

M. Cs. Ing. Manuel Lincoln Minchan Pajares.

Secretario

Dr. Ing. Hermes Roberto Mosqueira Ramírez

Asesor



Universidad Nacional de Cajamarca

"Norte de la Universidad Peruana"

Fundada por Ley 14015 del 13 de Febrero de 1962

FACULTAD DE INGENIERÍA



Teléf. N° 365976 Anexo N° 1129-1130

EVALUACIÓN DE LA SUSTENTACIÓN PÚBLICA DE TESIS.

Bachiller en Ingeniería Civil: NILDER DÍAZ VÁSQUEZ.

	PUNTAJE Máximo/Calificación	
RUBRO		
2. DE LA SUSTENTACIÓN PÚBLICA		
2.1. Capacidad de síntesis	03	
2.2. Dominio del tema	03	
2.3. Consistencia de las alternativas presentadas	02	
2.4. Precisión y seguridad en las respuestas	05	
PUNTAJE TOTAL (MÁXIMO 12 PUNTOS)	10	

Cajamarca, 29 de agosto de 2025

Dr. Ing. Mauro Augusto Centurión Vargas. Presidente

M. Cs. Ing. Manuel Lincoln Minchan Pajares. Secretario Ing. Marcos Mendoza Linares Vocal

Dr. Ing. Hermes Roberto Mosqueira Ramírez

Asesor



Universidad Nacional de Cajamarca

"Norte de la Universidad Peruana"

Fundada por Ley 14015 del 13 de Febrero de 1962 FACULTAD DE INGENIERÍA





EVALUACIÓN FINAL DE LA SUSTENTACIÓN DE TESIS.

Bachiller en Ingeniería Civil: NILDER DÍAZ VÁSQUEZ.

	RUBRO	PUNTAJE
A EVALUACIÓ	ÓN DE LA SUSTENTACIÓN PRIVADA	07
B EVALUACIÓ	ÓN DE LA SUSTENTACIÓN PÚBLICA	10
E,	VALUACIÓN FINAL	
EN NÚMEROS (A + B)	17
EN LETRAS (A	+ B)	Dicersiela
- Excelente	20 - 19	
- Muy Bueno	18 - 17	Mry Breno
- Bueno	16 - 14	
- Regular	13 a 11	
- Desaprobado	10 a menos	

Cajamarca, 29 de agosto de 2025

Dr. Ing. Mauro Augusto Centunón Vargas. Presidente

M. Cs. Ing. Manuel Lincoln Minchan Pajares. Secretario

Roberto Mosqueira Ramírez

Asesor

Ing. Marcos Mendoza

AGRADECIMIENTO

En primer lugar, a Dios por haberme dado la vida. A mis padres y hermanos, por su inquebrantable apoyo y por motivarme siempre a progresar y alcanzar las mis metas propuestas en mi desarrollo como persona y profesional.

Quiero manifestar mi sincero agradecimiento al Dr. Ing. Hermes Roberto Mosqueira Ramírez, mi asesor, por brindarme la orientación necesaria para llevar a cabo este trabajo.

Por último, quiero agradecer a todos mis docentes de la Escuela Académico Profesional de Ingeniería Civil de la Universidad Nacional de Cajamarca por sus valiosas enseñanzas y por su aporte a mi formación académica, conocimientos que resultarán fundamentales en mi trayectoria como profesional.

DEDICATORIA

A Dios:

Por otorgarme la vida y la sabiduría necesarias para alcanzar este objetivo.

A mis padres:

José Diaz e Yonila Vasquez, por ser un ejemplo para mí, y por su apoyo incondicional que me impulsaron a seguir adelante en todo momento y además por ser los pilares de mi vida.

Mis hermanos:

Royher, Luzmeña y Fiorela, por ser mi motivo de superación día a día.

Tía, abuela y primos:

Tarcila, Mavila, Erick y Yesenia por su apoyo durante todo el desarrollo como persona y profesional.

ÍNDICE DE CONTENIDOS

AGRADECIMIENTO	ii
DEDICATORIA	iii
ÍNDICE DE CONTENIDOS	iv
ÍNDICE DE TABLAS	vii
ÍNDICE DE FIGURAS	ix
RESUMEN	X
ABSTRACT	xi
CAPITULO I: INTRODUCCIÓN	1
1.1 Planteamiento del problema.	1
1.2 Formulación del problema	3
1.3 Hipótesis	3
1.4 Justificación de la investigación	3
1.5 Alcance de la investigación	4
1.6 Delimitación de la investigación.	5
1.7 Limitaciones	5
1.8 Objetivos.	5
1.8.1 Objetivo general	5
1.8.2 Objetivos específicos	5
1.9 Contenido de los capítulos.	6
CAPITULO II: MARCO TEÓRICO	7
2.1 Antecedentes teóricos	7
2.1.1 A nivel internacional	7
2.1.2 A nivel nacional	8
2.1.3 A nivel local	9
2.2 Bases teóricas	11
2.2.1 Sismos	11
2.2.1.1 Escalas de medición de sismos.	15
2.2.2 Riego sísmico.	
2.2.3 Niveles de riesgo sísmico	
2.2.4 Vulnerabilidad sísmica:	

2.2.4.1 Tipos de vulnerabilidad	17
2.2.4.2 Metodologías de evaluación la vulnerabilidad sísmica	18
2.2.5 Peligro sísmico.	20
2.3 Definición de términos básicos.	21
CAPITULO III: MATERIALES Y MÉTODOS	23
3.1 Ubicación del objeto de estudio	23
3.1.1 Ubicación política de la institución educativa.	23
3.1.2 Ubicación geográfica de la institución educativa	23
3.2 Período de investigación	24
3.3 Población de estudio.	24
3.4 Muestra de estudio.	24
3.5 Unidad de análisis	24
3.6 Unidad de observación.	24
3.7 Tipo de investigación	24
3.8 Diseño de investigación	25
3.9 Técnicas e instrumentos de recolección de datos.	25
3.9.1 Técnicas	25
3.9.2 Instrumentos	26
3.10 Técnicas para el procesamiento y análisis de la información	26
3.11 Procedimiento del diseño metodológico de la investigación	26
3.11.1 Valoración del nivel de riesgo sísmico.	28
3.11.2 Valoración de la vulnerabilidad sísmica.	29
3.11.2.1 Valoración de la vulnerabilidad estructural	31
3.11.2.2 Valoración del estado actual.	39
3.11.2.3 Valoración de la vulnerabilidad no estructural	40
3.11.3 Valoración del peligro sísmico	44
CAPITULO IV: ANÁLISIS Y DISCUSIÓN DE RESULTADOS	46
4.1 Presentación de resultados	46
4.1.1 Vulnerabilidad estructural de los bloques	50
4.1.2 Estado actual de los bloques.	57
4.1.3 Estabilidad de tabiques	60

4.2 Análisis de resultados
4.2.1 Vulnerabilidad sísmica de los bloques
4.2.2 Peligro sísmico de los bloques
4.2.3 Nivel de riesgo sísmico.
4.3 Interpretación y discusión de resultados
4.3.1 Vulnerabilidad sísmica
4.3.1.1 Comportamiento estructural
4.3.1.1.1 Derivas de entrepiso
4.3.1.1.2 Comportamiento de columnas y placas
4.3.1.1.3 Comportamiento de vigas
4.3.1.2 Evaluación del estado actual de la edificación
4.3.1.3 Evaluación de la estabilidad de tabiques
4.3.2 Peligro sísmico
4.3.3 Riesgo símico
4.4 Contrastación de la hipótesis 66
CAPITULO V: CONCLUSIONES Y RECOMENDACIONES
5.1 Conclusiones 67
5.2 Recomendaciones. 67
CAPITULO VI: REFERENCIAS BIBLIOGRÁFICAS
ANEVOS 71

ÍNDICE DE TABLAS

Tabla 1 Escalas de medición de sismos: Mercalli Modificada y Richter.	15
Tabla 2 Ubicación política de la I.E. primaria "N°82020 Porcón Bajo"	23
Tabla 3 Ubicación geográfica de la I.E. primaria "N°82020 Porcón Bajo"	24
Tabla 4 Valoración del riesgo sísmico - cuantitativa	28
Tabla 5 Valoración del riesgo sísmico - cualitativa	28
Tabla 6 Indicadores para analizar la vulnerabilidad sísmica	29
Tabla 7 Combinación de indicadores para la evaluación de la vulnerabilidad sísmica	30
Tabla 8 Rango de evaluación cualitativa de la vulnerabilidad sísmica	31
Tabla 9 Factor de zona	32
Tabla 10 Categoría de las edificaciones y factor de uso	33
Tabla 11 Factor de suelo (S)	33
Tabla 12 Periodos (T _P y T _L)	34
Tabla 13 Sistemas estructurales -coeficiente básico de reducción (Ro)	34
Tabla 14 Limites para la distorsión de entrepiso	35
Tabla 15 Relación de acero existente y acero calculado	38
Tabla 16 Tipos de comportamiento estructural	39
Tabla 17 Valores de "C1"	43
Tabla 18 Coeficiente de momentos "m" y dimensión crítica "a".	43
Tabla 19 valores de los indicadores del peligro sísmico	44
Tabla 20 Rangos para la valoración cualitativa del peligro sísmico	45
Tabla 21 Ambientes que lo conforman el bloque "A"	46
Tabla 22 Ambientes que lo conforman el bloque "B"	47

Tabla 23 Resumen esclerometría bloque "A" y bloque "B"	48
Tabla 24 Derivas bloque "A" – dirección X-X.	50
Tabla 25 Derivas bloque "A" – dirección Y-Y	50
Tabla 26 Derivas bloque "B" – dirección X-X	51
Tabla 27 Derivas bloque "B" – dirección Y-Y.	51
Tabla 28 Acero existente y acero necesario bloque "A"	53
Tabla 29 Acero existente y acero necesario bloque "B"	53
Tabla 30 Momento resistente y actuante – bloque "A"-eje A-A (primer piso)	55
Tabla 31 Momento resistente y actuante – bloque "A"-eje C-C (primer piso)	55
Tabla 32 Momento resistente y actuante – bloque "a"- eje A-A y eje C-C (segundo piso)	55
Tabla 33 Momento resistente y actuante – bloque "B"-eje A-A (primer piso)	56
Tabla 34 Momento resistente y actuante – bloque "B"-eje C-C (primer piso)	56
Tabla 35 Momento resistente y actuante – bloque "B"- eje A-A y eje C-C (segundo piso)	56
Tabla 36 Estabilidad de tabiques de los bloques "A" y "B"	60
Tabla 37 Evaluación de la vulnerabilidad sísmica.	61
Tabla 38 Zonificación	62
Tabla 39 Tipo de suelo	62
Tabla 40 Topografía	63
Tabla 41 Nivel de peligro sísmico de los bloques "A" y "B"	63
Tabla 42 Valoración del nivel de riesgo sísmico de los bloques "A" y B"	64

ÍNDICE DE FIGURAS

Figura 1 Registro de sismos en la región de Cajamarca en la última década	2
Figura 2 Deformaciones que provocan las de ondas profundas (P y S).	13
Figura 3 Propagación de ondas superficiales.	14
Figura 4 Mapa de la I.E "N°82020 Porcón Bajo" (plano de ubicación UL)	23
Figura 5 Diagrama de metodología	27
Figura 6 Secciones transversales típicas – columnas y placas	52
Figura 7 Secciones típicas de las vigas principales primer piso- bloques "A y B"	54
Figura 8 Sección transversal de las V.P. segundo piso- bloques "A y B"	54
Figura 9 Veredas y placas: presencia de humedad - Bloque "A"	57
Figura 10 Cerco perimétrico: (a) y (b) cimentación expuesta a la intemperie.	57
Figura 11 Muros y losas: (a) humedades y (b) filtraciones – bloque "A" y "B"	58
Figura 12 Veredas: grietas (a) y (b)- bloque "A" y "B"	58
Figura 13 Cerco perimétrico: deslizamiento de muro de contención por empuje activo	59
Figura 14 Muros portantes: (a): deterioro- tabiques: (b) desprendimiento de tarrajeo	59

RESUMEN

Se ha evidenciado la ocurrencia de sismos en distintos contextos espaciales y temporales,

afectando a edificaciones esenciales que deberían servir como resguardo de vidas. Estos eventos

sísmicos han puesto de manifiesto deficiencias estructurales revelando un comportamiento

inadecuado ante las solicitaciones sísmicas. Ante esta problemática en la institución educativa

primaria N°82020 Porcón Bajo que representa una de las estructuras típicas construidas en la sierra

por el INFES, bajo la norma sismorresistente de 1997, que presenta regulaciones menos exigentes

en comparación con las actuales. Se propuso determinar el nivel de riesgo sísmico de los bloques

"A" y "B", utilizando la ecuación de Kuroiwa. Para ello, se llevó a cabo un levantamiento

arquitectónico que permitió corroborar las dimensiones según los planos del expediente técnico

proporcionado por el PRONIED. Se realizaron ensayos de esclerometría en vigas, columnas y

placas, además se realizó él estudió de mecánica de suelos para identificar el tipo de suelo en el

que se encuentran los bloques. Con la información recolectada, se evaluó el comportamiento

sísmico de los bloques A y B utilizando el software Etabs V19.1. Los resultados obtenidos

indicaron que ambos bloques, "A" y "B", presentan una vulnerabilidad baja, atribuida a un

adecuado comportamiento estructural, algunos tabiques inestables y una situación actual regular.

El peligro sísmico se valoró como medio, dado que la sismicidad de la zona es moderada, la

topografía es plana y el suelo de fundación es flexible, con una capacidad portante de 0.66 kg/cm².

Finalmente, se concluyó que los bloques "A" y "B" de la institución educativa presentan un nivel

de riesgo sísmico medio.

Palabras claves: Riego sísmico, Vulnerabilidad, Peligro sismo.

 \mathbf{X}

ABSTRACT

The occurrence of earthquakes has been observed in different spatial and temporal

contexts, affecting essential buildings that should serve as a life preserver. These seismic events

have revealed structural deficiencies, revealing inadequate behavior under seismic stresses. This

problem has arisen at Primary School No. 82020 Porcón Bajo, one of the typical structures built

in the mountains by INFES, under the 1997 earthquake-resistant standard, which presents less

demanding regulations compared to current ones. It was proposed to determine the seismic risk

level of blocks "A" and "B" using the Kuroiwa equation. To this end, an architectural survey was

conducted to corroborate the dimensions according to the plans in the technical file provided by

PRONIED. Sclerometry tests were performed on beams, columns, and slabs, and soil mechanics

were studied to identify the type of soil in which the blocks are located. With the information

collected, the seismic behavior of blocks A and B was evaluated using Etabs V19.1 software. The

results indicated that both blocks A and B present low vulnerability, attributed to adequate

structural behavior, some unstable partitions, and a regular current situation. The seismic hazard

was classified as medium, given the area's moderate seismicity, the flat topography, and the

foundation soil is flexible, with a bearing capacity of 0.66 kg/cm². Finally, it was concluded that

blocks A and B of the educational institution present a medium seismic risk level.

Keywords: Seismic risk, Vulnerability, earthquake hazard.

хi

CAPITULO I: INTRODUCCIÓN.

1.1 Planteamiento del Problema.

Más de 875 millones de estudiantes a nivel mundial asisten a instituciones educativas expuestas a amenazas naturales, siendo los sismos una de las más destructivas. Se estima que, en países de recursos bajos y medios, al menos el 60 % de las escuelas carecen de condiciones estructurales adecuadas para enfrentar movimientos sísmicos de moderada a gran intensidad, debido a deficiencias en el diseño, envejecimiento de materiales, ausencia de mantenimiento y ausencia de normativas sísmicas actualizadas. Ejemplos como el terremoto de Haití en 2010 demuestran la gravedad del problema: más de 4.000 escuelas colapsaron, afectando el acceso a la educación de aproximadamente 1,5 millones de estudiantes (United Nations Office for Disaster Risk Reduction, 2022).

El Perú, según (Tavera, 2019), presenta sismicidad debido a la subducción de la placa de Nazca bajo la Sudamericana, a una velocidad de 7–8 cm/año, lo que genera en promedio 450 sismos anuales. Específicamente el nororiente del país predomina los sismos de intraplaca con focos intermedios, capaces de alcanzar magnitudes mayores a M8.0. Un ejemplo representativo es el sismo de Lagunas (Loreto) ocurrido en 2019, con una magnitud de M8.0 con profundidad de 135 km, que produjo severos daños en Yurimaguas a 35 km del epicentro, lo que produjo colapso de viviendas, colegios, centros de salud, licuación de suelos y deslizamientos. Asimismo, provincias como Jaén y Cajabamba reportaron colapsos de viviendas de adobe, caída de tabiques y deslizamientos producto del sacudimiento.

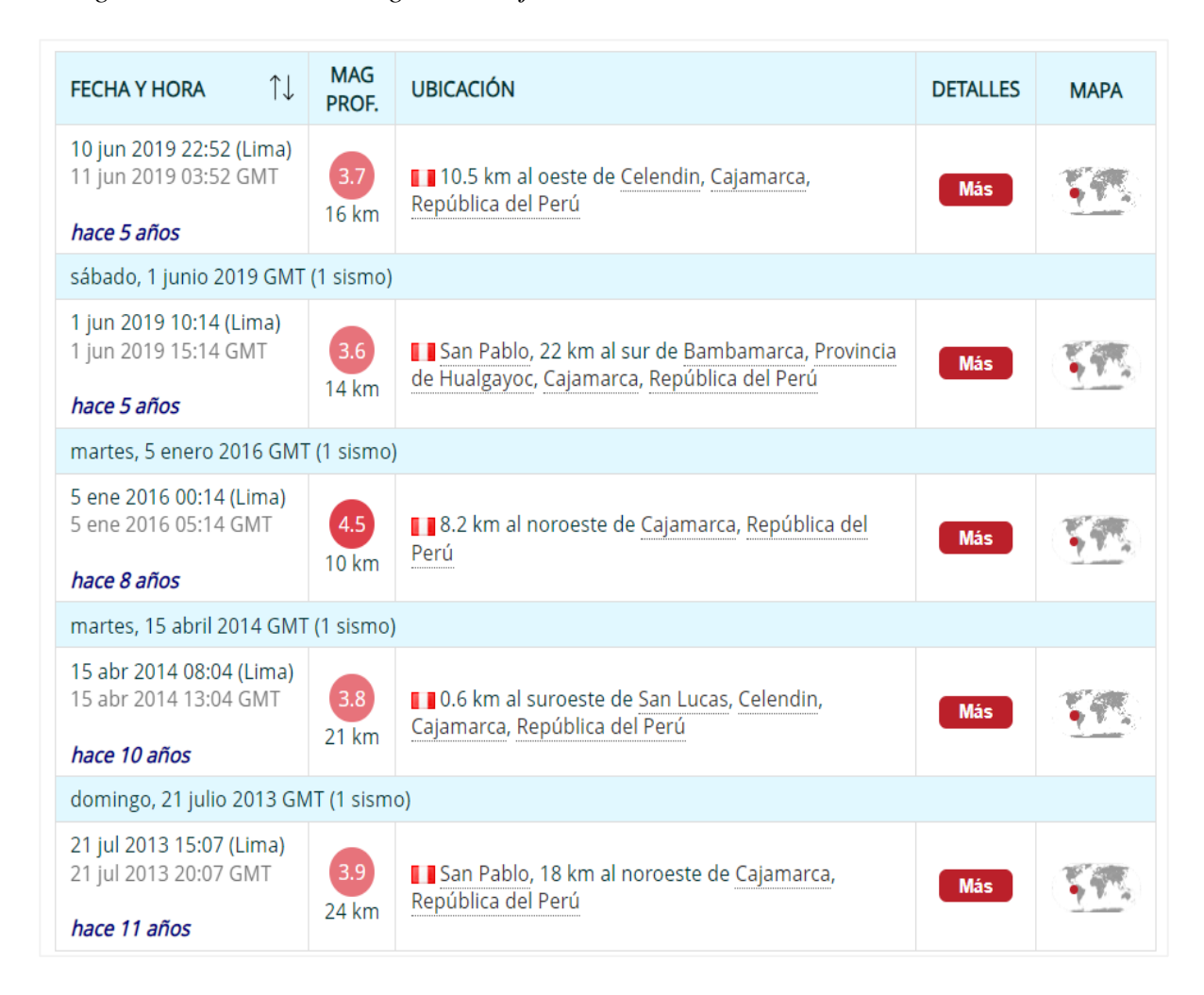
Por otro lado también (Tavera, 2019), sostiene que los sismos corticales que ocurren al interior del continente están asociados a la cordillera andina y la formación y/o reactivación de fallas, estas encontramos, por ejemplo: en la región San Martin (sistemas de fallas Rioja-

Moyobamba), Amazonas (Falla el Recodo) y Cajamarca (Falla Chaquilbamba-Cajabamba) las cuales no se han movido en los últimos 2000 años siendo un latente peligro por la gran energía que tienen acumulada.

El departamento de Cajamarca ha experimentado en el último siglo cinco sismos, con magnitudes hasta 4.5 en la escala de Richter, estos eventos Sísmicos, aunque de magnitudes moderadas, destacan la actividad sísmica en la región. (Volcano Discovery, 2024).

Figura 1

Registro de sismos en la región de Cajamarca en la última década



Fuente: Volcano Discovery, 2024.

Unicef Perú (2023), indico que en el país existen más de 55 mil colegios públicos a nivel nacional, de los cuales 7 de cada 10 requieren ser demolidos o refaccionados con urgencia para poder superar los problemas que hay en la infraestructura en del sector educación, además (MINEDU, 2024) manifiesta que en el Perú existe alrededor de 55 mil 436 colegios públicos, del total se precisó que el 54.6% se encuentra en un estado crítico o muy crítico. También, el diario Gestión (2024), informa que las regiones con mayor brecha educativa son Lima metropolitana, Puno, Loreto, Piura y Cajamarca, de modo que del total de escuelas de nivel inicial, primaria y secundaria el 92.5% cuenta con una infraestructura inadecuada.

La infraestructura evaluada de la institución educativa primaria N°82020 Porcón Bajo, provincia Cajamarca constituye un modelo tipo "780 post 97" construida por el "INFES" en la sierra del Perú en el año 1999, bajo la norma de diseño sismorresistente de 1997, norma no acorde a la actualidad, además se observa en los bloques de la institución la presencia del mal estado de conservación, fisuras, e infiltraciones en la infraestructura; por lo tanto se ha visto necesario determina el nivel de riesgo sísmico de la institución educativa.

1.2 Formulación del problema

¿Cuál es el nivel de riesgo sísmico de la infraestructura educativa primaria N°82020 Porcón Bajo, provincia Cajamarca – 2024?

1.3 Hipótesis

El nivel de riesgo sísmico de la infraestructura educativa primaria N°82020 Porcón Bajo, es alto.

1.4 Justificación de la investigación.

La Institución Educativa Primaria Nº 82020 Porcón Bajo, tiene una antigüedad aproximada de 25 años, presenta un estado de conservación deficiente, evidenciado en fisuras e infiltraciones

de humedad. Esta infraestructura, destinada a funciones académicas, alberga de manera continua a estudiantes, docentes y personal administrativo, lo que incrementa la necesidad de garantizar condiciones mínimas de seguridad estructural. Conforme a lo establecido por la Norma Técnica Peruana - E.030 Diseño sismorresistente, (2018), esta edificación se clasifica dentro de la categoría de uso A2, por lo que debe cumplir con los principios y paradigmas fundamentales del diseño sismorresistente. En ese sentido, resulta necesario determinar el nivel de riesgo sísmico al que está expuesta, mediante la evaluación de su vulnerabilidad sísmica (condiciones estructurales, estado de conservación y estabilidad de los elementos no estructurales) y del peligro sísmico (zonificación sísmica local, tipo de suelo y condiciones topográficas). Esta evaluación permitirá advertir posibles escenarios de riesgo y establecer medidas preventivas que garanticen la seguridad e integridad física de los alumnos y comunidad en general de la institución educativa

1.5 Alcance de la investigación.

El presente trabajo se propuso valorar el nivel de riesgo sísmico de la institución educativa primaria N.º 82020 Porcón Bajo, específicamente en los bloques "A" y "B", considerando como factores principales la vulnerabilidad y el peligro sísmico. Ambos bloques presentan sistemas compuestos por muros de albañilería confinada en sentido transversal y placas estructurales en dirección longitudinal. La investigación corresponde a un enfoque descriptivo, cuantitativo y de tipo transversal, sustentada en la metodología propuesta por Kuroiwa (2002), cuya formulación permite determinar de manera numérica el nivel de riesgo sísmico en las edificaciones

1.6 Delimitación de la investigación.

- ✓ La presente investigación se centró en los bloques "A" y "B" de la institución educativa primaria N°82020 Porcón Bajo, ubicado en la provincia y departamento de Cajamarca.
- ✓ Para la evaluación estructural, la resistencia del concreto se consideró según los resultados obtenidos de los ensayos de esclerometría y la cantidad de acero se ha tenido en cuenta según los planos estructurales brindados por el PRONIED.
- ✓ El estado actual de las estructuras de los Bloques "A" y "B" se ha basó en la observación directa de los mismos.
- ✓ Al evaluar el nivel de peligro sísmico se tuvo en cuenta el estudio de mecánica de suelos realizado, la zonificación según E-030 y la topografía del sitio.

1.7 Limitaciones.

En el modelo para la evaluación estructural no se ha considera la Iteración suelo-estructura.

1.8 Objetivos

1.8.1 Objetivo general

✓ Determinar el riesgo sísmico de la infraestructura educativa primaria N°82020 Porcón Bajo, provincia Cajamarca – 2024.

1.8.2 Objetivos Específicos

- ✓ Determinar la vulnerabilidad sísmica de la infraestructura educativa primaria N°82020 Porcón Bajo.
- ✓ Determinar el peligro sísmico de la infraestructura educativa primaria N°82020 Porcón Bajo.

1.9 Contenido de los Capítulos.

La presente investigación se ha organizado en las siguientes partes:

- CAPITULO I. INTRODUCCIÓN: Este capítulo abarca el planteamiento problemático, hipótesis, justificación, alcance, delimitación, limitación y objetivos del estudio.
- CAPÍTULO II. MARCO TEÓRICO: Este capítulo contiene los antecedentes referidos a la investigación, bases teóricas y definición los términos básicos.
- Capítulo III. MATERIALES Y MÉTODOS: Este capítulo se detalla el procedimiento, la manipulación y el análisis referidos a los datos.
- CAPÍTULO IV. ANÁLISIS Y DISCUSIÓN DE RESULTADOS: Este capítulo presenta, analiza, interpreta y discute los resultados obtenidos en la presente investigación.
- CAPITULO V. CONCLUSIONES Y RECOMENDACIONES: En este capítulo se presenta el logro de los objetivos establecidos y se proponen recomendaciones.
- REFERENCIAS BIBLIOGRÁFICAS:
- ANEXOS

CAPITULO II: MARCO TEÓRICO.

2.1 Antecedentes teóricos

2.1.1 A nivel internacional

Tharaka A, Kalpa W & Raffaele N (2023). En su estudio "Evaluación del riesgo sísmico de edificaciones escolares típicas de concreto armado en Sri Lanka", caracterizadas por estructuras de uno a tres pisos sin irregularidades evidentes, mediante modelos tridimensionales no lineales construidos en OpenSees. El estudio aplicó el Análisis Dinámico Incremental (IDA) utilizando 20 registros sísmicos reales escalados progresivamente, con el fin de estimar el rendimiento estructural frente a diferentes niveles de intensidad sísmica, definidos en términos de aceleración espectral. Se analizaron tres configuraciones estructurales: de 1, 2 y 3 pisos, encontrando que la probabilidad de colapso en la edificación de 3 pisos alcanzó el 45 % para una aceleración espectral (Sa) de 0.9 g, mientras que para la de 2 pisos fue del 23 % y para la de 1 piso solo del 6 %. La investigación concluye que estas edificaciones escolares son altamente vulnerables frente a sismos severos debido a la falta de diseño por desempeño y a deficiencias estructurales típicas, recomendando la urgente incorporación de estrategias de reforzamiento sísmico, así como la actualización de los criterios de diseño en la infraestructura educativa existente.

Slobodan M, Bošković I, Đorđević M, Krtinić N, & Žugić A (2024). En su estudio "Evaluación del Riesgo Sísmico en Edificios Escolares: Un Estudio Comparativo de Dos Métodos de Evaluación" realizaron una evaluación de riesgo sísmico en 213 escuelas (367 edificios), aplicando dos metodologías comparativas: AdriSeismic (análisis estructural-estático modificado) y MM Risk (evaluación integrada de riesgo estructural y social). Los resultados indicaron que más del 60 % de las escuelas se clasifican en riesgo sísmico alto o muy alto mediante

AdriSeismic, mientras que MM Risk determinó que el 27 % requiere medidas de mitigación urgentes y el 72 % se encuentra en riesgo medio. Ambos métodos coincidieron en la necesidad de priorizar esfuerzos de atención en un subconjunto significativo de edificios. Además, se reportó que más de 40,000 estudiantes y personal escolar están expuestos a peligros elevados, especialmente aquellos en zonas rurales.

Sianko I, Ozdemir Z., Hajirasouliha I, & Pilakoutas K. (2023). Un estudio denominado "Evaluación probabilística del riesgo sísmico: Estudio de caso en Adapazarı, Turquía", el objetivo fue cuantificar el daño sísmico probable y generar herramientas útiles para la toma de decisiones estructurales. La muestra consistió en diversas edificaciones representativas (367 edificios), en los que se aplicaron más de 3.600 simulaciones no lineales con 60 registros sísmicos reales, usando Análisis Dinámico Incremental (IDA) y modelos SDOF equivalentes. Los resultados permitieron construir curvas de fragilidad paramétricas y mapas de riesgo, identificando que estructuras tipo marco HW2B presentaban una probabilidad de colapso del 99,5 % ante una aceleración pico de 0,35 g. La investigación concluye que este enfoque probabilístico proporciona una evaluación precisa del riesgo sísmico, identificando con claridad la influencia del periodo fundamental, ductilidad y resistencia estructural.

2.1.2 A nivel nacional

Paredes (2023), en su investigación titulada "Nivel de Riesgo Sísmico y medidas de mitigación en la Institución Educativa N.º 5125 en el distrito de Ventanilla-Lima", cuyo objetivo fue determinar el nivel de riesgo sísmico de la infraestructura escolar y plantear medidas de mitigación estructural. La investigación se realizó bajo un enfoque cuantitativo, con diseño no experimental y alcance descriptivo, empleando técnicas de observación directa, análisis documental y modelamiento estructural. El índice de riesgo sísmico se calculó aplicando

parámetros establecidos en la normativa nacional, obteniéndose un valor de 0.038, clasificado como riesgo alto (0.019 ≤ R < 0.069). En el análisis del Bloque C se identificaron deficiencias en la respuesta estructural, recomendándose la incorporación de muros de corte, y la simulación estructural posterior mostró que esta intervención reducía las distorsiones a valores dentro de los límites permisibles de la norma (dirección x-x: 0.0087). La conclusión del estudio señala que la infraestructura evaluada presenta un nivel de riesgo sísmico alto, lo que evidencia la necesidad de implementar medidas de reforzamiento estructural.

Martinez & Sedano (2019), En su tesis de "Nivel de Riesgo Sísmico de la institución educativa Aichi Nagoya en Ate, Lima, 2019, con la finalidad de proponer un reforzamiento Sísmico", para la valoración del nivel de riesgo sísmico se realizó tomando como base la ecuación propuesta por Kuroiwa (2002). Para el desarrollo de la investigación se llevaron a cabo ensayos de mecánica de suelos y un modelado estructural mediante el software ETABS. Los resultados evidenciaron que la edificación presenta una rigidez reducida en el eje longitudinal y una inestabilidad de los tabiques frente a sismos de gran magnitud, lo que conlleva a un nivel de riesgo sísmico elevado. Como medida de refuerzo se planteó la aplicación de técnicas de encamisado de columnas y la adición de aletas de concreto, estrategias que contribuyen a optimizar el desempeño estructural.

2.1.3 A nivel local

Palomino (2019), en su tesis de maestría titúlala: "Riesgo Sísmico de la infraestructura educativa publica Cesar Vallejo – Chanta Alta, Distrito la Encañada, provincia de Cajamarca – 2018", el estudio tuvo como propósito determinar el riesgo sísmico de la infraestructura educativa, aplicando como metodología la ecuación propuesta por Kuroiwa (2002). Los resultados obtenidos mostraron que las derivas de entrepiso en los módulos 1, 2 y 3 se encuentran dentro de

los límites establecidos por la Norma E.030 del RNE. No obstante, se identificó la ausencia de juntas sísmicas en dichos módulos. En el análisis de las vigas principales de sección (30x60) se evidenció que estas no resultan adecuadas para resistir los momentos generados por cargas gravitacionales ni por efectos sísmicos. Por otro lado, en la evaluación de las columnas se determinó que la cuantía de acero es adecuada para soportar cargas muertas, vivas y sísmicas, con excepción del Módulo 2. Asimismo, la inspección visual del estado actual de la edificación indicó que todos los módulos presentan una condición estructural regular. Finalmente, respecto a los tabiques, se verificó que algunos son vulnerables frente a cargas horizontales perpendiculares a su plano. En consecuencia, se concluyó que los módulos 1, 2 y 3 de la institución educativa César Vallejo presentan una vulnerabilidad sísmica media, un nivel de peligro sísmico intermedio y, por lo tanto, un riesgo sísmico de nivel medio.

Flores (2022), en su tesis "Nivel de Riesgo Sísmico del centro educativo de nivel primario N°82005 "Miguel Iglesias" del distrito de Cajamarca – Cajamarca", se propuso determinar el nivel de riesgo sísmico aplicando la metodología basada en la ecuación de Kuroiwa. El análisis evidenció que las derivas de entrepiso se encuentran dentro de los límites establecidos por la Norma Técnica E.030. Asimismo, se identificó la presencia de un mecanismo de falla dúctil en la estructura, mientras que respecto a la falla por columna corta. Los resultados del estudio arrojaron un índice de vulnerabilidad sísmica de 2.00, correspondiente a un nivel medio; un valor de peligro sísmico de 2.6, que se clasifica como nivel alto; y, en consecuencia, un nivel de riesgo sísmico de 2.30, lo cual valora la edificación dentro del nivel de riesgo alto.

Marín (2023), En su tesis de pregrado titulada "Riesgo Sísmico de la Institución Educativa Primaria de Menores Nº16002, del distrito y provincia de Jaén, región Cajamarca", para su investigación utilizo la metodología adaptada de la ecuación de Kuroiwa (2002)", para lo

cual se realizó el levantamiento arquitectónico de las estructuras, ensayos no destructivos en los elementos estructurales y su estudio de mecánica de suelos, con los datos obtenidos se realizó la evaluación del comportamiento Sísmico. Concluyendo que módulos N°01, N°02 y N°03, presentan un Riesgo Sísmico medio, mientras que el módulo N°04 determino que tiene un Nivel de Riesgo Sísmico Alto.

2.2 Bases teóricas

2.2.1 Sismos

Los movimientos Sísmicos se describen como:

Un fenómeno gradual, progresivo y constante caracterizado por la liberación repentina de energía mecánica. Esta liberación de energía se produce como resultado de modificación en el estado de esfuerzos, deformaciones y desplazamientos, tanto en áreas de interacción de placas tectónicas como dentro de las mismas (Cenepred, 2015).

Tipos de sismos.

En el Perú tenemos diferentes tipos de sismos de acuerdo a su origen:

a) Sismo de interplaca.

Denominados también de interfase, este tipo de sismos tiene un foco superficial debido a la convergencia y fricción de las placas de Nazca y Sudamérica. En la historia del Perú este tipo ha dado origen a los sismos de mayor magnitud como por ejemplo los siguientes: 1746 (Lima, M8.8), 1868 (Arequipa, M8.8), Arequipa 2001 (M8.2) y el más reciente Ica del año 2007 (M8.0) (Tavera, 2019).

b) Sismos de intraplaca.

Estos movimientos sísmicos se originan por la deformación intraplaca de la placa de Nazca, la cual se introduce bajo la corteza continental como resultado del proceso de subducción. Dicha placa sufre alteraciones estructurales debido a las tensiones que limitan su desplazamiento en la zona de contacto, así como a las fuerzas compresivas que la conducen hacia el manto superior. Este tipo de eventos puede alcanzar magnitudes de hasta M8.0. (Tavera, 2019)

c) Sismos corticales o superficiales.

Los sismos corticales se originan por la aparición y/o reactivación de las fallas geológicas que se extienden a lo largo de la cordillera de los Andes. Esta cadena montañosa experimenta deformaciones causadas por tensiones tanto compresivas como extensivas, lo que da lugar a sismos con magnitudes inferiores a M6.5 (Tavera, 2019).

d) Tipos de ondas sísmicas.

Según Campoverde (2017), clasifica las el tipo de ondas sísmicas de la siguiente manera:

➢ Ondas Profundas

Este tipo de ondas de propagan de manera esférica en interior de la tierra desde el hipocentro, las cuales tenemos:

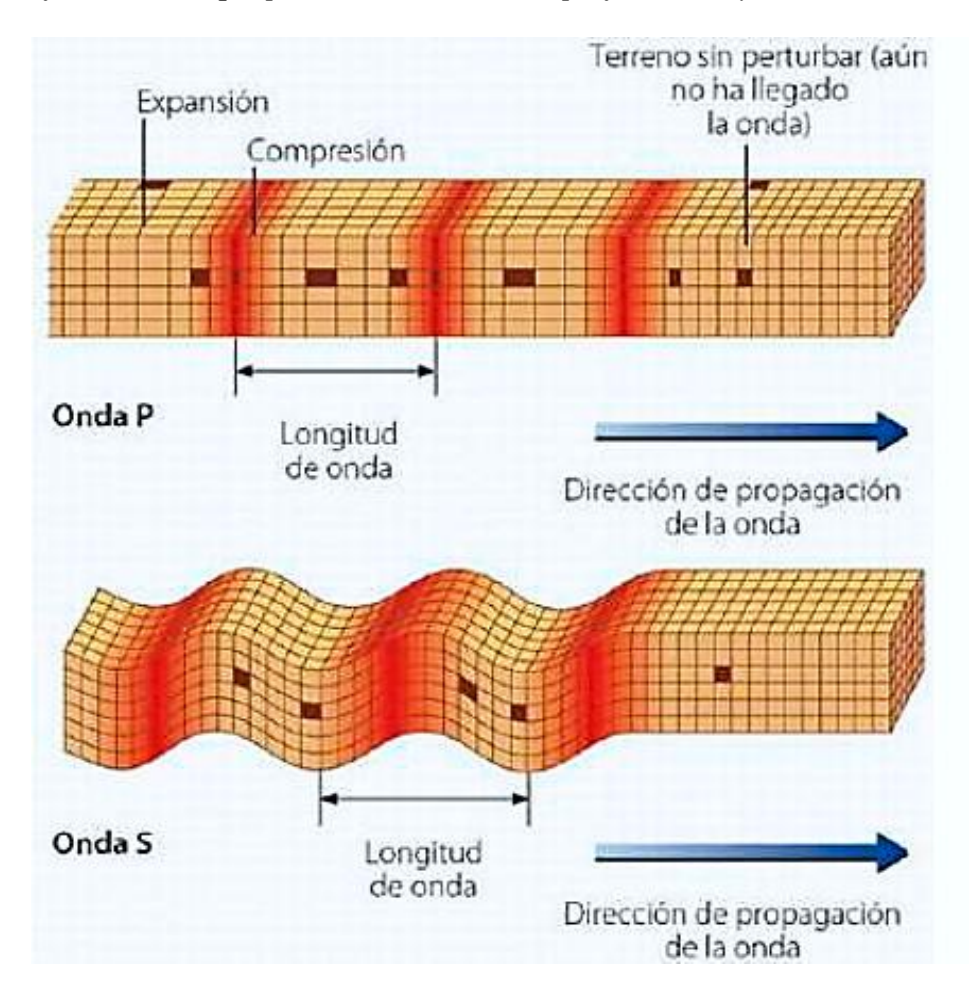
- Ondas primarias (P) o longitudinales

Las ondas sísmicas P más veloces, viajan a velocidades de 6 a 10 Km/s, estas son las primeras en ser registradas por los sismómetros debido a su rápida propagación, propagan a través de medios sólidos como fluidos.

- Ondas secundarias (S) o transversales.

Estas ondas sísmicas se desplazan a velocidades que oscilan entre 4 y 7 km/s, propagándose únicamente a través de medios sólidos, lo que impide su transmisión a través del núcleo externo de la Tierra. Este tipo de ondas son responsables de generar daños significativos en la superficie

Figura 2Deformaciones que provocan las de ondas profundas (P y S).



Fuente: Campoverde, 2017

➤ Ondas superficiales o largas

Este tipo se ondas se propagan en forma circular a partir del hipocentro, las cuales se clasifican en:

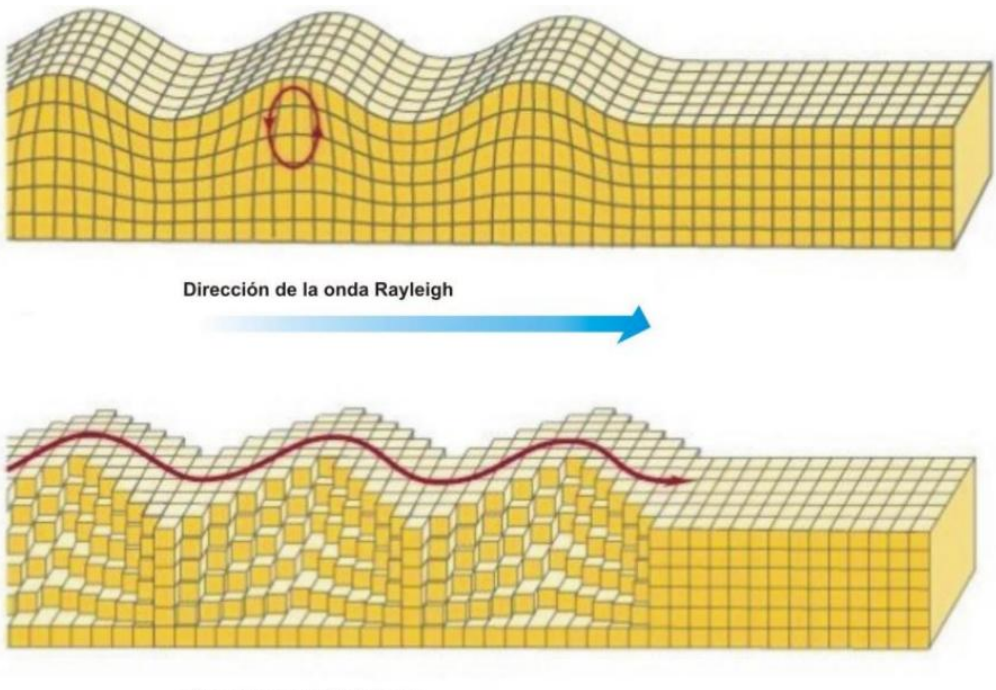
- Ondas Love (L).

Estas ondas se mueven a una velocidad de entre 2 y 6 km/s, desplazan horizontalmente sobre la superficie y perpendicularmente a la dirección en la que se propagan.

- Ondas Rayleigh (R).

Estas ondas de mueven con una velocidad entre 1 a 5 km/s, son las más lentas, pero a su vez son las más perceptibles para las personas. Se transmiten de forma semejante a las olas de mar.

Figura 3Propagación de Ondas superficiales.



Dirección de la onda Love

Fuente: Instituto Nacional de Prevención Sísmica - INPRES, 2022

2.2.1.1 Escalas de medición de sismos.

a) Magnitud - Escala de Richter.

Esta escala representa la energía sísmica liberada en cada movimiento sísmico y se fundamenta en el registro sismográfico. Se caracteriza por el aumento de manera exponencial o semilogarítmica. (Campoverde, 2017)

b) Intensidad - Escala de Mercalli Modificada.

Esta escala se fundamenta tanto en los daños observados en las edificaciones como en la percepción que tienen las personas durante un sismo. Sus niveles no guardan una relación directamente proporcional con la Escala de Richter; se expresan en números romanos y siguen una progresión proporcional, de manera que la intensidad VI equivale al doble de la intensidad III (Campoverde, 2017).

Tabla 1Escalas de medición de sismos: Mercalli Modificada y Richter.

Escala de Mercalli	Escala de Richter	
No hay daños	2.5 Solo registrado por los	
II. No hay danos	sismógrafos	
III. Solo daños psicológicos	2.5 Tambler centide non	
IV. Daños como: temor, miedo	3.5 Temblor sentido por	
V. Movimientos de Arboles.	mucha gente.	
VI. Pequeños daños, caída de objetos.	4.5 Todos corren fuera de	
VII. Presencia de rajaduras en estructuras de adobe y	construcciones	
estructuras mal construidas.	construcciones	
VIII. Construcciones sismorresistentes se dañan y otras caen.	6.0 Terremoto	
IX. Efectos de las Ondas S		
X. Construcciones destruidas y suelo muy agrietado.	7.0 Terremoto destructivo.	
VI Damumba da aggi ta da muentos y amietas muy amplias	8.0 Grandes terremotos.	
XI. Derrumbe de casi todo, puentes y grietas muy amplias	O	
XII. Destrucción Total	Mas.	

Fuente: Instituto Nacional de Prevención Sísmica - INPRES, 2022

2.2.2 Riego sísmico.

Existen diferentes conceptos del riesgo sísmico como:

De acuerdo con la OPS (2016), el riesgo sísmico se entiende como el grado de pérdida, daño o destrucción que puede anticiparse frente a un sismo determinado. Este concepto está directamente relacionado con la probabilidad de ocurrencia de consecuencias específicas, las cuales dependen del nivel de exposición y del valor del elemento en riesgo.

Asimismo, CENEPRED (2015) señala que el riesgo sísmico corresponde a la probabilidad de que un evento sísmico genere efectos adversos sobre las personas, los bienes materiales, los medios de subsistencia y el entorno, en función de su exposición, vulnerabilidad e intensidad del fenómeno

2.2.3 Niveles de riesgo sísmico

- Nivel de riesgo sísmico alto.

Se interpreta que la estructura sufriría daños importantes ante un sismo severo, de modo que existe una gran probabilidad que la estructura colapse dado que no existirá un óptimo comportamiento estructural (Palomino,2023).

- Nivel de riesgo sísmico medio.

Se deduce que la edificación presenta un comportamiento estructural aceptable y está cimentada sobre un suelo rígido o de tipo intermedio; sin embargo, los pórticos (columna–viga) y los muros podrían experimentar daños, mientras que los elementos no estructurales presentan riesgo de colapso parcial o total. (Palomino,2023).

- Nivel de riesgo sísmico bajo

Se infiere que la edificación presenta un comportamiento estructural adecuado y su estado de conservación se califica entre regular y bueno. Asimismo, se ubica sobre un suelo rígido con pendiente plana, por lo que las afectaciones se limitarían principalmente al vuelco parcial o total de elementos no estructurales. (Palomino,2023).

2.2.4 Vulnerabilidad sísmica:

La vulnerabilidad sísmica se refiere al nivel de afectación que pueden experimentar las edificaciones ante la ocurrencia de un sismo, la cual está determinada por sus características estructurales, la calidad de los materiales empleados y la técnica constructiva aplicada (Kuroiwa, 2019).

2.2.4.1 Tipos de vulnerabilidad

> Vulnerabilidad estructural.

La vulnerabilidad estructural se refiere al grado de susceptibilidad que presenta una edificación a sufrir daños en sus elementos resistentes durante un sismo, tales como cimentaciones, columnas, muros estructurales y de albañilería, vigas y losas, los cuales resultan esenciales para garantizar su estabilidad (OPS, 2015).

> Vulnerabilidad no estructural.

La vulnerabilidad no estructural alude a los elementos de una edificación que están conectados a las partes estructurales, como tabiquería, vanos, coberturas, puertas, cerramientos y cielos rasos, susceptibilidad de sufrir daños durante un movimiento sísmico. (OPS, 2015).

2.2.4.2 Metodologías de evaluación la vulnerabilidad sísmica

Actualmente, existe una amplia diversidad de métodos de análisis de vulnerabilidad que han sido desarrollados mediante la experiencia acumulada y el avance de modelos numéricos avanzados.

Según Cruz, (2021), menciona que los métodos de valoración de vulnerabilidad sísmica se agrupan en 2 grupos: métodos cualitativos y cuantitativos o analíticos.

Métodos cualitativos.

Este tipo de métodos es adecuado para evaluar una gran cantidad de estructuras, dado que es un análisis rápido, entre ellos tenemos:

- -Método Índice de vulnerabilidad ATC 21 (FEMA P-154). Este método, desarrollado inicialmente por la Agencia Federal para el Manejo de Emergencias en los Estados Unidos, ha sido incorporado en diversos países debido a su eficacia y sencillez en la aplicación, lo que posibilita llevar a cabo evaluaciones ágiles y de gran escala sobre la vulnerabilidad sísmica de infraestructuras críticas tales como hospitales, instituciones educativas y edificaciones.
- -Método índice de vulnerabilidad Pretini. El método de Benedetti y Petrini, desarrollado en 1982, consiste en un análisis visual que se basa en la evaluación experta de factores estructurales y no estructurales que contribuyen a los daños en edificios tras un evento sísmico. Esta metodología es aplicable tanto a sistemas estructurales de muros de albañilería y de concreto armado. La clasificación que utiliza es similar a la establecida posteriormente por el Applied Technology Council -ATC-13, 1985 y la Escala Macrosísmica europea EMS-98, 1998. El

método se ha implementado en edificaciones dañadas por sismos en diversos países de Europa, con resultados altamente confiables que fueron empleados como fuente de datos del organismo de protección civil (Gruppo Nazionale per la Difesa dei Terremoti, GNDT).

- Método índice de vulnerabilidad CERI. En 1992, Chang presentó un sistema preliminar de puntuación para el índice de vulnerabilidad sísmica, diseñado por el Centro de Investigación de Terremotos e Información (CERI) de la Universidad de Memphis y reconocido por FEMA como referencia para investigaciones posteriores. Este procedimiento se fundamenta en la valoración de once parámetros estructurales, de los cuales tres corresponden a la cimentación de la edificación y uno a la estabilidad del terreno o talud. La aplicación de los criterios puede realizarse mediante el juicio de un especialista o a través del cálculo basado en la metodología previamente establecida.
- Evaluación AIS grado de vulnerabilidad sísmica de viviendas. Este método, desarrollado por la Asociación Colombiana de Ingeniería Sísmica (AIS), se basa en un análisis visual enfocado en los factores específicos de la estructura, y su clasificación de vulnerabilidad se divide en tres niveles: alta, media y baja.

Métodos cuantitativos o analíticos.

El objetivo principal de estos métodos es determinar el comportamiento de la estructura, considerando las diferencias en los materiales que la componen. Estas metodologías calculan esfuerzos y deformaciones a partir de cálculos aproximados. Para su implementación, es necesario contar con información como los planos de la estructura, propiedades de los materiales, características del suelo, entre otros datos.

- -Método de Hirosawa. Avalado por el Ministerio de Construcción (Japón), esta metodología ofrece un enfoque para la evaluación de la vulnerabilidad sísmica tanto cualitativa como cuantitativamente. A diferencia de los métodos previamente descritos, clasifica la evaluación en tres niveles de importancia, donde el nivel de detalle se incrementa progresivamente en cada nivel superior. Este sistema se fundamenta en el análisis del desempeño de la estructura.
- -Método fundamentado en la ecuación Kuroiwa -2002. Este procedimiento permite cuantificar el nivel de riesgo sísmico en función de dos componentes principales: la vulnerabilidad sísmica, vinculada al comportamiento estructural, al estado de conservación de la edificación y a la estabilidad de los tabiques; y el peligro sísmico, asociado a factores como la zonificación, la topografía y la naturaleza del suelo. Finalmente, el riesgo obtenido se clasifica de manera cualitativa en categorías de bueno, regular o malo (Cruz, 2021).

2.2.5 Peligro sísmico.

Hernando & Ishizawa (2017), menciona que Peligro Sísmico se refiere a la probabilidad de que se produzca un evento sísmico de cierta magnitud, en un lugar particular con una aceleración igual o superior a un valor dado para un periodo de tiempo determinado.

Se entiende por peligro sísmico como la posibilidad de que ocurran movimientos sísmicos, con cierta intensidad, en un lugar y durante un período determinado. Esta información nos permite evaluar qué tan expuesta está una estructura ya construida frente a un sismo. Para ello, se consideran factores del entorno, sismicidad del sitio, tipo de suelo

y topografía, ya que estos parámetros pueden aumentar o disminuir los efectos del sismo sobre la edificación

2.3 Definición de términos básicos.

- ➤ Vulnerabilidad: grado de susceptibilidad que una estructura puede resultar afectada o deteriorada debido a la ocurrencia de un sismo. (Kuroiwa, 2019)
- ➤ Albañilería: la albañilería es un sistema constructivo formado por unidades resistentes (como ladrillos, bloques o piedras) unidas con mortero. Se utiliza para levantar muros estructurales o no estructurales, capaces de soportar cargas verticales y fuerzas horizontales (como sismos), dependiendo del diseño, la técnica constructiva y la calidad de los materiales (Abanto, 2017).
- ➤ Placas armadas: son elementos estructurales delgados de concreto reforzado con acero, diseñados para resistir principalmente fuerzas laterales, como las producidas por sismos, aportando rigidez y estabilidad a la edificación (Harmsen, 2017).
- ➤ Ensayo de esclerometría: prueba no destructiva que posibilita estimar la resistencia a la compresión del concreto endurecido mediante el uso de un esclerómetro (Romero, 2022).
- ➤ Escala de Richter: Escala de magnitud empleada para cuantificar la energía liberada y la amplitud de las ondas sísmicas. Su carácter logarítmico en base 10 implica que cada incremento corresponde a un desplazamiento diez veces mayor al precedente, mientras que la energía liberada se estima entre 30 y 32 veces superior por cada unidad adicional.
- ➤ Escala de Mercalli: Se basa en los daños generados por el evento sísmico. La intensidad varía en función de factores como la magnitud liberada, la proximidad al epicentro, la profundidad del foco, la densidad poblacional, las condiciones geológicas del área y las características constructivas de las edificaciones (Servicio Geológico Mexicano, 2017).

- ➤ Espectro sísmico. Representación gráfica que muestra el valor máximo de respuesta que presentaría un sistema de un solo grado de libertad, en función de su período natural y para un determinado nivel de amortiguamiento relativo, como resultado de un movimiento sísmico del terreno (Desena, 2016).
- ➤ Viga con columna: Corresponde al punto de conexión entre dos elementos estructurales, en el cual se concentran fuerzas y esfuerzos, permitiendo la transmisión de cargas de la edificación hacia la cimentación. (Gonzáles Olortegui, 2018).
- ➤ Columna: Elemento con una relación entre altura y menor dimensión lateral mayor que tres, usado principalmente para resistir carga axial de compresión (E. 060 Concreto Armado, 2020).
- ➤ Viga: Elemento estructural cuya función es resistir esfuerzos a flexión y cortante (E. 060 Concreto Armado, 2020).
- ➤ **Nudo rígido:** es una conexión entre dos o más elementos estructurales que impide la rotación y el desplazamiento relativos, manteniendo fijo el ángulo entre los miembros y permitiendo la transmisión tanto de fuerzas como de momentos flectores. (Chopra, 2012)
- ➤ Institución Educativa primaria N°82020: Es una estructura típica denominada "780 Post 97", Construida por el Infes en la sierra, posterior a la norma de diseño sismorresistente del año 1997 en el Perú.

CAPITULO III: MATERIALES Y MÉTODOS.

3.1 Ubicación del objeto de estudio.

3.1.1 Ubicación política de la institución educativa.

Tabla 2Ubicación política de la I.E. primaria "N°82020 Porcón Bajo"

Comunidad	Distrito	Provincia	Departamento
"Porcón Bajo"	Cajamarca	Cajamarca	Cajamarca

3.1.2 Ubicación geográfica de la institución educativa.

Figura 4Mapa de la I.E "N°82020 Porcón Bajo" (plano de ubicación UL)



Tabla 3Ubicación geográfica de la I.E. primaria "N°82020 Porcón Bajo"

Comunidad	Referencia	Coord	enadas (WGS	S-84)
"Porcón Bajo" Ruta 3N Cajamarca – Chota Km-24 -	Puta 3N Cajamaraa Chota Vm 24	Este	Norte	Cota
	767436.02	9215718.51	3179.00	

3.2 Período de investigación

El presente estudio se desarrolló durante los meses de febrero a diciembre del 2024.

3.3 Población de estudio.

La población está conformada por bloques de la institución de la institución educativa primaria "N°82020 Porcón Bajo

3.4 Muestra de estudio.

La muestra de estudio son los bloques A y B de la institución educativa primaria "N°82020 Porcón Bajo

3.5 Unidad de análisis

La unidad de análisis son los bloques A y B de la institución educativa primaria "N°82020 Porcón Bajo.

3.6 Unidad de observación.

La unidad de observación de la investigación es el nivel de riesgo sísmico en función del peligro y vulnerabilidad sísmica.

3.7 Tipo de investigación

La presente investigación corresponde a un estudio de tipo descriptivo-correlacional, cuyo propósito es identificar y analizar las características generales de los bloques mediante el

desarrollo de un diseño sísmico, el cual ha sido modelado utilizando el software Etabs 19.1, considerando las condiciones específicas del emplazamiento de dichos bloques.

3.8 Diseño de investigación

- Diseño no experimental

Dado que en la presente investigación no se manipularon variables; se determinó in situó diversos parámetros preliminares para poder realizar la evaluación del nivel de riesgo sísmico.

- Transversal

Dado que la toma de datos necesarios para describir, presentar y analizar la variable se tomó en un mismo momento.

- Descriptiva

Porqué los datos obtenidos presentan un escenario establecido por el investigador, donde se describió los fenómenos tal cual se presentan en forma natural y según los parámetros establecidos en la norma RNE-0.30.

3.9 Técnicas e instrumentos de recolección de datos.

3.9.1 Técnicas

- Observación directa: que nos está permitiendo determinar en estado actual de los bloques de la institución educativa y además el levantamiento arquitectónico para corroborar la dimensiones según el expediente técnico remitido por PRONIED.
- Análisis documental: Se solicitó al PRONIED el expediente técnico de la institución educativa.

3.9.2 Instrumentos

- Esclerómetro: Se utilizó para los ensayos no destructivos a los elementos estructurales como: viga, placa y columna.
- Laboratorio de suelos. Que permitirá determinar el tipo de suelo y capacidad admisible donde está emplazado la institución educativa.
- Cámara fotográfica.

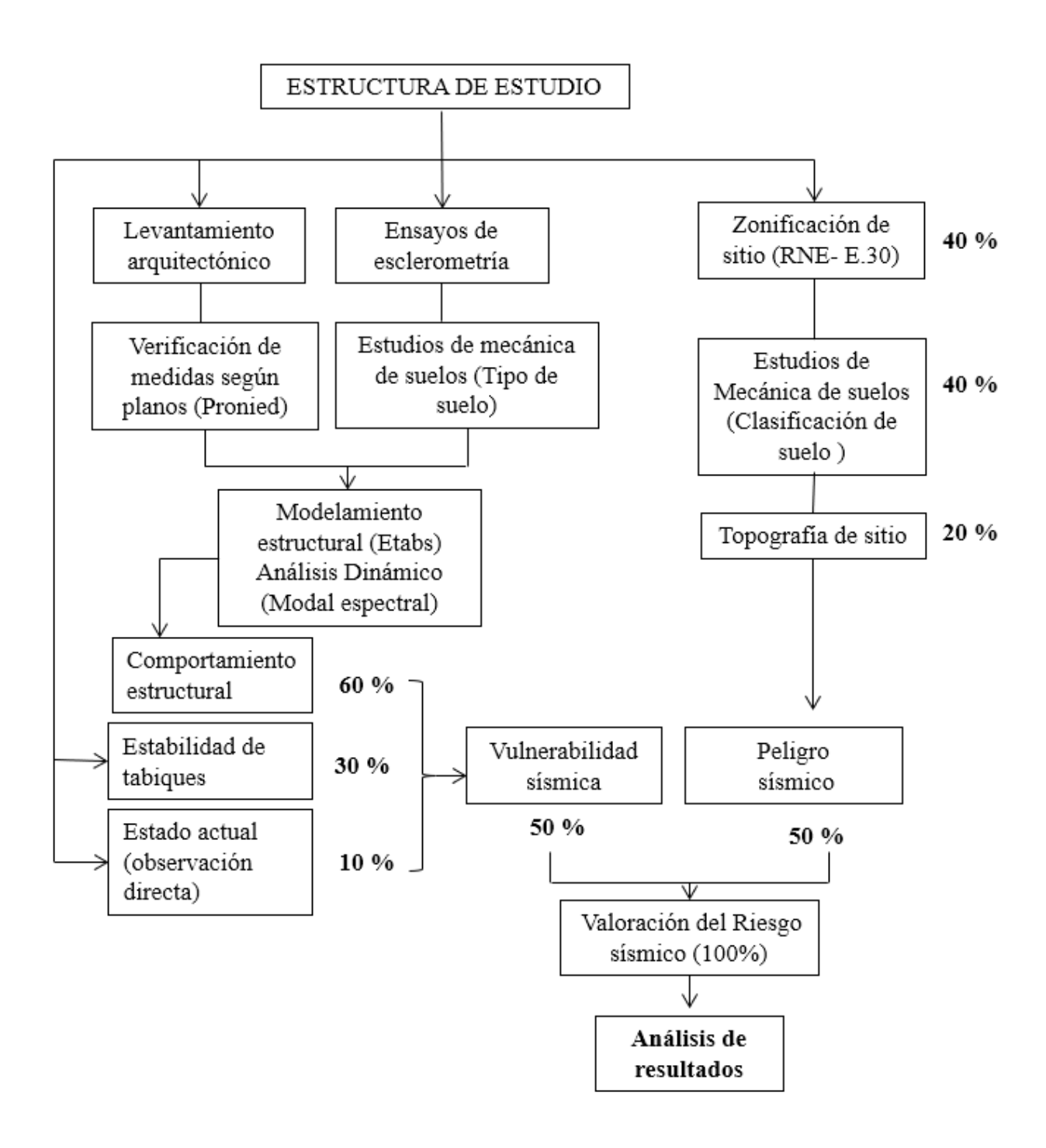
3.10 Técnicas para el procesamiento y análisis de la información

 El procesamiento de datos se llevado a cabo de forma computarizada en el software ETABS V.19, además también se utilizó programas como Autocad, Word y Excel.

3.11 Procedimiento del diseño metodológico de la investigación

Para este estudio se utilizó la ecuación de Kuroiwa (2002), metodología que permite cuantificar la vulnerabilidad, el peligro y el riesgo sísmico, con el fin de establecer una valoración del comportamiento de la estructura. A continuación, se expone el diagrama que resume el procedimiento metodológico aplicado.

Figura 5Diagrama de metodología



3.11.1 Valoración del nivel de riesgo sísmico.

Se determino según la ecuación de Kuroiwa (2002), el cual nos permite calcular de manera cuantitativa determinar el riesgo sísmico que está en función del peligro y vulnerabilidad.

Riesgo sísmico =
$$f(V, P)$$
 ... (1)

Riesgo sísmico =
$$50\%$$
 (Vulnerabilidad Sísmica) + 50 (Peligro Sísmico) ... (2)

Una vez determinado el valor del riesgo sísmico según la ecuación (2), el valor obtenido se contrasta con los valores de la tabla (4).

 Tabla 4

 Valoración del riesgo sísmico - cuantitativa

Niveles de riesgos sísmico						
Vulnerabilidad Peligro	3	2	1			
3	3	2.5	2			
2	2.5	2	1.5			
1	2	1.5	1			

Fuente: Kuroiwa, 2002

Tabla 5Valoración del riesgo sísmico - cualitativa

Niveles de riesgo sísmico						
Vulnerabilidad Peligro	Baja	Media	Alta			
Bajo	Bajo	Medio	Malo			
Medio	Medio	Medio	Alto			
Alto	Medio	Alto	Alto			

Fuente: Kuroiwa, 2002

- > Equivalencias cuantitativas y cualitativas en entre la tabla (4) y tabla (5).
 - Nivel de riesgo sísmico Bajo = 1-1.4
 - Nivel de riesgo sísmico medio: 1.5 -2

- Nivel de riesgo sismo alto: 2.1 -3.
- Los niveles de riesgo sísmico se interpretan de la siguiente manera
- Riesgo sísmico alto: daños graves en un sismo severo, con alta probabilidad de colapso.
- Riesgo sísmico medio: comportamiento aceptable, pero con posibles daños en pórticos, muros y colapso de algunos parapetos.
- Riesgo sísmico bajo: buen comportamiento estructural, con posibles daños solo en tabiques ante un sismo severo.

3.11.2 Valoración de la vulnerabilidad sísmica.

Para cuantificar la vulnerabilidad sísmica de una estructura se utilizará la tabla (6), tabla (7) y tabla (8).

Tabla 6 *Indicadores para analizar la vulnerabilidad sísmica*

Estructural				No estructura	1
Comportamiento Estado Actual Tabiquería y parape					etos
Estructural (60)	%)	(30%) (10%)			
Adecuado	1	Buena Calidad	1	Todos estables	1
Aceptable	2	Regular Calidad	2	Algunos estables	2
Inadecuado	2	Mala Calidad	3	Todos Inestables	3

Fuente: Kuroiwa, 2002

Estos valores numéricos se relanzarán en la ecuación (3), de este modo calificando la vulnerabilidad sísmica de manera numérica de los bloques en estudio.

Tabla 7Combinación de indicadores para la evaluación de la vulnerabilidad sísmica.

			Vulner	abilidad	i		Vuln	erabilid	ad No	
g			estru	ctural			e	structur	al	
Vulnerabilidad sísmica	Com	portam sísmico (60%)		Es	tado Ac (30%)	tual	Tabiquería y parapetos (10%)		Valor numérico	
Vulner	Adecuado	Aceptable	Inadecuado	Bueno	Regular	Mala	Estables	Algunos Estables	Inestables	Val
	X			X			X			1.0
	X			X						1.1
Baja	X			X	X				X	1.2
<u> </u>	X				X		X			1.3
-	X				X			X		1.4
	X				X				X	1.5
	X					X	X			1.6
	X					X		X		1.7
	X					X			X	1.8
Media		X		X			X			1.6
Me		X		X				X		1.7
		X		X					X	1.8
		X			X		X			1.9
		X			X			X		2.0
		X			X				X	2.1
		X				X	X			2.2
		X				X		X		2.3
		X				X			X	2.4
			X	X			X			2.2
			X	X				X		2.3
Baja			X	X					X	2.4
Ä			X		X		X			2.5
			X		X			X		2.6
			X		X				X	2.7
			X			X	X			2.8
			X			X		X		2.9
			X		anta: Ku	X			X	3.0

Fuente: Kuroiwa, 2002

El valor calculado se contrastará con la tabla (7), donde se muestra el valor cuantitativo de la vulnerabilidad sísmica, para luego asignarle una calificación cualitativa según la tabla (8).

Tabla 8Rango de evaluación cualitativa de la vulnerabilidad sísmica

Vulnerabilidad sísmica	Rango
Baja	1.0-1.4
Media	1.5-2.1
Alta	2.2-3.0

Fuente: Kuroiwa, 2002

3.11.2.1 Valoración de la vulnerabilidad estructural

A. Comportamiento sísmico.

Cualquier estructura puede ser diseñada utilizando los resultados de los análisis dinámicos mediante la combinación modal espectral E. 030 (2018).

Por esta razón los bloques "A" y "B" de la institución educativa Primaria "N°82020 Porcón Bajo", se realizó mediante el análisis modal espectral, según el procedimiento que se detalla a continuación.

a) Aceleración espectral.

El cálculo de la aceleración espectral se realizará empleando espectros inelásticos de pseudoaceleración, los cuales se determinan a partir de las siguientes ecuaciones.

$$Sa = \frac{Z * U * C * S}{R} * g \qquad ...(4)$$

Fuente: NTE. 030, 2018

Donde:

Sa: Pseudo - aceleración.

Z: Factor de zona

U: Factor de uso (según la estructura)

S: Factor de suelo (tipo de suelo)

C: Factor de amplificación sísmica

R: Factor de reducción sísmica

G: Aceleración de la gravedad

b) Factor de zona (Z).

Se entiende como la aceleración máxima en un suelo rígido (tipo S1), con una probabilidad del 10 % de ser excedida en un período de 50 años (NTE .030, 2018).

Tabla 9Factor de zona

ZONA	(Z)
4	0.45
3	0.35
2	0.25
1	0.1

Fuente: NTE. 030, 2018.

c) Categoría de las edificaciones y factor de uso (U)

La determinación de U se realiza en función de la categoría asignada a la estructura (NTE. 030, 2018).

Tabla 10Categoría de las edificaciones y factor de uso

Categoría		Factor U
A-Edificaciones esenciales	A1 A2	1.5
B-Edificaciones Importantes		1.3
C-Edificaciones Comunes		1.0
D-Edificaciones Temporales		Criterio del
		proyectista

Fuente: NTE.030, 2018

d) Parámetro de sitio (S, Tp, TL).

El factor **S** se define como un coeficiente de ajuste que relaciona la aceleración pico del suelo de un perfil determinado con respecto al perfil de referencia Tipo S1. De esta manera, el producto **Z·S** representa la aceleración máxima en superficie para cada zona sísmica y tipo de perfil establecido (Muñoz, 2020).

Tabla 11

Factor de suelo (S)

Zono			Suelo	
Zona	S_0	S ₁	S ₂	S_3
Z_4	0.80	1.00	1.05	1.10
Z_3	0.80	1.00	1.15	1.20
Z_2	0.80	1.00	1.20	1.40
Z_1	0.80	1.00	1.60	2.00

Fuente: NTE. 030, 2018

Tabla 12Periodos (T_P y T_L)

	Perfil de suelo				
	S_0	S ₁	S ₂	S_3	
$T_{P}(s)$	0.3	0.4	0.6	1.0	
T _L (s)	3.0	2.5	2.0	1.6	

Fuente: NTE. 030, 2018

e) Coeficiente Reducción de fuerza sísmica. (R0)

Tabla 13
Sistemas estructurales -coeficiente básico de reducción (R0)

Cinta management and 1	Coeficiente	Básico
Sistema estructural	de Reducción	$R_0(*)$
Acero:		
Pórticos Especiales Resistentes a Momentos (SMF)	8	
Pórticos intermedios Resistentes a momentos (IMF)	5	
Pórticos ordinarios Resistentes a Momentos (OMF)	4	
Pórticos especiales concéntricamente arriostrados (SCBF)	7	
Pórticos ordinarios concéntricamente arriostrados (OCBF)	4	
Pórticos excéntricamente arriostrados (EBF)	8	
Concreto Armado:		
Pórticos	8	
Dual	7	
De muros estructurales	6	
Muros de ductilidad limitada	4	
Albañilería Armada confinada	3	
Madera	7(**)	

Fuente: NTE. 030, 2018

Para calcular el coeficiente de reducción de fuerzas se hará uso de la ecuación (5)

$$R = Ro * Ia * Ip \qquad \dots (5)$$

Donde:

Ro: Coeficiente básico de reducción de fuerzas sísmicas

Ia: Irregularidad en altura

Ip: Irregularidad en planta

f) Factor de amplificación sísmica (C).

El factor de amplificación se define como la relación entre la aceleración máxima registrada en la estructura y la aceleración pico medida en su base (Muñoz, 2020).

$$T < T_P$$
 $C = 2.5$
$$T_P < T < T_L$$
 $C = 2.5 \frac{T_P}{T}$... (6)
$$T < T_L$$
 $C = 2.5 \frac{T_P T_P}{T}$

Fuente: NTE. 030, 2018

g) Derivas de entre piso.

Los desplazamientos de entrepiso se obtienen a partir de los desplazamientos estimados en condición inelástica, los cuales se calculan mediante la amplificación de los valores obtenidos en el análisis elástico lineal realizado con cargas reducidas (Muñoz, 2020).

Tabla 14 *Limites para la distorsión de entrepiso*

Material Predominante	$\binom{\Delta_i}{h_{ei}}$
Concreto Armado	0.007

Acero	0.010
Albañilería	0.005
Madera	0.010
Edificios de concreto armado con muros de ductilidad limitada	0.005

Fuente: NTE. 030, 2018

B. Evaluación del comportamiento estructural de vigas.

De acuerdo con la normativa E. 060 se proponen diversas combinaciones de cargas que dan lugar a una envolvente que abarca los valores máximos tanto positivos como negativos de las fuerzas internas resultantes (Momento último actuante - Mu). Estos valores deberán ser contrastados con los (momentos nominales resistentes Mn) de las vigas.

$$Mu = 1.4 M_{CM} + 1.7 M_{CV}$$

$$Mu = 1.25 (M_{CM} + M_{CV}) \pm M_{CS} \qquad ... (7)$$

$$Mu = 0.9 M_{CM} \pm M_{CS}$$

Donde:

M u: Momento Ultimo.

М см: Momento Actuante por carga muerta.

M_{CM}: Momento Actuante por carga viva.

M cs: Momento Actuante por carga de sismo.

a) Momento Nominal Resistente (Mn)

$$a = \frac{(A_S - A's).f_y}{0.85.f_C'.B_1} \dots (9)$$

Donde:

 f_c' : Resistencia a compresión.

 $f_{\boldsymbol{y}}$: Esfuerzo de fluencia del acero

As: Acero en Tracción.

A's: Acero en compresión.

b : Ancho de la sección.

a : Altura del bloque a compresión.

b) Verificación de Resistencia.

$$Mn \ge \frac{Mu}{0.9} \qquad \dots (10)$$

Donde:

M u: Momento Ultimo.

Mn: Momento ultimo Actuante

0.9. Mn: Momento Ultimo Resistente.

Finalmente, se establecen las siguientes conclusiones en relación a lo analizado:

- Si $0.9 Mn \ge Mu$, La sección de la viga es adecuada.
- Si $0.9 \, Mn < Mu$, La sección de la viga es inadecuada.

C. Evaluación del comportamiento estructural de Columnas.

El dimensionamiento del refuerzo de acero en columnas de una edificación se efectúa conforme a las disposiciones del Reglamento Nacional de Edificaciones (RNE). Dicho cálculo se

desarrolla mediante el uso del software **ETABS**, el cual permite analizar elementos estructurales sometidos a flexocompresión y flexión biaxial.

Para la determinación del área de acero requerida en columnas, se recurre a la ecuación de resistencia de diseño establecida en la Norma E.060 (2018), aplicable a elementos en compresión con carga excéntrica

$$Ast = \frac{\cancel{0}Pn}{0.8\cancel{0}} - 0.85 f'c * Ag fy - 0.85 f'c$$
 ... (11)

Donde:

ØPn: Resistencia de diseño.

f'c: Resistencia a la compresión del concreto.

fy: Resistencia a la fluencia del acero.

Ag: Área total de la sección transversal.

Ast: Área total de refuerzo en una sección.

Ø: Factor de reducción de resistencia.

Tabla 15Relación de acero existente y acero calculado

Acero existente ≥ acero calculado	Sección adecuada
Acero existente< acero calculado	Sección inadecuada

Fuente: Palomino, 2019

Análisis del comportamiento estructural de las estructuras

Para determinar el tipo de comportamiento estructural se determinó de según la tabla (16)

 Tabla 16

 Tipos de comportamiento estructural.

TIPO	DESCRIPCIÓN
Comportamiento	Cuando las vigas y columnas existentes soportan suficientemente las
adecuado	cargas a las que están sometidas, y los desplazamientos relativos de
	entrepiso son <7/1000
	Cuando las vigas y columnas existentes soportan justamente las
Comportamiento	cargas a las que están sometidas, donde las vigas soportan cargas
aceptable	muertas y vivas, pero ante cargas sísmicas están propensas a fallos,
	mientras que los desplazamientos relativos de entrepiso son <7/1000
Comportamiento	Cuando las vigas y columnas existentes no soportan suficientemente
inadecuado	las cargas a las que están sometidas y los desplazamientos relativos
	de entrepiso son >7/1000

Fuente: Palomino Terán, 2019

3.11.2.2 Valoración del estado actual.

Para la valoración del del actual de los bloques "A" y "B" de la institución educativa se empleó la técnica de observación, siguiendo los siguientes criterios

- **Edificación en buen estado:** la estructura conserva adecuadas condiciones físicas, de calidad y mantenimiento.
- **Edificación en estado regular:** la estructura evidencia un nivel de conservación intermedio, presentando deterioros progresivos en su calidad y estado físico.
- Edificación en mal estado: la estructura presenta un avanzado deterioro, con materiales en condiciones ruinosas que comprometen su calidad y conservación.

3.11.2.3 Valoración de la vulnerabilidad no estructural.

a) Estabilidad de tabiques.

La estabilidad de los muros (tabiques) se evaluará mediante la comparación entre el momento generado por las cargas perpendiculares al muro y el momento resistente producido por las cargas paralelas al mismo (Norma Técnica E.070, 2020).

> Momento Resistente

Para determinar el momento Resistente, se realizó según la ecuación (12), planteado por (Kuroiwa, 2002).

$$M_r = 1.703 t^2$$
 ... (12)

Donde:

Mr: Momento resistente a tracción por flexión (Tn-m/m).

t: Espesor del muro (m).

➤ Momento actuante

Para el cálculo del momento actuante, se utilizó la siguiente ecuación (13) según la norma (E.070, 2020).

$$M_S = mw \ a^2 \qquad \dots (13)$$

Donde:

Ms: Momento flector distribuido por unidad de longitud producida por una carga sísmica W (Kgf-m/m)

m: coeficiente de momento (adimensional.) Tabla (18)

w: Magnitud de la carga de sismo por metro cuadrado de muro (kg/m2).

a: dimensión crítica del paño de albañilería.

- La magnitud de carga (w, en Kg/ m2) en función de un metro cuadrado se determinó mediante la ecuación (14).

$$w = \frac{F}{L \cdot h} \qquad \dots (14)$$

Donde:

F = Fuerza de diseño del tabique

L = Longitud del tabique

h = Altura del tabique

✓ Fuerza sísmica Horizontal (F): elementos estructurales ubicados en segundo a
 más pisos se utilizó las siguientes ecuaciones

$$F = \frac{Fi}{Pi}.C1.Pe \qquad ...(15)$$

Donde:

F = Fuerza sísmica horizontal de diseño

Fi=Fuerza sísmica en el nivel "i"

C1= Coeficiente sismico

Pe= Peso del tabique

• Cálculo de la fuerza de diseño nivel (Fi)

$$Fi = \alpha_i.V \qquad \dots (16)$$

$$\alpha_i = \frac{Pi (hi)^K}{\sum_{j=1}^n Pj (hj)^K} \dots (17)$$

Donde:

αi =Factor de distribución de fuerzas sísmica horizontal para cada nivel

V= Cortante sísmico en la base de la estructura

K=Exponente relacionado con el periodo vibración de la estructura en cada dirección.

$$T \le 0.5 \to K = 1$$
 ... (18)

$$T > 0.5 \rightarrow K = 0.75 + 0.5T \le 2$$
 ... (19)

✓ Fuerza Horizontal (F): primer piso o sótanos se utilizó la ecuación (20).

(NTE. 030, 2018).

$$F = 0.5. Z. U. S. Pe$$
 ... (20)

Donde:

Z =Factor de Zona

U= Factor de uso

S=Factor de suelo.

Pe= Peso del tabique

Tabla 17

Valores de "C1"

Elementos que al fallar puedan precipitarse fuera de la edificación y cuya	3.0
falla entrañe peligro para personas u otras estructuras.	
Muros y tabiques dentro de una edificación.	2.0
Tanques sobre la azotea, casa de máquinas, pérgolas, parapetos en la azotea.	3.0
Equipos rígidos conectados rígidamente al piso.	1.5

Fuente: NTE. 030, 2018.

Tabla 18

Coeficiente de momentos "m" y dimensión crítica "a".

-											_
Caso 1. Muro con cuatro bordes arriostrados											
a = Menor Dimensión											
b/a	1.0	1.2	1.4	1.6	1.8	3	2.0		3.0	∞	_
m=	0.0479	0.0627	0.0755	0.086	2 0.0	0948	0.10)17	0.118	0.125	
Caso 2	. Muro coi	n tres bord	les arriostr	rados							
a = Lon	ngitud del	borde libr	e								
b/a	0.5	0.6	0.7	0.8	0.9	1.0		1.5	2.0	∞	
m	0.060	0.074	0.087	0.097	0.106	0.1	12	0.128	0.132	0.133	
Caso 3	. Muro arr	iostrado s	olo en sus	bordes ho	orizonta	les					
a = Alt	a = Altura del muro										
m = 0.125											
Caso 4. Muro en voladizo											
a = Altura del muro											
m=0,	m = 0.5										

Fuente: NTE.070, 2020

Finalmente se comparará las ecuaciones (12) y (13), y en función a ello se determinó si el muro es:

- Si: Ms < Mr (tabique estable)
- Si: Ms = Mr (tabique parcialmente estable)
- Si: Ms > Mr (tabique inestable)

3.11.3 Valoración del peligro sísmico.

La valoración del peligro sísmico se determinará según la ecuación (21).

Para la determinación del peligro sísmico se tuvo en cuenta lo siguiente: la sismicidad, tipo de suelo y la topografía de la zona de estudio, y se obtuvo la valoración según la tabla (19).

- La sismicidad se obtendrá del RNE- E.30.
- El tipo de suelo se determinó según el estudio de mecánica de suelos realizado.
- La topografía, teniendo en cuenta la pendiente de la zona de estudio.

Tabla 19valores de los indicadores del peligro sísmico

Sismicidad (4	40%)	Suelo (40%) Topografía (20%		0%)	
Baja	1	Suelo muy rígido	1	Plana	1
Media	2	Suelo intermedio	2	Media	2
Alta	3	Suelo blando	3	Pronunciada	3

Fuente: Kuroiwa, 2002

Los valores asignados a cada indicador se remplazarán en la ecuación (21), y este valor numérico se le asigna una calificación cualitativa según los rangos de la tabla (19). Asignándole una valoración de alto, medio o bajo, según sea el caso.

Tabla 20Rangos para la valoración cualitativa del peligro sísmico

Sismicidad	Peligro sísmico	Rango		
	Bajo	1.80		
Alta	Medio	2.0 - 2.4		
	Alto	2.6 – 3.0		
	Bajo	1.4 – 1.6		
Media	Medio	1.8 – 2.4		
	Alto	2.6		
	Baja	1.0 – 1.6		
Baja	Medio	1.8 – 2.0		
	Alto	2.20		

Fuente: Kuroiwa, 2002

CAPITULO IV: ANÁLISIS Y DISCUSIÓN DE RESULTADOS.

4.1 Presentación de resultados

A. Características generales de los bloques típicos.

Los bloques evaluados de la institución educativa primaria N°82020 Porcón Bajo, cuentan con un sistema estructural de albañilería confinada en la dirección transversal y placas en la dirección longitudinal, teniendo las vigas principales en la dirección longitudinal, que cuya construcción se llevó a cabo en el año 1999, que constituye uno de las instituciones típicas construidas por el "INFES" post norma de diseño sismorresistente de 1997.

La infraestructura está Conformado por los ambientes según las tablas (21) y (22).

Tabla 21

Ambientes que lo conforman el bloque "A".

Bloque "A"		
Descripción	Áreas	
Segundo Nivel		
Aula de Computo	25.00 m2	
Pasadizo	33.00 m2	
Aula N°01	25.00 m2	
Aula N°02	25.00 m2	
Primer Nivel		
Aula N°03	25.00 m2	
Aula N°04	25.00 m2	
Aula N°05	25.00 m2	
		_

Tabla 22

Ambientes que lo conforman el bloque "B"

Áreas
23.80 m2
23.80 m2
23.80 m2
23.80 m2
23.80 m2
23.80 m2

B. Materiales.

Las características fueron obtenidas a partir de los planos proporcionados por el PRONIED, así como de las especificaciones técnicas y de la verificación in situ. Adicionalmente, se efectuaron ensayos de esclerometría con el fin de determinar la resistencia a compresión del concreto endurecido, cuyos resultados fueron procesados conforme a la norma ASTM C850

Resultados de los ensayos de esclerometría se muestra en la tabla (23).

Tabla 23

Resumen esclerometría bloque "A" y bloque "B".

Bloque	Punto	Elemento	piso	f 'c (Kg/cm2)	Promedio f 'c (Kg/cm2)	Promedio f 'c (Kg/cm2)
		Columnas/Placa				
•	P01	C1(C-1)	1	207.41		
Dlogue "A"	P02	C2(PL-01)	1	232.01	220.26	
Bloque "A" (Module I)	P05	C3(PL-01)	2	251.35	- 230.26	220
(Modulo I)		Vigas			<u> </u>	
	P10	V1	1	217.11	200.45	
	P07	V2	2	201.78	_ 209.45	
		Columnas/Placa				
	P03	C1(PL-01)	1	213.03		
	P04	C2 (PL-01)	1	219.71	210.54	
Bloque "B" (Modulo II)	P06	C3 (C-1)	2	222.87	_ 218.54	
		Vigas			_	225
	P11	V1	1	270.68		
	P08	V2	1	193.34	232.01	
	P09	V3	2	194.75	_	

Módulo de elasticidad.

$$E = 15000\sqrt{f'c} \qquad \left(\frac{Kg}{cm2}\right)$$

Peso específico

$$\gamma c = 2400 \qquad \left(\frac{Kg}{m3}\right)$$

> Acero propiedades.

Esfuerzo de fluencia fy = 4200 kg/cm2

Peso específico Y=7850 kg/cm2

Módulo de elasticidad E=2x10^7 Tn/m2

C. Cargas

Se obtuvieron las cargas según la NTP E.20 "cargas"

D. Modelo estructural

El modelo idealizado de la estructura en ETABS V19 se elaboró a partir de la información

contenida en los planos de la edificación, las dimensiones verificadas en campo, el metrado de

cargas y los resultados obtenidos del ensayo de esclerometría. Conforme a la categoría A definida

en la Norma E.030, el peso estructural de estas edificaciones se calcula considerando la suma de

la carga permanente y la carga total, asumiéndose empotramiento en la base

$$P = PP + CM + 0.5 CV + 0.25 CVT$$

P = Peso de la estructura

PP = Peso propio de la estructura

CM = Carga Muerta

CV = Carga Viva

CVT = Carga viva de techo.

4.1.1 vulnerabilidad estructural de los bloques

A. Derivas de entrepiso – dirección X y Y.

Se muestran a continuación los resultados del modelado de la estructura, confirmando que las derivas de entrepiso se encuentran por debajo del límite de 0.007 y de 0.005 para la albañilería. Tablas (24), (25), (26) y (27).

Tabla 24Derivas bloque "A" – Dirección X-X

		Δ	Duif	Drif	Drif	
N° Pisos	Hi (m)	elástica	Drif	Inelástica	inelástica E-	Decisión
	"x" (m)	"x" (m)	Elástica "x" "x"o/oo)	0.30 (o/oo)		
3 cumbrera	1.28	0.003065	0.000013	0.06	7.00	Cumple
2 Story	3.05	0.003055	0.00054	2.43	7.00	Cumple
1 Story	3.75	0.001408	0.00038	1.69	7.00	Cumple

Tabla 25Derivas bloque "A" – dirección Y-Y

N° Pisos	Hi (m)	Δ elástica "y" (m)	Drif Elástica "y"	Drif Inelástica "y" (o/oo)	Drif inelástica E- 0.30 (o/oo)	Decisión
3 Cumbrera	1.28	0.001969	0.000086	0.193	5.00	Cumple
2 Story	3.05	0.002036	0.00030	0.682	5.00	Cumple
1 Story	3.75	0.001112	0.00030	0.667	5.00	Cumple

Tabla 26Derivas bloque "B" – dirección X-X

		Δ elastica	Drif Elastica	Drif	Drif	
N° Pisos	Hi (m)	"x" (m)	"x"	Inelastica	inelastica E-	Decision
		X (III)	A	"x"o/oo)	0.30 (o/oo)	
3 Cumbrera	1.28	0.001477	0.000001	0.01	7.00	Cumple
2 Story	3.05	0.001476	0.00027	1.20	7.00	Cumple
1 Story	3.75	0.000661	0.00018	0.79	7.00	Cumple

Tabla 27Derivas bloque "B" – dirección Y-Y.

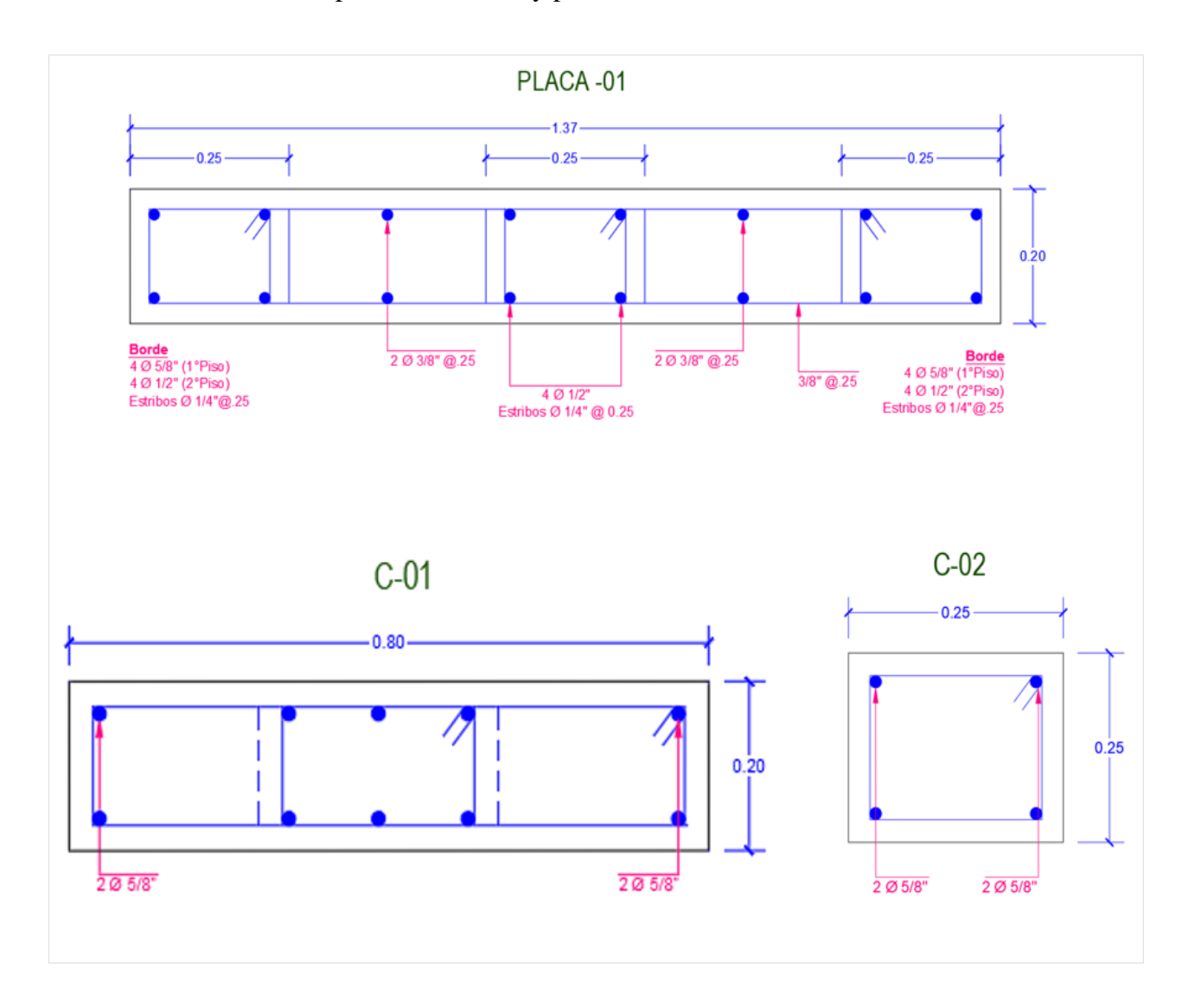
Pisos	Hi (m)	Δ elastica	Drif Elastica "y"	Drif Inelastica "y" (o/oo)	Drif inelastica E- 0.30 (o/oo)	Decision
3 Cumbrera	1.28	0.001627	0.000054	0.121	3.00	Cumple
2 Story	3.05	0.001669	0.00024	0.546	3.00	Cumple
1 Story	3.75	0.000929	0.00025	0.557	3.00	Cumple

B. comportamiento de columnas y placas.

Para evaluar el comportamiento de las columnas y placas, se consideró el acero requerido por la sección (acero necesario) y se lo contrastó con el acero existente según el expediente técnico, tomando como referencia uno de los ejes principales y el elemento de mayor incidencia en dicho eje (mayor área tributaria). El cálculo del acero necesario se efectuó mediante el programa ETABS v19.01. Posteriormente, se comparó el acero existente en columnas y placas con el acero requerido

bajo dos condiciones: con sismo y sin sismo, expresado en cm². Los resultados de dichas comparaciones se presentan en las tablas correspondientes:(28) y (29).

Figura 6Secciones transversales típicas – columnas y placas



Fuente: Expediente técnico

Tabla 28

Acero existente y acero necesario bloque "A"

	C-	-01	C-	-02	Pl-01- E	JE "3-C"
	1er	2do	1er	2do	1er	2do
	Piso	Piso	Piso	Piso	Piso	Piso
Acero existente	15.7	12.22	7.96	7.96	23.92	18.32
Acero Necesario - Con Sismo	16.30	16.00	6.25	6.25	13.76	6.86
Acero Necesario - Sin Sismo	16.30	16.00	6.25	6.25	6.86	6.86

Tabla 29

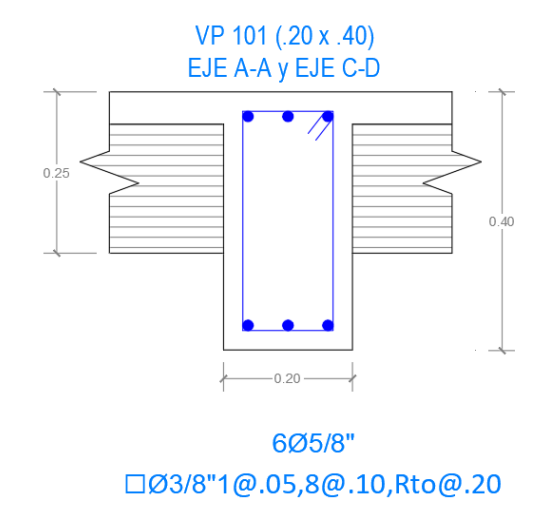
Acero existente y acero necesario bloque "B"

	C-	01	C-	-02	Pl-01- E	JE "3-C"
	1er	2do	1er	2do	1er	2do
	Piso	Piso	Piso	Piso	Piso	Piso
Acero existente	15.7	12.22	7.96	7.96	23.92	18.32
Acero Necesario - Con Sismo	16.10	16.10	6.25	6.25	13.53	6.85
Acero Necesario - Sin Sismo	16.00	16.10	6.25	6.25	6.85	6.85

C. Comportamiento de vigas

Para la evaluación del comportamiento de las vigas, se determinaron los momentos actuantes y resistentes de cada viga de los ejes principales. Los resistentes, se calcularon con la fórmula (8) y los momentos actuantes se hallaron del modelo estructural realizado en el programa ETABS V19.1. A continuación, se muestran los resultados obtenidos de las vigas que conformar los ejes principales el eje A-A y eje C-C, de los bloques "A" y "B".

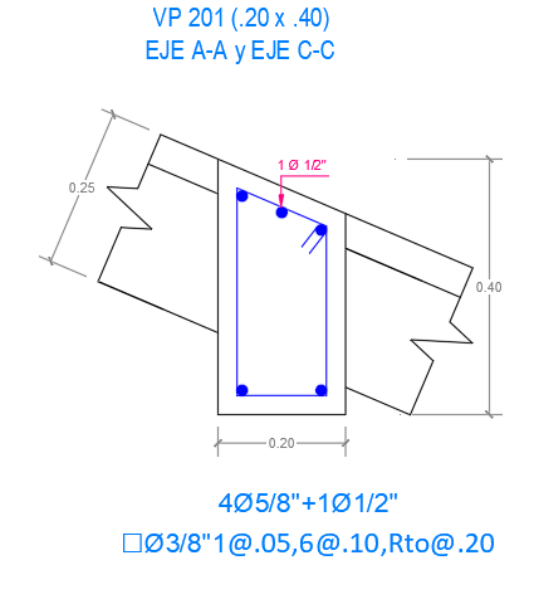
Figura 7
Secciones típicas de las vigas principales primer piso- bloques "A y B"



Fuente: Expediente técnico

Figura 8

Sección transversal de las V.P. segundo piso- bloques "A y B"



Fuente: Expediente técnico

Los resultados del análisis se muestran en las siguientes tablas: (30), (31), (32), (33), (34)

y (35)

Tabla 30Momento resistente y actuante – bloque "A"-eje A-A (primer piso)

	Ble	oque '	'A":]	Prime	er pis	o: V	IGA	VP 1	01- ((0.20 x)	0.40)	- eje	A-A					
N	MOMENTOS	A-A	B-B	C-C	D-D	Е-Е	F-F	G-G	Н-Н	I-I J-J	K-K	L-L	M-M	N-N	K-K	O-O	P-P	Q-Q
										Tn-m								
Momento	Sección	6.2	6.2	6.2	6.2	6.2	6.2	6.2	6.2	6.2 6.2	6.2	6.2	6.2	6.2	6.2	6.2	6.2	6.2
Resistente	(20x40) cm																	
(Mn)																		
Momento	Con Sismo	3.8	1.3	3.5	3.5	1.3	3.5	3.5	2.7	3.5 3.5	1.1	3.5	3.5	1.2	3.5	3.6	1.4	3.6
Actuante	(Envolvente)																	
(Mu)	Sin Sismo	1.1	1.4	1.1	0.7	1.3	0.7	0.6	1.2	0.6 0.6	1.2	0.6	0.6	1.2	0.6	1.0	1.2	1.0

Tabla 31

Momento resistente y actuante – bloque "A"-eje C-C (primer piso)

	Bl	oque	"A":	Prim	er pis	so: V	'IGA	VP	101-	(0.20 x	0.40)	- eje	C-C					
		A-A	B-B	C-C	D-D	Е-Е	F-F	G-G	Н-Н	I-I J-J	K-K	L-L	M-M	N-N	K-K	O-O	P-P	Q-Q
MOM	IENTOS									Tn-m								
Momento Resistente (Mn)	Sección (20x40) cm	6.2	6.2	6.2	6.2	6.2	6.2	6.2	6.2	6.2 6.2	6.2	6.2	6.2	6.2	6.2	6.2	6.2	6.2
Momento Actuante	Con Sismo (Envolvente)	3.6	0.7	4.3	4.0	2.5	4.0	4.0	2.5	4.0 3.9	2.4	3.9	4.1	2.4	4.1	4.4	2.4	3.4
(Mu)	Sin Sismo	1.6	2.9	1.6	1.2	2.5	1.2	1.2	2.5	1.2 1.1	2.4	1.2	1.3	2.4	1.3	2.4	2.9	1.5

Tabla 32Momento resistente y actuante – bloque "a"- eje A-A y eje C-C (segundo piso)

	BLOQUE "A	A": SI	EGU	NDO	PISO	D: V	[GA	VP 2	01-(0.20 x 0	0.40)-	eje 1	A-A -	eje C	-C			
		A-A	В-В	C-C	D-D	Е-Е	F-F	G-G	Н-Н	I-I J-J	K-K	L-L	M-M	N-N	K-K	O-O	P-P	Q-Q
MOM	IENTOS									Tn-m								
Momento Resistente (Mn)	Sección (20x40) cm	5.5	5.5	5.5	5.5	5.5	5.5	5.5	5.5	5.5 5.5	5.5	5.5	5.5	5.5	5.5	5.5	5.5	5.5
Momento Actuante	Con Sismo (Envolvente)	2.8	0.4	2.8	2.5	0.1	2.6	2.6	0.1	2.5 2.6	0.2	2.6	2.6	0.2	2.6	2.4	0.5	0.4
(Mu)	Sin Sismo	0.2	0.1	0.2	0.2	0.1	0.2	0.2	0.1	0.2 0.3	0.5	0.2	0.2	0.1	0.3	0.2	0.1	0.2

Tabla 33Momento resistente y actuante – bloque "B"-eje A-A (primer piso)

	BLOQUE "B": PRIMER PISO: VIGA VP 101- (0.20 x 0.40)- eje A-A A-A B-B C-C D-D E-E F-F G-G H-H I-I J-J K-K L-L M-M N-N K-K O-O P-P Q-Q																	
		A-A	B-B	C-C	D-D	Е-Е	F-F	G-G	Н-Н	I-I J-J	K-K	L-L	M-M	N-N	K-K	O-O	P-P	Q-Q
MOMENTOS Tn-m																		
Momento Resistente (Mn)	Sección (20x40) cm	6.2	6.2	6.2	6.2	6.2	6.2	6.2	6.2	6.2 6.2	6.2	6.2	6.2	6.2	6.2	6.2	6.2	6.2
Momento Actuante	Con Sismo (Envolvente)	2.5	0.7	3.7	4.7	0.5	4.7	4.7	0.6	4.7 4.6	0.8	4.6	4.7	0.6	4.7	3.4	0.7	1.4
(Mu)	Sin Sismo	0.6	0.7	1.2	0.7	0.5	0.7	0.8	0.6	0.8 0.7	0.5	0.7	0.8	0.5	0.7	1.4	0.7	0.3

Tabla 34

Momento resistente y actuante - bloque "B"-eje C-C (primer piso)

	BLO	QUE '	'B": l	PRIM	IER I	PISC	: VI	GA V	/P 10	0.20) x 0.	40)-	eje C-	·C				
•		A-A	B-B	C-C	D-D	Е-Е	F-F	G-G	Н-Н	I-I J-J	K-K	L-L	M-M	N-N	K-K	О-О	P-P	Q-Q
MOM	IENTOS									Tn-m								
Momento Resistente (Mn)	Sección (20x40) cm	6.2	6.2	6.2	6.2	6.2	6.2	6.2	6.2	6.2 6.2	6.2	6.2	6.2	6.2	6.2	6.2	6.2	6.2
Momento Actuante	Con Sismo (Envolvente)	2.1	1.7	4.8	5.5	1.2	5.5	5.5	1.3	5.5 5.5	1.4	5.5	5.5	1.3	5.3	4.8	1.5	2.0
(Mu)	Sin Sismo	0.7	1.5	3.0	1.4	1.2	1.3	1.2	1.2	1.4 1.4	1.1	1.4	1.3	1.1	1.3	2.9	0.5	0.7

Tabla 35

Momento resistente y actuante - bloque "B"- eje A-A y eje C-C (segundo piso)

	BLOQUE	ייםיי ד	· CE	ZI INI	DO D	ISO.	. 1/10	2 A 37	D 20	1 (0	20	v 0	10) (oio A	Λ οί	o C (7		
														~					
A-A B-B C-C D-D E-E F-F G-G H-H I-I J-J K-K L-L M-M N-N K-K O-O P-P (Q-Q					
MOMI	ENTOS									T	n-m	l							
Momento Resistente (Mn)	Sección (20x40) cm	5.5	5.5	5.5	5.5	5.5	5.5	5.5	5.5	5.5	5.5	5.5	5.5	5.5	5.5	5.5	5.5	5.5	5.5
Momento Actuante	Con Sismo (Envolvente)	1.8	0.3	2.0	3.0	0.1	2.9	3.1	0.2	3.0 2	2.9	0.2	2.8	3.1	0.2	3.1	1.7	0.3	1.4
(Mu)	Sin Sismo	0.2	0.1	0.1	0.2	0.1	0.2	0.1	0.1	0.2	0.3	0.1	0.2	0.2	0.1	0.1	0.1	0.1	0.2

4.1.2 Estado actual de los bloques.

Se realizo la verificación del estado actual de los bloques "A" y "B" de la institución educativa en estudio, se ha observado:

Figura 9

Veredas y placas: presencia de humedad - Bloque "A"



Figura 10

Cerco perimétrico: (a) y (b) cimentación expuesta a la intemperie.





Figura 11

Muros y losas: (a) humedades y (b) filtraciones – bloque "A" y "B"

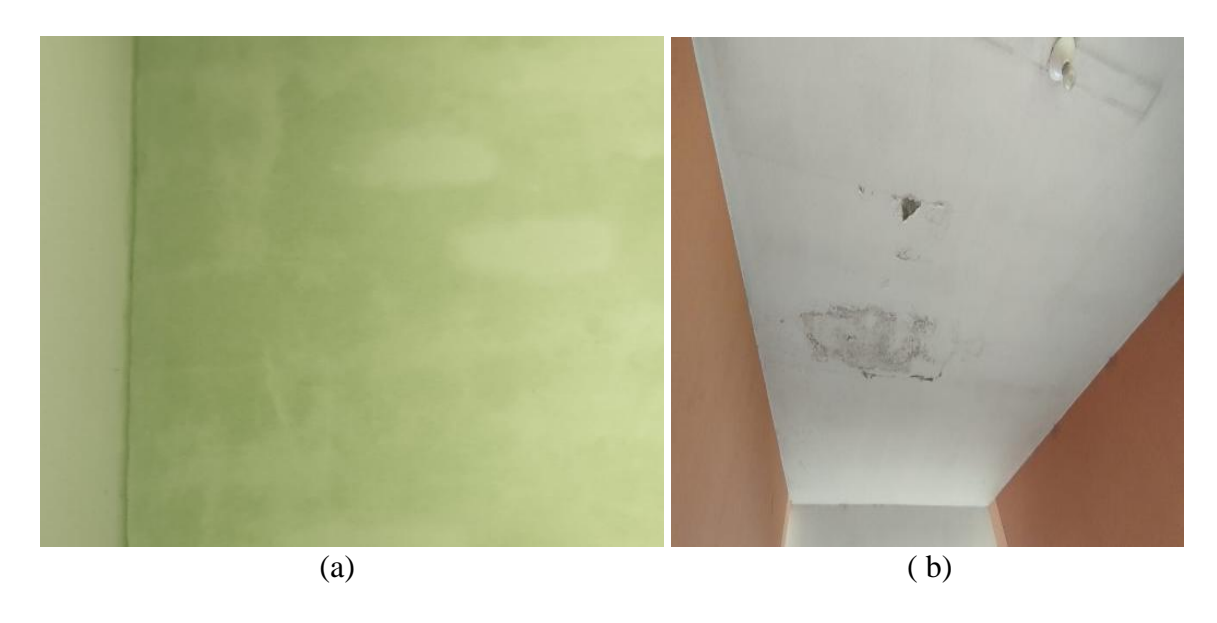


Figura 12

Veredas: grietas (a) y (b)- bloque "A" y "B"

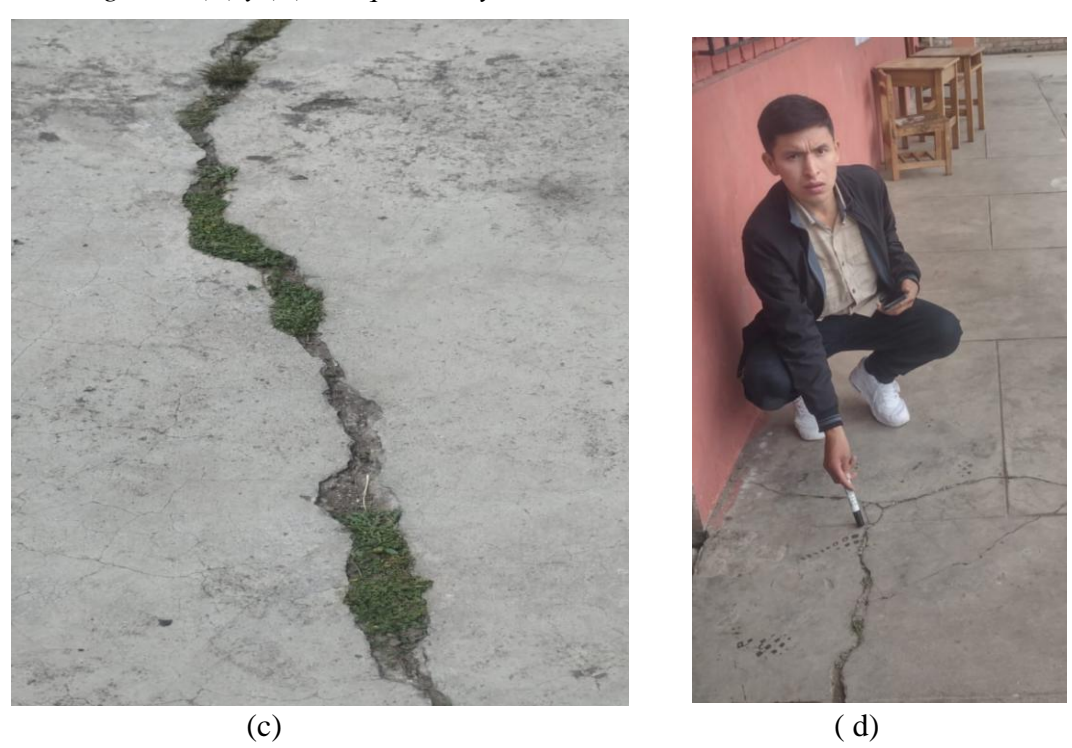


Figura 13

Cerco perimétrico: deslizamiento de muro de contención por empuje activo

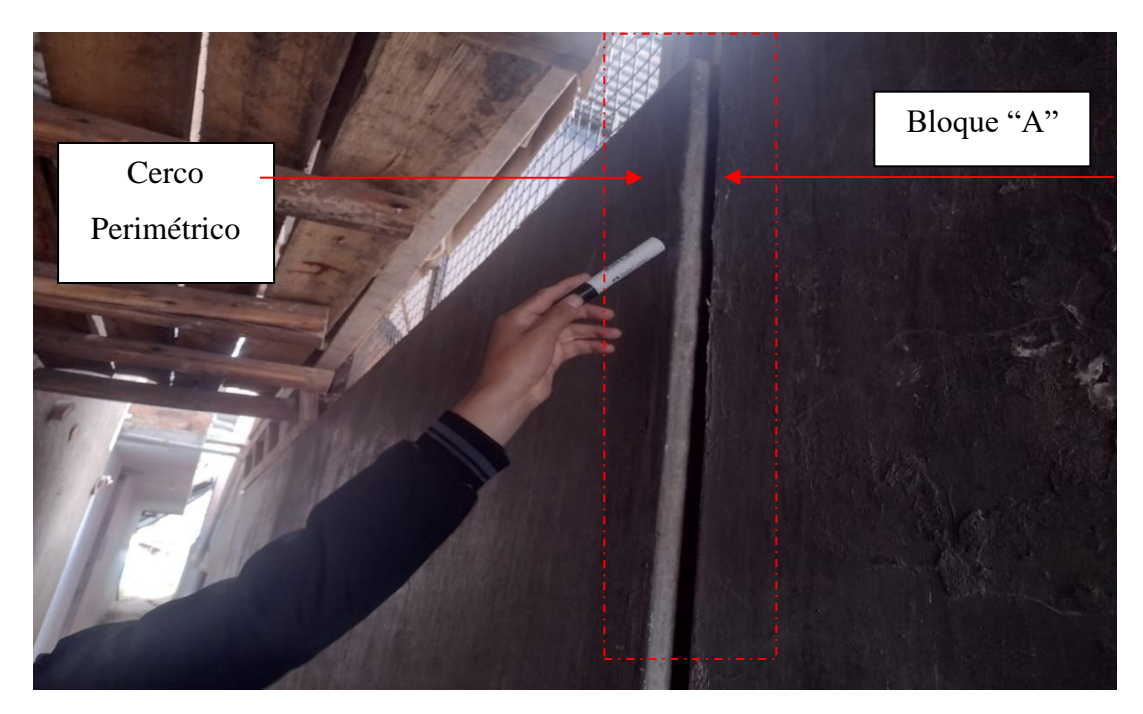
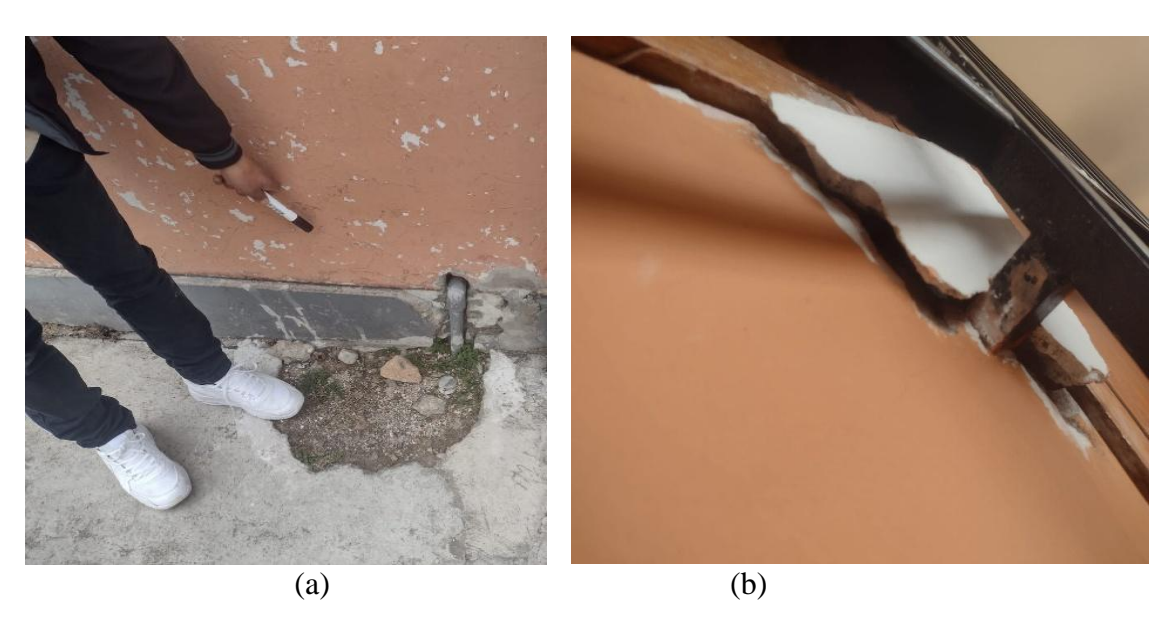


Figura 14

Muros portantes: (a): deterioro- tabiques: (b) desprendimiento de tarrajeo.



Los bloques "A" y "B" de la institución educativa evaluada presentan, en términos generales, un estado de conservación regular. Se identificaron diversas patologías tales como humedades ascendentes, filtraciones en la losa de cubierta, desprendimiento de tarrajeo y fisuras en las veredas. Si bien estas afectaciones son visibles y requieren atención con fines preventivos, aún no comprometen directamente los elementos estructurales principales del sistema, considerando además que la edificación cuenta con una antigüedad aproximada de 25 años.

No obstante, se evidencian fallas más críticas, como el deslizamiento de un muro de contención y problemas estructurales localizados en columnas y losas del cerco perimétrico, los cuales sí representan un riesgo potencial para la estabilidad de dichos elementos y deben ser abordados con prioridad.

4.1.3 Estabilidad de tabiques

La evaluación de la estabilidad de tabiques se centró en analizar la estabilidad de los tabiques frente a cargas aplicadas perpendicularmente a su plano. Para ello, se tomaron los tabiques por bloque, identificándoles por longitudes, comparando el momento generado por las cargas actuantes según la ecuación (13) con la capacidad resistente del tabique (calculada mediante la ecuación (12). Los resultados obtenidos de este análisis se presentan en la Tabla (36).

Tabla 36

Estabilidad de tabiques de los Bloques "A" y "B"

Bloque	Piso	Ubicación	C1	L (m)	h (m)	t (m)	Pe (tn)	Fi (Tn)	Pi (Tn)	F (Kgf)	w (Kg/m2)	m	a (m)	Ma (Tn-m)	Mr (Tn- m)	Decisión
]	Direcció	n X-X						
	1	Eje "A-A"	-	2.19	1.10	0.15	0.650	-		0.205	0.085	0.125	1.10	0.013	0.038	Estable
"A"	1	Eje "C-C"	-	1.19	1.65	0.15	0.530	-		0.167	0.085	0.125	1.65	0.029	0.038	Estable
A		Eje "A-A"								0.634	0.263	0.125	1.10	0.040	0.038	Inestable
	2	Eje "C-C	2	1.19	1.05	0.15	0.337	80.120	164.43	0.329	0.263	0.125	1.05	0.036	0.038	Estable

	2	Eje "D-D"	3	3.41 1.05 0.15	0.967	80.120 164.43	1.413	0.395	0.500	1.05	0.218	0.038	Inestable
	2	Eje "D-D"	3	7.08 1.05 0.15	2.007	80.120 164.43	2.934	0.395	0.500	1.05	0.218	0.038	Inestable
						Direcció	n Y-Y						
	2	Eje "1-1" y "7-7"- Tramo "C-D"	3	1.48 1.05 0.15	0.42	100.95 164.43	0.773	0.497	0.500	1.050	0.274	0.038	Inestable
						Direcció	n X-X						
	1	Eje "A-A"	-	1.90 1.10 0.15	0.564	-	0.178	0.085	0.125	1.10	0.013	0.038	Estable
	1	Eje "C-C"	-	0.90 1.65 0.15	0.401	-	0.126	0.085	0.125	1.65	0.029	0.038	Estable
	2	Eje "A-A"	2	1.90 1.10 0.15	0.564	80.120 164.43	0.550	0.263	0.125	1.10	0.040	0.038	Inestable
	2	Eje "C-C	2	0.90 1.65 0.15	0.401	80.120 164.43	0.391	0.263	0.125	1.65	0.090	0.038	Inestable
"B"	2	Eje "D-D"	3	3.12 1.05 0.15	0.885	80.120 164.43	1.293	0.395	0.500	1.05	0.218	0.038	Inestable
ь	2	Eje "D-D"	3	6.10 1.05 0.15	1.729	80.120 164.43	2.528	0.395	0.500	1.05	0.218	0.038	Inestable
						Direcció	n Y-Y						
	2	Eje "1-1" y "7-7"- Tramo "C-D"	3	1.48 1.05 0.15	0.42	100.95 164.43	0.773	0.497	0.500	1.050	0.274	0.038	Inestable

Se puede verificar que algunos tabiques son inestables a fuerzas laterales tanto en los bloques A y B de la institución educativa.

4.2 Análisis de resultados

4.2.1 Vulnerabilidad sísmica de los bloques.

A partir de los datos presentados en las tablas anteriores y aplicando la metodología descrita en el capítulo previo, se procedió a determinar la vulnerabilidad sísmica de los bloques "A" y "B".

Tabla 37Evaluación de la vulnerabilidad sísmica.

Vulnerabilidad sísmica de los bloques							
Esti	ructu	ral		No estructu	ıral	Vulner	abilidad
Comportamiento		Estado Actual		Estabilidad	de	Valor	Nivel
estructural (60%)		(30%)		tabiques (10%)		Numérico	
Adecuado	1	Calidad	2	Algunos	2	1.4	Baja
		Regular		inestables			

Para asignar los valores numéricos a los bloques "A" y "B" se utilizó la tabla (6), luego se determinó el valor numérico de la vulnerabilidad haciendo uso de la ecuación (3); obteniendo que para los bloques "A" y "B" tienen una vulnerabilidad sísmica baja con un valor numérico de 1.4.

4.2.2 Peligro sísmico de los bloques.

Sismicidad. La infraestructura de la institución educativa primaria N°82020 Porcón Bajo, se localiza en el distrito, provincia y departamento de Cajamarca. Por lo tanto, según la tabla (9), referente a la Zonificación sísmica corresponde a:

Tabla 38

Zonificación

Comunidad	Distrito	Provincia	Departamento	Zonificación
"Porcón Bajo"	Cajamarca	Cajamarca	Cajamarca	Z3

Para determinar la clasificación del suelo y el cálculo de la capacidad portante del suelo se utilizó el Anexo (3). Donde se ha realizado el EMS, de la zona de estudio.

Tabla 39 *Tipo de suelo*

Calicata		Capacidad		Clasificación
N°01	Profundidad	Portante	Tipo de suelo	
"01"	3.00 m	0.66 Kg/cm2	Cajamarca	Flexible.

Para determinar la topografía de la zona se utilizó el reglamento de clasificación de Tierras por Capacidad de uso Mayor (D.S. 17/09 – AG). Donde:

Tabla 40 *Topografía*

Descripción	Pendiente	Clasificación
Topografía Plana	<15%	Plana

El nivel y el valor numérico del peligro sísmico se obtuvo de la ecuación (21), en función del porcentaje de incidencia y el valor asignado a cada uno de los variables de la tabla N°19.

Este procedimiento permitió analizar e interpretar la información contenida en la Tabla (41) en forma efectiva.

Tabla 41

Nivel de peligro sísmico de los Bloques "A" y "B".

Nivel del Peligro sísmico							
Sismicidad (40%)	Suelo (40%)	Topografía (20%)	Valor Numérico	Nivel de Peligro sísmico			
3.5.11	Flexible						
Media	Capacidad	plana					
	Portante: 0.66		2.2	Medio			
	Kg/cm2						
40% (2)	(40%)3	20% (1)	_				

De acuerdo a la ecuación (21) y la tabla (19) los bloques "A" y "B" tienen un peligro sísmico medio.

4.2.3 Nivel de riesgo sísmico.

Para determinar el nivel de riesgo se utilizó la tabla (4) y la tabla (5)

Tabla 42

Valoración del nivel de riesgo sísmico de los bloques "A" y B"

		Valor Num	érico d	el Riesgo sísmico		
Vulnerab	ilidad	Peligro s	ísmico	Valor Numérico	Nivol	
sísmica (50%)		(50%)		valor Numerico	Nivel	
Baja	1.4	Medio	2.2	1.8	Medio	

De acuerdo a la tabla (42), los bloques "A" y "B" de la institución educativa tienen un nivel de riesgo sísmico medio, con un valor numérico de 1.8.

4.3 Interpretación y discusión de resultados.

4.3.1 Vulnerabilidad sísmica.

4.3.1.1 Comportamiento estructural

4.3.1.1.1Derivas de entrepiso.

En las tablas: (24), (25) se muestran los resultados de las derivas de entrepiso para el bloque "A" en dirección X-X y dirección Y-Y, teniendo como valores máximos de 2.43/1000 y 0.687/1000 respectivamente. Además, en las tablas: (26) y (27) se muestra los resultados de las derivas de entre piso del bloque "B" en dirección X-X y dirección Y-Y, teniendo como valores máximos de 1.20/1000 y 0.546/1000 respectivamente. Todos estos valores menores que limites permisibles para estructuras de concreto armado y albañilería en cada una de sus direcciones de 7/1000 y 5/1000 respectivamente.

4.3.1.1.2Comportamiento de columnas y placas

En el análisis realizado en las tablas: (28) y (29), tanto para los bloques "A" y "B" de la institución educativa se puede observar que el acero existente colocado en las placas y columnas del primer piso y segundo es suficiente para soportar cargas por gravedad y por sismo.

4.3.1.1.3 Comportamiento de vigas.

En el análisis realizado en las tablas: (30), (31), (32), (33), (34) y (35) los momentos actuantes en las vigas del bloque "A" y "B" de tanto del primero y segundo piso, sea a carga por gravedad o sismo son menores a los momentos resistentes de las secciones establecidas.

4.3.1.2 Evaluación del estado actual de la edificación

Luego de evaluar visualmente de manera directa los bloques "A" y "B" de la institución educativa primaria, se determinó que el estado actual de la edificación es regular, dado que se solo existe mal estado de conservación, y patologías como fisuras, grietas y filtraciones, que aún no comprometen a los elementos estructurales.

4.3.1.3 Evaluación de la estabilidad de tabiques

En la Tabla (36) se presentan los resultados del análisis de la inestabilidad de los tabiques, evidenciándose que algunos resultan inestables frente a cargas perpendiculares a su plano, debido a que el momento actuante supera al momento resistente.

4.3.2 Peligro sísmico

Al analizar el estudio de mecánica de suelos, la topografía de la zona y la sismicidad según la E-030,2018; se cuantifico el peligro sísmico en los bloques "A" y "B" de la institución educativa primaria N°82020 Porcón Bajo, como un nivel Medio, con valor cuantitativo de 2.2.

4.3.3 Riesgo símico

El valor calculo para el riesgo sísmico de los Bloques "A" y "B" de la institución educativa primaria N°82020 Porcón Bajo es de 1.8, indicando un nivel de riesgo medio.

4.4 Contrastación de la hipótesis.

En la presente investigación se determinó que el comportamiento estructural según las tablas: (24), (25), (26) y (27) muestran que los bloques "A" y "B" tienen un buen comportamiento estructural dado que cumple con las derivas permisibles son menores a 7/1000 y 5/1000 según la dirección, además determinó la valoración nivel de riesgo sísmico como medio tanto de los bloques "A" y B" de la institución educativa.

Comparando estos resultados con la investigación de Chacón & Paz (2016), en su tesis de maestría denominada: "Análisis de desempeño sísmico de los edificios escolares Típicos 780 Post 97 de la costa peruana", se encuentra coincidentes dado que reporto que las estructuras tienen un buen desempeño sísmico frente a sismos severos dado que las derivas son menores a las permisibles de 7/1000 y 5/1000 respectivamente por lo tanto cumple con la filosofía de diseño sismorresistente según la norma E-0.30.

Igualmente, con la investigación de Palomino (2019), de tesis de maestría: "Riesgo Sísmico de la infraestructura educativa publica Cesar Vallejo – Chanta Alta, Distrito la Encañada, provincia de Cajamarca – 2018", reporto que las derivas de entrepiso de sus módulos analizados son menores a los limites permisibles de acuerdo a la RNE E.30 con un nivel de Riesgo Sísmico medio mostrando congruencia con resultados de la presente investigación.

CAPITULO V: CONCLUSIONES Y RECOMENDACIONES

5.1 Conclusiones.

- ✓ El nivel de riesgo sísmico de la infraestructura educativa primaria N°82020 Porcón Bajo, de la provincia y departamento de Cajamarca es medio con un valor numérico de 1.8.
- ✓ El nivel de vulnerabilidad sísmica de la infraestructura educativa primaria N°82020

 Porcón Bajo, de la provincia y departamento de Cajamarca tiene un valor numérico de vulnerabilidad sísmica de 1.4, por consiguiente, un nivel de vulnerabilidad sísmica Bajo.
- ✓ El nivel de peligro sísmico de la infraestructura educativa primaria N°82020 Porcón Bajo, de la provincia y departamento de Cajamarca tiene un valor numérico de peligro sísmico a 2.2, por consiguiente, un nivel de peligro sísmico Medio.

5.2 Recomendaciones.

- ✓ Se recomienda realizar un estudio patología detallado con fines de reparación y prevención en los bloques de la presente investigación realizada.
- ✓ En la institución educativa se recomienda realizar estudios detallados en el cerco perimétrico, dado que presenta fallas en los elementos estructurales, esto está generando un riesgo latente para los alumnos y la comunidad en general.

CAPITULO VI: REFERENCIAS BIBLIOGRÁFICAS

- Abanto, T. (2017). Análisis y diseño de edificaciones de albañilería. Lima: Editorial San Marcos.
- Alvarez Sanchez, J. J., & Pulgar Santacruz, X. O. (2019). Análisis de vulnerabilidad sísmica de los módulos escolares públicos en el distrito de Villa María del Triunfo mediante el método Índice de Vulnerabilidad (Fema p-154) y su. Lima, Peru.
- Blanco Blasco, J. A. (2015). Conceptos de diseño estructural de muros de concreto armado (placas) en el Perú. Lima.
- Campoverde Oropeza, J. M. (2017). Escenarios de Riesgo Sísmico en el distrito de San Isidro . Lima, Perú .
- Cenepred. (2015). Manual para la Evaluación de Riesgos Originados por Fenómenos Naturales 2da Versión. Perú: Neva Studio SAC.
- Chopra, A. (2012). Dynamics of Structures: Theory and Applications to Earthquake Engineering.
 University of California, Berkeley (UC Berkeley): Pearson Education.
 doi:https://doi.org/10.1007/BF00426980
- Contreras Prado, D. J. (2023). Evaluación del desempeño sísmico y propuesta de reforzamiento para una edificación escolar típica basada en el módulo 780 PRE NDSR-1997. Lima.
- Flores, C. O. (2022). Nivel de riesgo sísmico del centro educativo de nivel primario N°82005 "Miguel Iglesias" del distrito de Cajamarca-Cajamarca. Cajamarca, Perú.
- Harmsen, T. (2017). Diseño de estructuras de concreto armado. Lima: Pontificia Universidad Católica del Perú, Fondo Editorial.
- Hidalgo Zuloaga, E. J., & Silvestre Gómez, R. J. (2019). Evaluación de la Vulnerabilidad Sísmica de la Institución Educativa No 20475 – Los pelones, del distrito y provincia de Barranca del departamento de Lima. Huacho, Perú.
- Kuroiwa, J. (2019). Reducción de desastres, viviendo en armonía con la naturaleza. Julio Kuroiwa Segunda Edición. Lima, Perú.

- Marín Marín, M. (2023). Riesgo Sísmico de la Institución Educativa Primaria de Menores N°16002, del distrito y provincia de Jaén, región Cajamarca.
- Martinez Giron, D. R., & Sedano Taipe, G. (2019). Análisis del Riesgo Sísmico y Propuesta de Reforzamiento de la Institución Educativa. Lima, Peru. Obtenido de https://repositorio.ucv.edu.pe/handle/20.500.12692/46726
- Mosqueira Moreno, M. A. (2012). Riesgo Sísmico en las edificaciones de la facultad de Ingeniería Universidad Nacional de Cajamarca. Trujillo.
- Muñoz, A. P. (2020). Comentarios a la norma peruana E.030 Diseño Sismoresistente. Lima.
- Norma Técnica E.030. (2019). Diseño Sismorresistente. Lima: RNE.
- Norma Técnica E.070. (2020). Albañilería. Lima: RNE.
- Ojeda Condoro, L. A., & Colorado Rosa, Y. Q. (2021). Evaluación estructural del pabellón "A" de la institución educativa 42036 Juan María Rejas, Tacna 2021. Tacna, Perú.
- OPS. (2004). Fundamentos para la mitigación de desastres en establecimientos de salud (Vol. Segunda Edicion). Washington, EE.UU.
- Palomino Terán, K. E. (2019). Riesgo sísmico de la infraestructura educativa publica César Vallejo Chanta Alta, distrito la Encañada, provincia de Cajamarca-2018. Cajamarca, Perú.
- Paredes G. J. (2023). *Riesgo sísmico y medidas de mitigación en la Institución Educativa N*.° 5125 en el distrito de Ventanilla [Tesis de licenciatura, Universidad Privada del Norte]. Repositorio Institucional UPN. https://hdl.handle.net/11537/38473
- Romero Gonzales, E. (2022). Evaluación del concreto estructural mediante ensayo de esclerometría en el proyecto del hospital el carmen, Huancayo, Junin. Huancayo.
- Sianko, I., Ozdemir, Z., Hajirasouliha, I., & Pilakoutas, K. (2023). Evaluación probabilística del riesgo sísmico: Estudio de caso en Adapazarı, Turquía. Bulletin of Earthquake Engineering. doi:https://doi.org/10.1007/s10518-023-01674-2

- Slobodan, M., Bošković, I., Đorđević, M., Krtinić, N., & Žugić, A. (2024). Seismic Risk Assessment in School Buildings: A Comparative Study of Two Assessment Methods. Buildings. doi:https://doi.org/10.3390/buildings14082348
- T. A., K. W., & R. N. (2023). Seismic risk assessment of typical reinforced concrete frame school buildings in Sri Lanka. Buildings, Volumen 13, Número 10, Artículo 2662. doi:https://doi.org/10.3390/buildings13102662
- Tavera, H. (2019). Sismo de lagunas del 26 de mayo del 2019 (M8.0) Región Loreto. Lima, Perú. Obtenido de https://repositorio.igp.gob.pe/server/api/core/bitstreams/33bfc103-fcd2-4b13-bc8b-15ff4d80aa92/content
- United Nations Office for Disaster Risk Reduction. (2022). Informe Global assessment report on disaster risk reduction. Obtenido de https://www.undrr.org/media/79595/download?startDownload=true
- Villavicencio Logroño, R. A. (2023). Evaluación de la Vulnerabilidad Sísmica en estructuras del barrio "Dávalos", parroquia Velazco, Cantón Riobamba Ecuador. Quito, Ecuador.
- Volcano Discovery. (2024). Obtenido de https://www.volcanodiscovery.com/es/region/19033/sismos/cajamarca.html#section-map
- Zora Mejía, F. N., & Acevedo Jaramillo, A. B. (2019). Índice de vulnerabilidad sísmica de escuelas del Área Metropolitana de Medellín, Colombia. Revista EIA,, Volumen 16.

ANEXOS

ANEXO 01: FOTOGRAFÍAS

Figura 1.1 *Verificación de dimensiones de la estructura*



Figura 1.2Levantamiento topográfico I.E. primaria N°82020 Porcón Bajo



Figura 1.3 *Estudio de Mecánica de Suelos Calicata C-01- Profundidad 3m.*



Figura 1.4Perfil estratigráfico del suelo (C-01)



Figura 1.5 *Recolección de muestras para los ensayos correspondientes.*



Figura 1.6

Ensayo de esclerometría en columnas (C-1) Bloque "A"



Figura 1.7

Ensayo de esclerometría en Placa (PL-01) Bloque "A".



Figura 1.8

Ensayo de esclerometría en Columnas (C-01) Bloque "B"



ANEXO 02: DETERMINACIÓN DEL NUMERO DE REBOTE EN CONCRETO ENDURECIDO (ASTM C 805-NTP 339.181).

Marca-Martillo: Instronics
N° Serie: 2403004
Resistencia de 210
Diseño: Kg/cm2
Fecha de Ensayo: 04/09/2024

Standar	d Test Method for l	Rebound Nu	ımber of Ha	rdened Co	ncrete
Punto		F	P01		P-02
Elemento		Col	umna		Placa
Nomenclatura			(C-1)	(C2(PL-01)
	Modulo/Bloque		// A		I/A
N° Piso			1 1		
	N° Lecturas			E DE REB	
	L1	31	Válido	32	Válido
	L2	28	Válido	32	Válido
10)	L3	29	Válido	34	Válido
Válic	L4	28	Válido	34	Válido
Ä.	L5	29	Válido	33	Válido
Lecturas/ (Válido/No Válido)	L6	30	Válido	33	Válido
(Vá	L7	32	Válido	32	Válido
ıras/	L8	32	Válido	30	Válido
Jecth	L9	31	Válido	31	Válido
П	L10	30	Válido	34	Válido
	L11	32	Válido	30	Válido
	L12	32	Válido	31	Válido
PROME	EDIO	30.	33		32.17
MÍNI	MÍNIMO		33		26.17
MÁXI	MO	36.	33		38.17
RESISTE	ENCIA	psi	2950	psi	3300
KESISTE	INCIA	Kg/cm2	207.41	Kg/cm2	232.01

Standard To	est Method for Rebo	ound Numbe	er of Harde	ened Concre	ete		
Punto		P	05	P	P10		
Elemento		Pla	aca	Vi	iga		
Nomenclatura		C3(P	L-01)	V	7 1		
Modulo/Bloque		I/	'A	I/	A		
N° Piso		2	2		1		
	N° Lecturas		ÍNDICE D	E REBOTE			
	L1	32	Válido	31	Válido		
	L2	33	Válido	32	Válido		
(op	L3	34	Válido	33	Válido		
Lecturas/ (Válido/No Válido)	L4	34	Válido	30	Válido		
No	L5	34	Válido	32	Válido		
llido	L6	35	Válido	32	Válido		
(Vž	L7	31	Válido	28	Válido		
uras/	L8	32	Válido	31	Válido		
Lect	L9	34	Válido	30	Válido		
	L10	35	Válido	30	Válido		
	L11	36	Válido	31	Válido		
	L12	33	Válido	32	Válido		
PROM	IEDIO	33	.58	31	.00		
MÍN	IMO	27.58		25	25.00		
MÁX	IIMO	39	.58	27	.00		
RESIST	ENCIA	psi	3575	psi	3088		
KE3131	ENCIA	Kg/cm2	251.35	Kg/cm2	217.11		

Standard T	est Method for Rebo	ound Numb	er of Hardo	ened Concr	ete	
Punto		P	07	P	03	
Elemento		V	iga	Viga		
Nomenclatura		7	/2	V	71	
Modulo/Bloque		\mathbf{L}	/A	II	/B	
N° Piso			2		1	
	N° Lecturas		ÍNDICE D	E REBOTI	Ξ	
	L1	29	Válido	34	Válido	
	L2	30	Válido	30	Válido	
(op	L3	32	Válido	30	Válido	
Lecturas/ (Válido/No Válido)	L4	28	Válido	31	Válido	
No.	L5	30	Válido	29	Válido	
Lido,	L6	29	Válido	35	Válido	
(Vá	L7	30	Válido	29	Válido	
ıras/	L8	30	Válido	31	Válido	
Lecti	L9	28	Válido	30	Válido	
	L10	32	Válido	31	Válido	
	L11	31	Válido	30	Válido	
	L12	30	Válido	29	Válido	
PROM	MEDIO	29	.92	30	.75	
MÍN	NIMO	23	.92	24	.75	
MÁZ	XIMO	35	.92	36	36.75	
DECIC	ΓΕΝCΙΑ	psi	2870	psi	3030	
KESIS.	IENCIA	Kg/cm2	201.78	Kg/cm2	213.03	

Standard Test Method for Rebound Number of Hardened Concrete	Standard Test Method for Rebound Number of Hardened Concrete
--	--

Punto		P	04	P	06
Elemento		Columna		Columna	
Nomenclatura		C2(P	L-01)	C2(P	L-01)
Modulo/Bloque		IL	/B	II	/B
N° Piso		1		2	
N° Lecturas		ÍNDICE DE REBOTE			
	L1	30	Válido	29	Válido
	L2	31	Válido	32	Válido
(do)	L3	30	Válido	33	Válido
Válic	L4	34	Válido	31	Válido
Lecturas/ (Válido/No Válido)	L5	33	Válido	29	Válido
	L6	34	Válido	34	Válido
(Vá	L7	30	Válido	30	Válido
ıras/	L8	34	Válido	33	Válido
Jectu	L9	29	Válido	32	Válido
Π	L10	31	Válido	31	Válido
	L11	29	Válido	31	Válido
	L12	30	Válido	33	Válido
PROMEDIO		31.25		31.50	
MÍNIMO		25.25 25.50		.50	
MÁXIMO		37	.25	37	.50
		psi	3125	psi	3170
RESISTI	ENCIA	Kg/cm2	219.71	Kg/cm2	222.87

Standard Test Method for Rebound Number of Hardened Concrete						
Punto		P	P11		P08	
Elemento		V	iga	Vi	iga	
Nomenclatura		7	/1	V2		
Modulo/Bloque		II	/B	II	/B	
N° Piso			1		1	
	N° Lecturas		ÍNDICE D	E REBOTI	Ξ	
	L1	34	Válido	30	Válido	
	L2	34	Válido	29	Válido	
(op	L3	33	Válido	29	Válido	
Váli	L4	34	Válido	29	Válido	
Lecturas/ (Válido/No Válido)	L5	36	Válido	28	Válido	
lido,	L6	36	Válido	28	Válido	
(Vá	L7	37	Válido	30	Válido	
ıras/	L8	37	Válido	31	Válido	
Lectu	L9	35	Válido	30	Válido	
—	L10	36	Válido	29	Válido	
	L11	35	Válido	30	Válido	
	L12	33	Válido	29	Válido	
PROMEDIO		35	5.00	29	.33	
MÍNIMO		29	0.00	23	.33	
MÁ	MÁXIMO		.00	35	.33	
RESISTENCIA		psi	3850	psi	2750	
KESIS	IENCIA	Kg/cm2	270.68	Kg/cm2	193.34	

Standard Test Method for Rebound Number of Hardened Concrete

Punto	P09
Elemento	Viga
Nomenclatura	V3
Modulo/Bloque	II/B
N° Piso	2

		N° Lecturas	ÍNDICE	DE REBOTE
		L1	28	Válido
		L2	28	Válido
(op		L3	29	Válido
Váli		L4	29	Válido
No.		L5	30	Válido
lido,		L6	32	Válido
, (Vá		L7	30	Válido
Lecturas/ (Válido/No Válido)		L8	28	Válido
		L9	29	Válido
		L10	31	Válido
		L11	29	Válido
		L12	30	Válido
	PROMEDIO		29	.42
	MÍNIMO		23	.42
	MÁXIMO		35	.42
1	DECICTENCIA		psi	2770
RESISTENCIA			Kg/cm2	194.75



LABORATORIO DE CALIBRACIÓN CON TRAZABILIDAD AL ORGANISMO PERUANO DE ACREDITACIÓN INACAL

CERTIFICADO DE CALIBRACIÓN N° V05751

Expediente

: N° 0299-2024

Página 1 de 2

El equipo de medición especificado en este documento ha sido calibrado, probado y verificado usando patrones certificados con

trazabilidad a la dirección de Metrología del

Los resultados sólo están relacionados con

los items calibrados y son válidos en el momento y en las condiciones de la

calibración. Al solicitante le corresponde

disponer en su momento la ejecución de una recalibración, la cual está en función del uso, conservación y mantenimiento del

CALITEST S.A.C. no se responsabiliza de

los perjuicios que pueda ocasionar el uso inadecuado de este instrumento, ni de una incorrecta interpretación de los resultados

de la calibración aquí declarados. Los resultados de este certificado de calibración

no debe ser utilizado como una certificación de conformidad con normas de producto o

como certificado del sistema de calidad de

medición

de

reglamentaciones vigentes.

la entidad que lo produce.

INACAL y otros.

instrum ento

Fecha de Emisión

: 2024-08-29

1. SOLICITANTE

: HERMANOS URTEAGA CONTRATISTAS SRL

DIRECCIÓN

: JR. LA MAR NRO. 224 (BARRIO CUMBE MAYO) CAJAMARCA - CAJAMARCA - CAJAMARCA

2. INSTRUMENTO DE

: Esclerómetro Análogo

MEDICIÓN

Marca : INSTRONICS

Modelo

: ZC3-A

Número de Serie

2403004

Tipo

: N

Lectura

: Análogo

Procedencia

ESPAÑA

Identificación Ubicación

2403004

Instalaciones de CALITEST S.A.C.

3. LUGAR Y FECHA DE CALIBRACIÓN

Fecha

Lugar

: Laboratorio de CALITEST S.A.C.

4. PROCEDIMIENTO DE CALIBRACIÓN

La Verificación del equipo se determino realizando la prueba de exactitud, para ello se sostiene el esclerómetro firmemente de manera que el embolo esté perpendicular a la superficie de la prueba (Yunque), después del impacto se lee el número de rebote en la escala al número entero más cercano y se registra. Para el caso del equipo tenga lectura digital, solo registrar el valor que indica el

El número de rebote obtenido debe ser 80 ± 2 para el tipo N y de 75 ± 2 para el tipo L. La prueba se realizo teniendo en cuenta las Normas ASTM C805 y EN 12504-2.

5. CONDICIONES AMBIENTALES

Temperatura (°C) Humedad Relativa (%)

Inicial	
18,1	9.1
73	

Final 18.5 70

Sello

Laboratorio de Metrología



Tco ARMANDO JUNIOR PIZANGO MOZOMBITE JEFE DE LABORATORIO DE METROLOGÍA

JEFE DE LABORATORIO

FEI-13

Rev00

Elaborado:PFSP

Revisado: GAMP

Aprovado:AJPM



LABORATORIO DE CALIBRACIÓN CON TRAZABILIDAD AL ORGANISMO PERUANO DE ACREDITACIÓN INACAL

CERTIFICADO DE CALIBRACIÓN Nº V05751

Página 2 de 2

6. TRAZABILIDAD

Yunque de Calibración, en acero para verificar el esclerómetro. Se define por una dureza de 53 HRC y una masa de (16 ± 1) kg., de forma esférica. Con certificado de durabilidad emitido por voestalpine High Performance Metals del Perú S.A (BŌHLER PERU), especialista en aceros de máxima calidad. Certificado con ISO/IEC 9001:2015 - Gestión de Calidad.

7. OBSERVACIONES

Con fines de identificación se colocó una etiqueta autoadhesiva de color verde con la indicación "Calibrado".

8. RESULTADO DE MEDICIÓN

TABLA N° 01

Lecturas:	Nº de Rebote	
Lecturas.	80 ± 2	
CALIFE TEAC ON	79	
2	79	
3	79	
CALITE 4 BAC ON	79	
5	79	
6	79	
7	79	
8	79	
9	79	
10	79	

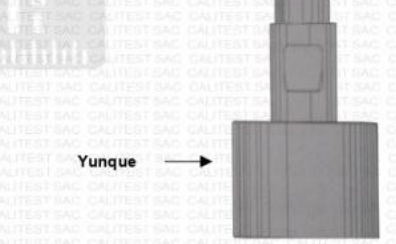
79	
CONFORME	

Value of the Print	THE REAL PROPERTY.	THE PART OF THE PARTY.
Factor de	Reaiuste:	1.01

FIGURA N° 01

Correccion del
Esclerómetro
STREET 1 C CALL
ATTEST 1 CONTR
UIESI NE COL
SUITEST THE CAUT
LITEST 10 COLIN
UTTEST 10 CALIF
1
MINIMAD #1 COCKOO
1
mutter sky cyrtu

CALITY



Sello

Laboratorio de Metrología



CALITEST S.A.C

TOO ARMANDO JUNIOR PIZANGO MOZOMBITE JEFE DE LABORATORIO DE METROLOGÍA

CALIFICATI S.A.C.

Ing. GIANMARCO ANDRE MESTAS PIZANGO CIP: 256285 JEFE DE LABORATORIO

FEI-13

Rev00

Elaborado:PFSP

Revisado:GAMP

Aprovado:AJPM

ANEXO 03: ESTUDIO DE MECÁNICA DE SUELOS

TESIS: NIVEL DE RIESGO SÍSMICO DE LA INFRAESTRUCTURA EDUCATIVA

PRIMARIA N°82020 PORCÓN BAJO, PROVINCIA CAJAMARCA-2024.

TESISTA: Nilder Diaz Vasquez

UBICACIÓN: Perú-Cajamarca- Cajamarca- Porcon Bajo

FECHA DE EXCAVACIÓN: 28/10/2024

DATOS.

- Numero de calicatas: 1 (C-1)

- Coordenadas de la calicata: E767425-N9215678

DESCRIPCIÓN DE LOS TRABAJOS

- Ubicación y excavación de la calicata (Profundidad 3 metros)

- Descripción visual de los perfiles estratigráficos
- Toma de muestras alteradas e inalteradas
- Ejecución de ensayos realizados por el laboratorio.
- Trabajo de gabinete.

MUESTRA EXTRAÍDA

ESTRATO	MUESTRA	CANTIDAD (Kg0	TIPO
E-01 al E-04	S/M	-	-
E-05	M-01	30	M. Altereda
E-05	M-02	25	M. INALTERADA

ENSAYOS REALIZADOS

ENSAYO	NORMA
Contenido de humedad	ASTM D2216-19
Análisis granulométrico	NTP 339.128
Limite Liquido	ASTM D4318-17

Limite platico	ASTM D4318-17
Clasificación de suelos SUCS	ASTM D2487-17
Clasificación de suelos AASHTO	ASTM D3282-15
Gravedad Especifica de Solidos	ASTM D854-23
Peso volumetrico de suelo cohesivo	NTP 339.139
Corte directo	ASTM D3080/3080-23

PRESENTACIÓN DE RESULTADOS.

1. Perfil estratigráfico de la calicata C-01

Según lo observado en campo y contrastación de los resultados con el laboratorio se resumen en:

- De 0.00 a 0.10 m

Suelo orgánico de color negro oscuro

- De 0.10 a 0.40 m

Relleno de color marrón amarillento

- De 0.40 a 0.75 m

Combinación de bolonería al 15 % con arcilla

- De 0.75 a 0.2.40 m

El suelo según clasificación visual es un suelo orgánico que varía de colores, desde un marrón olivo oscuro hasta un negro rojizo.

- De 2.40 m a 3.00 m

El suelo en este estrato es una ARCILLA DE ALTA PLASTICIDAD (CH). Su composición se distribuye en un 3,3% de gravas, un 10,3% de arenas y un 86,4% de limos y arcillas. Además, su contenido de humedad es del

44,0%, con un límite líquido de 95, un límite plástico de 38 y un índice de plasticidad de 57.

Alturas	Cota	Profundidad (m)	Simbología	Descripción	Estrato /Muestra
0,10	3177,900	-0,10 m	PT	El suelo según clasificación visual, Material orgánico	E-01 - S/M
0,20 0,30 0,40	3177,600	-0,40 m	Relieno	El suelo según clasificación visual, es un relleno controlado (afirmado): - De color marrón amarillento, no tiene olor perceptible.	E-01 – S/M
0,50			03.20		
0,60			GP 6	El suelo según clasificación visual, presenta bolonería al 15% con diámetros aproximados de 4in.	E-01 – S/M
0,70			00.70		
0,80	3177,250	-0,75 m			
0,90			~~~		
1,00			\sim		
1,10			<i>></i> >>		
1,20			\sim		
1,30			\sim		
1,40			\sim	El suelo según clasificación visual, es un suelo orgánico, el	
1,50			\sim	cual presente algunas diferencias de color:	
1,60			PT .	De 0,75 a 1,25 color marrón olivo oscuro. De 1,25 a 1,90 color negro rojizo.	E-01 - S/M
1,70				- De 1,90 a 2,15 color marrón fuerte.	
1,80				- De 2,15 a 2,40 color negro rojizo No presenta ningún tipo de olor perceptible	
1,90			~~~		
2,00			\sim		
2,10			\sim		
2,20			$\sim\sim\sim$		
2,30			~~~		
2,40	3175,600	-2,40 m	\sim		
2,50					
2,60				El suelo es una Arcilla de Alta Plasticidad (CH): - De color gris, no tiene olor perceptible.	
2,70			СН	- Compuesto por un 3,3% de gravas, un 10,3% de arenas y un 86,4% de limos y arcillas.	E-01 - M-01
2,80			Chi	- Presenta un contenido de humedad del 44,0%.	
2,90					
3.00	3175.000	-3.00 m			

2. Ensayos de laboratorio

a. Ensayos realizados

Ensayo	Norma

Contenido de humedad	ASTM D2216-19
Análisis granulométrico	NTP 339.128
Limite Liquido	ASTM D4318-17
Limite platico	ASTM D4318-17
Clasificación de suelos SUCS	ASTM D2487-17
Clasificación de suelos AASHTO	ASTM D3282-15
Gravedad Especifica de Solidos	ASTM D854-23
Peso volumetrico de suelo cohesivo	NTP 339.139
Corte directo	ASTM D3080/3080-23

b. Resumen de los resultados de los ensayos.

Descripción	Valor	Norma
Muestra	C-01,E-05	
Análisis	Gravas: 3.3%	
Granulométrico	Arena: 10.3%	ASTM D6913-17
por tamizado	Limos y Arcillas 86.4%	
Límites de	LL: 95	
	LP:38	ASTM D4318-17
Atterberg	IP:57	
Contenido de	44%	ASTM D2216-19
Humedad	4470	ASTM D2210-19
Gravedad		
Especifica de	2.64	ASTM D854-23
Solios		
Clasificación	CII Amilla da alta mlantinidad	A CTM D2407 17
S.U.C.S	CH-Arcilla de alta plasticidad	ASTM D2487-17
	Angulo de fricción interno Ø(°): 13.50	A CTM D2000
Corte Directo	Cohesión c (Kg/cm2):0.25	ASTM D3080
	Cohesión c(T/m2):2.5	/D3080M-2023

c. Ensayos.



CONTENIDO DE HUMEDAD DE SUELOS (ASTM D2216 - 19)



Aprobación : : 01 de 01 : LH-FOR-086 Fecha 21/08/2023 Versión : 06 Código JL Página

TESIS "NIVEL DE RIESGO SÍSMICO DE LA INFRAESTRUCTURA EDUCATIVA PRIMARIA N°82020 PORCÓN BAJO, PROVINCIA Proyecto (**)

CAJAMARCA-2024"

Ubicación (**) INSTITUCIÓN EDUCATIVA PRIMARIA N°82020-PORCÓN BAJO

Cliente Nilder Díaz Vásquez Material MUESTRA ALTERADA

Procedencia (**) Calicata - Profundidad 2,40 - 3.00 m

Código de Muestra (**) : C-01, E-05, Alterada Código del Laboratorio: LH-B-M-2024-0530

Ubicación de Muestreo (**) :

Coordenadas (**) N: 9215678,00 E: 767425,00

Informe No. LH-B-INF-2024-344 Fecha de Muestreo (**) : 2024-10-28

Fecha de Recepción 2024-10-29 Fecha de Informe 2024-11-21

Hora de Muestreo (**) :

Clima (**) Muestreado por (**)

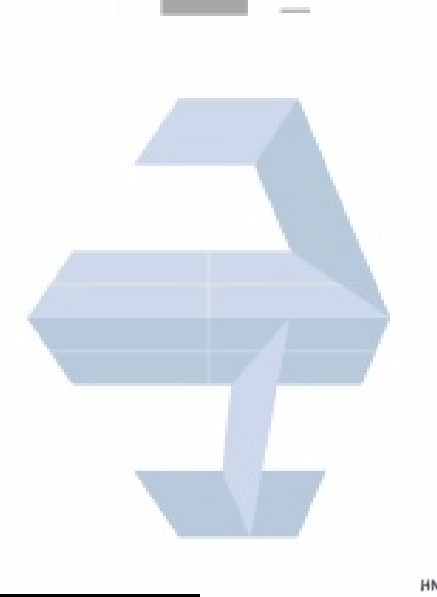
Standard Test Methods for Laboratory Determination of Water (Moisture) Content of Soil and Rock by Mass¹ MÉTODO B

ENSAYO No. 1

		Inicial	Final	40	Técnico Encargado	:	Nilton Julcamoro
Condiciones Ambientales :	Temperatura	19,78 °C	22,39 °C		Inicio de Ensayo	:	2024-10-29
	HR	55,87 %	43,26 %		Fin de Ensayo	:	2024-10-30

Temperatura de secado:	110 ± 5 °C	Cantidad de material en capas:	01
Tamaño máximo de partículas	1 1/2 in.	Material Excluido de la muestra de ensayo:	NINGUNO

CONTENIDO DE HUMEDAD - GLOBAL					
No. de Tara	RM-A-02	RM-A-03	RM-A-04		
Masa de la Tara (g)	191,77	186,66	178,97		
Masa de la Tara + Muestra Húmeda (g)	2 564,89	2 561,05	2 556,77		
Masa de la Tara + Muestra Seca (g)	1 834,40	1 831,12	1 825,12		
Masa del Agua (g)	730,49	729,93	731,65		
Masa de la Muestra Seca (g)	1 642,63	1 644,46	1 646,15		
Contenido de Humedad (%)	44,5	44,4	44,4		
w% PROMEDIO (%)	0	44			



Nota:

Revisó y aprobó:

Ung. Adriana Y. Marín Díaz Reg. CIP. 262195 ESPECIALISTA DE CONCRETO Y MECANICA DE SUELOS

ERTEAGA CONTRATISTAS

(**) Los datos indicados han sido proporcionados por el cliente.



SUELOS. Método de ensayo para el análisis granulométrico (NTP 339.128 1999 (revisada el 2019))



: LH-FOR-084 Aprobación : 21/08/2023 08 Código Fecha Versión JL Página : 01 de 01

TESIS "NIVEL DE RIESGO SÍSMICO DE LA INFRAESTRUCTURA EDUCATIVA PRIMARIA N°82020 PORCÓN BAJO, PROVINCIA Proyecto (**)

CAJAMARCA-2024"

Ubicación (**) INSTITUCIÓN EDUCATIVA PRIMARIA Nº82020-PORCÓN BAJO

Cliente Nilder Díaz Vásquez Material (**) MUESTRA ALTERADA

Procedencia (**) Calicata - Profundidad 2,40 - 3.00 m

Código de Muestra (**) : C-01, E-05, Alterada Código de Laboratorio : LH-B-M-2024-0530

Ubicación de Muestreo (**):

Coordenadas (**) E: 767425.00 N: 9215678.00

Condiciones Ambientales : Inicial Final

19.78 °C 19.99 °C Temperatura 55,87 % HR 51.99 %

Informe No. LH-B-INF-2024-344 Fecha de Muestreo (**) : 2024-10-28 Fecha de Recepción 2024-10-29 Fecha de Informe 2024-11-21 Técnico Encargado Nilton Julcamoro

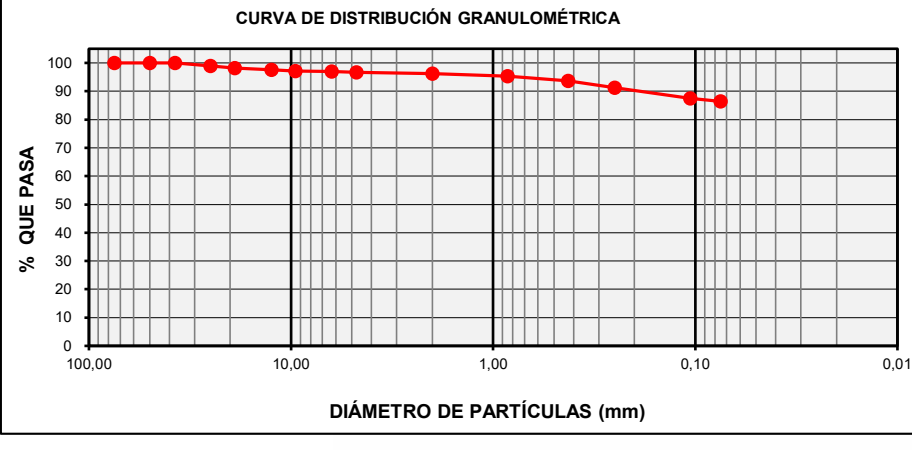
Hora de Muestreo (**) Clima (**) Muestreado por (**)

Fechas de Ejecución del Ensayo :

2024-10-29 Inicio de Ensayo Fin de Ensayo 2024-10-31

SUELOS. Método de ensayo para el análisis granulométrico NTP 339.128 1999 (revisada el 2019)

Masa Muestr	a Húmeda:	7 125,00 g						
Masa Seca In	icial:	4 933,00 g						
Masa Seca La	avada:	667,90 g	Tamaño máxi	imo de partículas	S	1 1/2 in.		
TAMICES A.S.T.M.	ABERTURA (mm)	MASA RETENIDA (g)	% RETENIDO ACUMULADO	% QUE PASA	EE (CLIE		DESCRIPCIÓN	
6 in.	150,000	0,00	0,0	100,0		-	Bloques (>300 mm):	-
4 in.	100,000	0,00	0,0	100,0)	-	Bolones (75 mm - 300 mm):	0,0%
3 in.	75,000	0,00	0,0	100,0	- المرين	-	Gravas (4.75 mm - 75 mm):	3,3%
2 in.	50,000	0,00	0,0	100,0	-	-	Arenas (0.075 mm - 4.75 mm):	10,3%
1 1/2 in.	37,500	0,00	0,0	100,0	- Ш	-	Limos y Arcillas (<0.075 mm):	86,4%
1 in.	25,000	48,00	1,0	99,0	-	-	A. gruesa (4,75 mm - 2,00 mm):	0,5%
3/4 in.	19,000	41,00	1,8	98,2		-	A. media (2,00 mm - 0,425 mm):	2,6%
1/2 in.	12,500	30,00	2,4	97,6	4	-	A. fina (0,425 mm - 0,075 mm):	7,2%
3/8 in.	9,500	20,00	2,8	97,2	- []]	-	CARACTERÍSTICA	S
1/4 in.	6,300	13,00	3,1	96,9	-	-	D ₆₀ (ASTM D2487-17 ^{£1})(mm):	0,00
No. 4	4,750	8,00	3,3	96,7	- 0	-	D ₃₀ (ASTM D2487-17 ^{£1}) (mm):	0,00
No. 10	2,000	26,00	3,8	96,2		-	D ₁₀ (ASTM D2487-17 ^{£1}) (mm):	0,00
No. 20	0,850	43,99	4,7	95,3		-	Cu (ASTM D2487-17 ^{£1}):	-
No. 40	0,425	85,83	6,4	93,6		-	Cc (ASTM D2487-17 ^{£1}):	-
No. 60	0,250	111,79	8,7	91,3	-	-	LL (ASTM D4318-17):	95
No. 140	0,106	185,99	12,5	87,5	-	-	LP (ASTM D4318-17):	38
No. 200	0,075	52,55	13,6	86,4	- 4	-	IP (ASTM D4318-17):	57
Cazoleta	-	1,26					Error de ensayo (%):	0,010%



Revisó y aprobó:

Observaciones:

Ing. Adriana Y.

(**) Los datos indicados han sido proporcionados por el cliente.



LÍMITES DE ATTERBERG (ASTM D4318 - 17²¹)



: LH-FOR-085 21/08/2023 Versión 09 Aprobación : Código Fecha: Página 01 de 01

TESIS "NIVEL DE RIESGO SÍSMICO DE LA INFRAESTRUCTURA EDUCATIVA PRIMARIA N°82020 PORCÓN BAJO, PROVINCIA Proyecto (**)

CAJAMARCA-2024"

INSTITUCIÓN EDUCATIVA PRIMARIA Nº82020-PORCÓN BAJO Ubicación (**)

Cliente Nilder Díaz Vásquez Material (**) MUESTRA ALTERADA

Procedencia (**) Calicata - Profundidad 2,40 - 3.00 m

Código de Muestra (**) : C-01, E-05, Alterada LH-B-M-2024-0530 Código de Laboratorio :

Ubicación de Muestreo (**) :

Coordenadas (**)

Condiciones Ambientales :

N: 9215678,00 E: 767425.00

Inicial Final 19.78 °C 20.09 °C

Temperatura 55,87 % HR 51.02 %

LH-B-INF-2024-344 Informe No. 2024-10-28

Fecha de Muestreo (**) : Fecha de Recepción 2024-10-29 Fecha de Informe 2024-11-21

Técnico Encargado Jesús Pompa

Hora de Muestreo (**) Clima (**) Muestreado por (**)

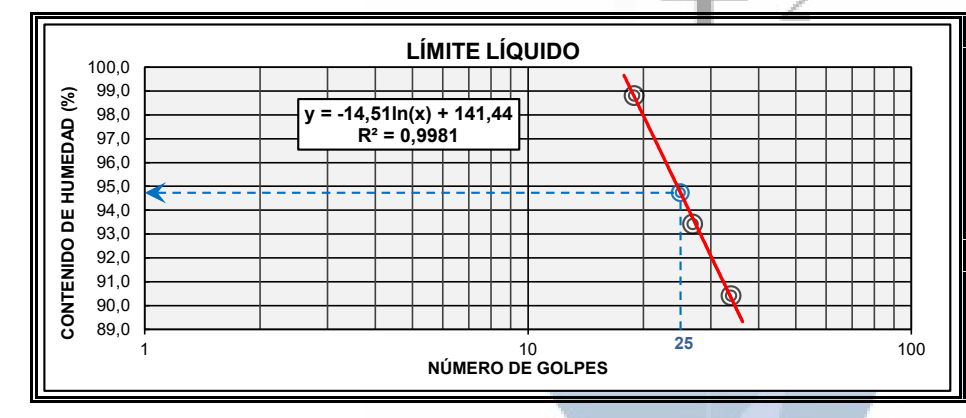
Fechas de Ejecución del Ensayo:

Inicio de Ensayo 2024-10-29 2024-10-31 Fin de Ensayo

Standard Test Methods for Liquid Limit, Plastic Limit, and Plasticity Index of Soils¹

Preparación del Espécimen de Ensayo:	Ranurador: Plástico Método de		e ensayo A		
Preparación Húmeda	Equipo para Límite Plástico:			Manual	
Tamizado por lavado en el tamiz No. 40	Equipo para Límite Liquido:			Mai	nual
Preparación con agua destilada	Clasificación SUCS (ASTM D2487-17 ⁶¹) (*):		CH - Fat clay		

LÍMITES DE CONSISTENCIA	LÍMITE LÍQUIDO			LÍMITE PLÁSTICO	
Tara No.	1	2	3	4	5
Masa de Tara (g)	27,30	36,67	36,48	27,72	27,92
Masa de Tara + Muestra Húmeda (g)	42,32	51,79	51,53	35,77	35,98
Masa de Tara + Muestra Seca (g)	35,19	44,49	44,05	33,58	33,77
Masa del Agua (g)	7,13	7,30	7,48	2,19	2,21
Masa de la Muestra Seca (g)	7,89	7,82	7,57	5,86	5,85
Humedad (%)	90,40	93,40	98,80	37,37	37,78
Número de Golpes	34	27	19	PROMEDIO	38



Límites de Consistencia				
LÍMITE LÍQUIDO (LL):	95			
LÍMITE PLÁSTICO (LP):	38			
ÍNDICE DE PLASTICIDAD (IP):	57			

Información Complementaria (***)					
Índice de Liquidez (IL):	0,11				
Índice de Compresión (Cc):	0,77				
Consistencia Relativa (CR):	0,89				

Observaciones:

Revisó y aprobó:

Ing. Adriana

NOTAS: (*) Los resultados obtenidos corresponden a métodos que no han sido acreditados por el INACAL - DA. (**) Los datos indicados han sido proporcionados por el cliente. (***) Los datos indicados no forman parte del alcance de Acreditación del Método de Ensayo (ASTM D4318).



CLASIFICACIÓN DE SUELOS (ASTM D 2487-17^{£1}) (*)

Código: Aprobación: LH-FOR-088 Fecha: 21/08/2023 Versión: 05 JL Página: 01 de 01

TESIS "NIVEL DE RIESGO SÍSMICO DE LA INFRAESTRUCTURA EDUCATIVA PRIMARIA Nº82020 PORCÓN BAJO, PROVINCIA Proyecto (**) CAJAMARCA-2024"

Ubicación (**) INSTITUCIÓN EDUCATIVA PRIMARIA N°82020-PORCÓN BAJO

Cliente Nilder Díaz Vásquez Material (**) MUESTRA ALTERADA

Procedencia (**) Calicata - Profundidad 2,40 - 3.00 m

Código de Muestra (**) C-01, E-05, Alterada

Código de Laboratorio

Condiciones Ambientales Temp.:

LH-B-M-2024-0530

Informe No. LH-B-INF-2024-344

Fecha de Muestreo (**) : 2024-10-28 2024-10-29 Fecha de Recepción :

Fecha de Ensayo

Fecha de Informe 2024-11-21

Standard Practice for Classification of Soils for Engineering Purposes (Unified Soil Classification System)¹ (*)

HR.

CARACTERISTICAS DE LA MUESTRA DE ENSAYO											
Tamaño máx.	de partícula:	3 in.	Diámetro Efectivo D ₆₀ (mm): 0,00			Límite Líquido (LL):			95		
Bloques (>300 mm):		_	Diámetro Efectivo D ₃₀ (mm):		0,00	N.	Límite Plástico (LP):		38		
Bolones (75 mm - 300 mm):		0.00%	Diámetro Efectivo D ₁₀ (mm):		0,00		Índice de Plasticidad (IP):		57		
Gravas (4.75 mm - 75 mm):		3,30%	Coeficiente de U		6749942.87 Índice de Liquidez (IL):		` '	0,11			
Arenas (0.075 mm - 4.75 mm):		10.30%	Coeficiente de C	. ,	0.04 Índice de Compresión (Cc):		0,77				
Limos y Arcillas (<0.075 mm):		86,4%	Error de ensayo	• ,	0,010% Consistencia Relativa (CR):		0,89				
Masa Muestra	` ′	7 125,00 g	z.re. de enedye	CLASIFICACION SUCS (ASTM D2487-17 ⁶¹) (*)							
Masa Seca In		4 933,00 g			OLAGII IC	JACION 300	03 (A31W D240	7-17)()			
Masa Seca III		4 933,00 g 667,90 g				СН-	- Fat clay				
TAMICES A.S.T.M.	ABERTURA (mm)	MASA RETENIDA (g)	% RTDO ACUM	% QUE PASA	CURVA DE DISTRIBUCIÓN GRANULOMÉTRICA						
3 in	75,000	0,00	0,0	100,0	100						
2 in	50,000	0,00	0,0	100,0	90			┿ ┤			
1 1/2 in	37,500	0,00	0,0	100,0						•	
1 in	25,000	48,00	1,0	99,0	80						
3/4 in	19,000	41,00	1,8	98,2	70	4					
1/2 in	12,500	30,00	2,4	97,6	PASA 60						
3/8 in	9,500	20,00	2,8	97,2	Land 10 10 10 10 10 10 10 1						
1/4 in	6,300	13,00	3,1	96,9	ಠ						
No. 4	4,750	8,00	3,3	96,7	o do 10 € 10 × 10 × 10 × 10 × 10 × 10 × 10 ×						
No. 10	2,000	26,00	3,8	96,2	30	-					
No. 20	0,850	43,99	4,7	95,3	20						
No. 40	0,425	85,83	6,4	93,6	10						
No. 60	0,250	111,79	8,7	91,3							
No. 140	0,106	185,99	12,5	87,5	0 10	0,00	10,00	1,00	0,	10	0,01
No. 200	0,075	52,55	13,6	86,4			DIÁMET	RO DE PART	ΓÍCULAS (n	nm)	
Cazoleta	-	1,26									

CLASIFICACIÓN						
NOMBRE ALTERNATIVO (NTP 339.134) (*)	A.A.S.H.T.O. (NTP 339.135 - ASTM D 3282) (*)					
CH - Arcilla de alta plasticidad	A-7-5 (58)	Suelo arcilloso				

Revisó y aprobó:

(*) Los resultados obtenidos corresponden a métodos que no han sido acreditados por el INACAL - DA.

(**) Los datos indicados han sido proporcionados por el cliente.

HNOS ERTEAGA CONTRATISTAS Ing. Adriana Y. Marin Diaz Rog. CIP. 262195 ESPECIALISTA DE CONCRETO Y MECANICA DE SUELOS



GRAVEDAD ESPECÍFICA DE SÓLIDOS (ASTM D854 - 23) (*)

Código: LH-FOR-087 8/01/2024 10 Aprobación: 01 de 01 Fecha: Versión: JL Página:

TESIS "NIVEL DE RIESGO SÍSMICO DE LA INFRAESTRUCTURA EDUCATIVA PRIMARIA N°82020 PORCÓN BAJO, PROVINCIA Proyecto (**)

CAJAMARCA-2024"

INSTITUCIÓN EDUCATIVA PRIMARIA Nº82020-PORCÓN BAJO Ubicación (**)

Cliente Nilder Díaz Vásquez Material (**) MUESTRA ALTERADA

Calicata - Profundidad 2,40 - 3.00 m Procedencia (**)

Código de Muestra (**) : C-01, E-05, Alterada Código de Laboratorio : LH-B-M-2024-0530

Ubicación de Muestreo (**):

Coordenadas (**) E: 767425.00 N: 9215678.00

Condiciones Ambientales : Inicial Final

> 18,21 °C Temperatura 22,39 °C HR 49,08 % 54,90 %

LH-B-INF-2024-344 Informe No. 2024-10-28 Fecha de Muestreo (**) : Fecha de Recepción 2024-10-29 2024-11-21 Fecha de Informe Técnico Encargado Jesús Pompa

Hora de Muestreo (**) Clima (**) Muestreado por (**)

Fechas de Ejecución del Ensayo:

Inicio de Ensayo 2024-10-30 2024-11-05 Fin de Ensayo

Standard Test Methods for Specific Gravity of Soil Solids by Water Pycnometer¹ (*)

Método de Ensayo Utilizado :		MÉTODO A		
Clasificación SUCS (ASTM D 2487-17 ^{£1}) (*)	:	CH - Fat clay		
% que pasa el tamiz No. 4 :		96,70 %		
Material excluido de la muestra de ensayo :		> No. 4	3,30 %	

GRAVEDAD ESPECÍFICA							
ESPECIMEN DE ENSAYO No.	E - 1	E - 2	E - 3				
No. Fiola	25	27	30				
Masa de la Muestra Seca (g)	64,65	64,77	64,81				
Masa de la Fiola (g)	199,68	197,73	207,38				
Masa de la Fiola + Agua + Muestra (g)	738,71	736,79	746,39				
Temperatura del Agua (°C)	18,9	18,9	18,9				
Masa Media Calibrada de la Fiola (g)	199,68	197,73	207,38				
Volumen Promedio Calibrado de la Fiola (g)	499,72	499,61	499,62				
Masa de la Fiola + Agua a temperatura de Ensayo (g)	698,61	696,55	706,21				
Densidad del Agua a temperatura de Ensayo (g/ml)	0,99843	0,99843	0,99843				
Factor "K"	1,00022	1,00022	1,00022				
Gravedad Específica (G _{20°C})	2,633	2,641	2,632				
Gravedad Específica Promedio (G _{promedio20°C})		2,64					

Revisó y aprobó:

(*) Los resultados obtenidos corresponden a métodos que no han sido acreditados por el INACAL - DA.

(**) Los datos indicados han sido proporcionados por el cliente.

HNOS PRTEAGA CONTRATISTAS Ung. Adriana Y. Marín Díaz Reg. CIP. 262195 ESPECIALISTA DE CONCRETO Y MECANICA DE SUELOS



PESO VOLUMÉTRICO DE SUELO COHESIVO NTP 339.139:1999 (revisada el 2014) (*)

Código: LH-FOR-120 Fecha: 21/08/2023 Versión: 04 Aprobación: JL Página: 01 de 01

Proyecto (**) : TESIS "NIVEL DE RIESGO SISMICO DE LA INCADA CALIBRA (**) : CAJAMARCA-2024"

Ubicación (**) : INSTITUCIÓN EDUCATIVA PRIMARIA N°82020-PORCÓN BAJO

Cliente : Nilder Díaz Vásquez

Material (**) : MUESTRA INALTERADA

Procedencia (**) : Calicata - Profundidad 2,40 - 3.00 m

Código de Muestra (**) : C-01, E-05, Inalterada
Código de Laboratorio : LH-B-M-2024-0531

Ubicación de Muestreo (**):

Coordenadas (**) : E: 767425,00 N: 9215678,00

Condiciones Ambientales :

Inicial Final ra 19,67 °C 20,09 °C

 Temperatura
 19,67 °C
 20,09 °C

 HR
 60,71 %
 51,99 %

Informe No. : LH-B-INF-2024-344

 Fecha de Muestreo (**)
 :
 2024-10-28

 Fecha de Recepción
 :
 2024-10-29

 Fecha de Informe
 :
 2024-11-21

 Técnico Encargado
 :
 Nilton Julcamoro

Hora de Muestreo (**) : Clima (**) : Muestreado por (**) : -

Fechas de Ejecución del Ensayo :

 Inicio de Ensayo
 :
 2024-10-30

 Fin de Ensayo
 :
 2024-10-31

SUELOS: Peso Volumétrico de Suelo Cohesivo (*)

Clasificación SUCS (ASTM D 2487 - 17) (*) : GP-GC - Poorly gradel gravel with clay and sand

CONTENIDO DE HUMEDAD						
ESPECIMEN DE ENSAYO No.		E - 1	E - 2	E - 3		
No. de Tara		R.M.F-02	R.M.F-03	R.M.F-04		
Masa de la Tara (g)	1.0	46,77	60,26	47,70		
Masa de la Tara + Muestra Húmeda (g)		264,41	368,06	292,43		
Masa de la Tara + Muestra Seca (g)	0	186,19	259,60	206,81		
Masa del Agua (g)		78,22	108,46	85,62		
Masa de la Muestra Seca (g)	R	139,42	199,34	159,11		
Contenido de Humedad (%)	ш	56,1	54,4	53,8		
RELACIONES MASA - VO	LUME	N				
ESPECIMEN DE ENSAYO No.		E - 1	E - 2	E - 3		
Masa de Muestra Húmeda (g)	1	219,48	310,25	249,26		
Masa de Muestra Húmeda + Parafina (g)		244,14	354,96	270,25		
Masa de Muestra Húmeda + Parafina - Sumergida en agua (g)		81,57	114,94	94,27		
Temperatura del Agua (°C)	(7	24,6	24,6	24,6		
Gravedad Espécifica de Sólidos (ASTM D854)		2,64	2,64	2,64		
Factor "K"	7	0,99895	0,99895	0,99895		
Masa de Muestra Seca (g)		140,60	200,94	162,07		
Peso de la Parafina (g)		24,66	44,71	20,99		
Volumen de Suelo + Parafina (cm³)		162,40	239,77	175,79		
Volumen de Parafina (cm³)		27,49	49,84	23,40		
Volumen de Muestra - V (cm³)		134,91	189,93	152,39		
Volumen de Sólidos - Vs (cm³)		53,26	76,11	61,39		
Densidad Aparente Húmeda (g/cm³)		1,627	1,633	1,636		
Densidad Aparente Seca (g/cm³)		1,042	1,058	1,064		
Relación de Vacios - e		1,533	1,495	1,482		
Porosidad - n (%)		60,523	59,926	59,716		
Densidad Aparente Húmeda Promedio (g/cm³)			1,632			
Densidad Aparente Seca Promedio (g/cm³)	1,055					
Relación de Vacios Promedio - e		1,504				
Porosidad Promedio (%)			60,055			

Densidad de la Parafina: 0,897 g/cm3

Revisó y aprobó:

(*) Los métodos indicados no han sido acreditados por el INACAL - DA.

(**) Los datos indicados han sido proporcionados por el cliente.

HNOS ARTEAGA CONTRATISTAS SRI.

Ung. Adriana Y. Marin Diaz
Rog. CIP. 282195
ESPECIALISTA DE CONCRETO Y
MECANICA DE SUELOS



ENSAYO DE CORTE DIRECTO (ASTM D3080/D3080M - 23) (*)

 Código
 : LH-FOR-093
 Fecha
 : 31/01/2024
 Versión
 : 07
 Aprobación
 : JL
 Página
 : 01 de 02

Proyecto (**) : TESIS "NIVEL DE RIESGO SÍSMICO DE LA INFRAESTRUCTURA EDUCATIVA PRIMARIA N°82020 PORCÓN BAJO, PROVINCIA

CAJAMARCA-2024"

Ubicación (**) : INSTITUCIÓN EDUCATIVA PRIMARIA N°82020-PORCÓN BAJO

Cliente : Nilder Díaz Vásquez

Material (**) : MUESTRA INALTERADA

Procedencia (**) : Calicata - Profundidad 2,40 - 3.00 m

Código de Muestra (**) : C-01, E-05, Inalterada

Código de Laboratorio : LH-B-M-2024-0531

Ubicación de Muestreo (**):

Coordenadas (**) : E: 767425,00 N: 9215678,00

Condiciones Ambientales : Inicial

 Initial
 Final

 Temperatura
 23,86 °C
 18,52 °C

 HR
 43,26 %
 53,93 %

Informe No. : LH-B-INF-2024-344

Fecha de Muestreo (**) : 2024-10-28

 Fecha de Muestreo (**) :
 2024-10-28

 Fecha de Recepción :
 2024-10-29

 Fecha de Informe :
 2024-11-21

Nilton Julcamoro

Hora de Muestreo (**) : Clima (**) : -

Fechas de Ejecución del Ensayo :

Técnico Encargado

Muestreado por (**)

 Inicio de Ensayo
 :
 2024-11-04

 Fin de Ensayo
 :
 2024-11-06

Standard Test Method for Direct Shear Test of Soils Under Consolidated Drained Conditions (*)

DATOS GENERALES								
Sondaje No. /Calicata No. / Estrato No. Calicata - Profundidad 2,40 - 3,00 n Muestra No. / Profundidad (m) -								
Masa del Anillo (g)	119,69	Símbolo de Grupo SUCS	c - Poorly gradel gravel with clay an					
Altura del Anillo (mm)	21,06	Estado de la Muestra	Muestra Inalterada					
Diámetro del Anillo (mm)	50,84	Condición de Ensayo	Consolidado - Drenado					
Área del Anillo (cm²)	20,30	Condición de la estructura del suelo	Alterado					
Volumen del Anillo (cm³)	42,75	Velocidad de Ensayo	0,15 mm/min					

	CORTE I	DIRECTO							
ESPÉCIMEN No.	ESPÉCII	ESPÉCIMEN - 01		MEN - 02	ESPÉCIMEN - 03				
ESFUERZO NORMAL	0,50	0,50 kg/cm ²		1,00 kg/cm ²		1,50 kg/cm ²			
DESCRIPCIÓN	INICIAL	FINAL	INICIAL	FINAL	INICIAL	FINAL			
CONTENIDO DE HUMEDAD									
No. de Tara	1	2	3	4	5	11			
Masa de la Tara (g)	27,30	36,66	36,46	27,72	27,92	37,18			
Masa de Tara + Muestra Húmeda (g)	133,09	105,18	150,48	96,85	126,24	105,11			
Masa de Tara + Muestra Seca (g)	94,23	79,07	109,60	71,46	90,68	80,98			
Masa del Agua (g)	38,86	26,11	40,88	25,39	35,56	24,13			
Masa de Muestra Seca (g)	66,93	42,41	73,14	43,74	62,76	43,80			
Humedad (%)	58,1	61,6	55,9	58,0	56,7	55,1			
	DENSI	DADES							
Altura del Espécimen (mm)	21,06	19,68	21,06	19,47	21,06	18,76			
Masa del Molde + Muestra (g)	186,97	188,21	187,99	188,82	187,50	187,62			
Masa de Tara + Muestra Húmeda (g)	67,28	68,52	68,30	69,13	67,81	67,93			
Masa de Tara + Muestra Seca (g)	42,56	42,40	43,81	43,75	43,27	43,80			
Densidad Húmeda (g/cm³)	1,57	1,72	1,60	1,75	1,59	1,78			
Densidad Seca (g/cm³)	1,00	1,06	1,02	1,11	1,01	1,15			
	DEFORM	ACIONES							
Deformación (mm)	-1,:	-1,379 -1,595			-2,	303			
RELACIO	NES FUNDAMENTALE	S DEL ESPÈCI	MEN DE ENSA	YO					
Altura inicial de la muestra (H ₁) (mm)	21	,06	21	,06	21	,06			
Gravedad específica de sólidos (Gs):	2,6	640	2,640		2,640				
Volumen de Sólidos (Vs) (cm³)	25	25,95		26,19		25,73			
Altura sólidos (Hs) (mm)	12	12,79		12,90		12,68			
Altura Inicial de Vacios (Hv) (mm)	8,	8,28		8,16		8,39			
Variación en la altura de la muestra (ΔH) (mm)	-1,	-1,38		-1,60		-2,30			
Altura final de la muestra ($H_2 = H_1 - \Delta H$) (mm)	22	22,44		22,66		23,36			
Altura inicial del agua (H _{W1}) (mm)	19	19,61		19,04		18,97			
Altura final del agua (H _{W2}) (mm)	20,79		19,75		18,44				
Relación de vacíos inicial (e ₀):	0,6	0,647		0,633		0,662			
Relación de vacíos final (e _f):	0,755		0,756		0,843				
Grado de saturación inicial (G _{W1}) (%)	236	236,98		233,26		226,27			
Grado de saturación final (G _{W2}) (%)	215	215,36		202,45		172,51			
Deformación Unitaria Axial (ε) (%)	-6	-6,55		HNOS PRTEAGA FOR		124 STAS SRL -10,94			
Revisó y Aprobó:									

Revisó y Aprobó:

Ing. Adriana Y. Marin Diaz Reg. CIP. 262195 ESPECIALISTA DE CONCRETO Y MECANICA DE SUELOS



ENSAYO DE CORTE DIRECTO (ASTM D3080/D3080M - 23) (*)

 Código
 : LH-FOR-093
 Fecha
 : 31/01/2024
 Versión
 : 07
 Aprobación
 : JL
 Página
 : 02 de 02

						L/1				
		С	ONSOLIDACIÓ	N				CORTE		
	Espécii	men No.	ESP 01	ESP 02	ESP 03	Espécir	men No.	ESP 01	ESP 02	ESP 03
	Esfuerzo	Normal	0,5 kg/cm ²	1,0 kg/cm ²	1,50 kg/cm ²	Esfuerzo	Normal	0,5 kg/cm ²	1,0 kg/cm ²	1,50 kg/cm ²
	TIEM	PO (t)	DEFC	RMACIÓN VERT		Deformación	Deformación		FUERSO DE COF	RTE
М	nutos	Raiz de (t)	52. 0	(mm)	IOAL	Horizontal (%)	Horizontal		(kg/cm²)	
		, ,	2.222	, ,	0.000		(mm)	0.00		
_	0,00	0,00	0,000	0,000	0,000	0,0	0,00	0,00	0,00	0,00
_	0,07	0,26	-0,659	-0,957	-1,347	0,2	0,10	0,03	0,02	0,10
	0,25	0,50	-0,794	-1,200	-1,591	0,4	0,20	0,05	0,12	0,15
	0,57	0,75	-0,818	-1,230	-1,621	0,6	0,31	0,07	0,18	0,21
	1,00	1,00	-0,834	-1,249	-1,644	0,8	0,41	0,09	0,24	0,28
	1,57	1,25	-0,846	-1,261	-1,664	1,0	0,51	0,13	0,28	0,34
	2,25	1,50	-0,853	-1,274	-1,682	1,2	0,61	0,18	0,33	0,40
	3,07	1,75	-0,862	-1,280	-1,696	1,6	0,81	0,23	0,39	0,47
	4,00	2,00	-0,867	-1,287	-1,711	2,0	1,02	0,28	0,44	0,50
	6,25	2,50	-0,878	-1,300	-1,737	2,4	1,22	0,31	0,46	0,54
	9,00	3,00	-0,886	-1,308	-1,756	2,8	1,42	0,31	0,47	0,57
1	6,00	4,00	-0,899	-1,329	-1,781	3,2	1,63	0,32	0,48	0,59
	5,00	5,00	-0,910	-1,336	-1,813	3,6	1,83	0,33	0,49	0,60
	6,00	6,00	-0,916	-1,347	-1,828	4,0	2,03	0,33	0,50	0,60
	9,00	7,00	-0,922	-1,353	-1,841	4,4	2,24	0,34	0,50	0,60
	4,00	8,00	-0,928	-1,358	-1,857	4,8	2,44	0,35	0,50	0,59
	1,00	9,00	-0,929	-1,358	-1,858	5,2	2,64	0,36	0,50	0,59
_	00,00	10,00	-0,929	-1,359	-1,860	5,6	2,85	0,36	0,50	0,59
	•	·	· ·			6,0	3,05	0,35	0,50	0,59
Ħ	44,00	12,00	-0,930	-1,360	-1,861		3,05	0,35	0,51	0,59
		AIZ DE TIEMPO	vs DEFORMACIÓ	N VERTICAL		6,4		-		
	-2,00					6,8	3,46	0,35	0,51	0,59
	-1,80		+			7,2	3,66	0,35	0,50	0,59
Ē	-1,60	10000	+			7,6	3,86	0,35	0,51	0,58
Deformacion Vertical (mm)	-1,40					8,0	4,07	0,35	0,50	0,58
ical	-1,20					8,4	4,27	0,36	0,50	0,57
ert	-1,00					8,8	4,47	0,36	0,50	0,57
٦	-0,80		• •			9,2	4,68	0,35	0,50	0,56
acic	-0,60					9,6	4,88	0,36	0,49	0,55
Ĕ						10,0	5,08	0,36	0,49	0,54
efe	-0,40					11,0	5,59	0,35	0,47	0,53
	-0,20					12,0	6,10	0,35	0,45	0,51
	0,00	2,0	4,0 6,0	8,0 10	0,0 12,0	13,0	6,61	0,35	0,44	0,50
	0,0		z del tiempo	0,0	.,,,	14,0	7,12	0,35	0,44	0,47
	_	0,50 kg/cm2	1,00 kg/cm2	1,50 kg/cn	n2	15,0	7,63	0,33	0,42	0,46
					GRA	FICAS				
					1	Espécir	nen No.	ESP 01	ESP 02	ESP 03
	D	EFORMACIÓN	TANGENCIAL '	vs ESFUERZO	DE	Esfuerzo Nor	mal (kg/cm²)	0,50	1,00	1,50
			CORTE			Esfuerzo de C	orte (kg/cm²)	0,36	0,51	0,60
	0,70									
[]	0,60					ES	FUERZO NOR	MAL vs ESFUE	ERZO DE CORT	E
l l	0,00	a particular de la constantina della constantina	4	···		0,70				_
इ	0,50		• • • • • • • • • • • • • • • • • • • •	•		0,60				
¥		P grand				0,50				
၂၂ ၀	0,40	17				0,40 0,30	-			
§	0,30	99	-			(kg/ 0,30				
Esfuerzo de Corte (kg/cm²)	5,50	17 /				Estrerzo de Corte (kg/cm²) (kg				
l l š	0,20					0,00 L				
^{ਘੱ}		4				0,0	0,50	1,00	1,50	2,00
	0,10	*					Est	uerzo Normal ((ka/cm²)	
	0,00								. J /	
	0,00		5 eformación Horiz	10	15			RESULTADOS		
					om?	Ángulo de fr	icción Interno	Ø (°)		13,50
		0,50 kg/cm2	i,uu kg/cm2	2 — 1,50 kg/s	UIIIZ	Cohesión c		/		0,250
						Cohesión c			-	2,500
					Davis a A		(VIII) HNOS:	WRITEAGA ONT DAT	ISTAS SRL.	2,000
	Reviso y Aprobó: HNOS VIRTEAGO CONTRATISTAS SRL.									

 $(\sp{*})$ Los métodos indicados no han sido acreditados por el INACAL - DA.

(**) Los datos indicados han sido proporcionados por el cliente.



CÁLCULO DE CAPACIDAD PORTANTE Y ASENTAMIENTOS EN CIMENTACIONES

Código: LH-FOR-216 Fecha: 1/04/2024 Versión: 01 Aprobación: GG

CAPACIDAD PORTANTE PARA CARGAS ESTATICAS SIN INCLUIR SISMO

4 DATES DE ENTRADA	
1. DATOS DE ENTRADA	
Cliente (*)	Nilder Díaz Vásquez
Proyecto (*)	TESIS: "Nivel de Riesgo Sísmico de la Infraestructura Educativa Primaria No.82020 Porcón Bajo, Provincia Cajamarca - 2024"
Ubicación (*)	Institución Educativa Primaria No.82020 - Porcón Bajo
Tipo de Cimentación (*)	Zapata corrida
Clasificación SUCS	CH - Arcilla de alta plasticidad

2. CAPACIDAD PORTANTE	Suelo	Mixto	Suelo	cohesivo	
Cohesión efectiva (c ['])	0,250	kg/cm²	0,250) kg/cm²	
Ángulo de fricción interna (ф)	13,50°		0,00°		
Peso específico del suelo	Yhum. = 1,632 gr/cm³				
reso especifico del suelo		Yseco = 1,0	055 gr/cm³		
Profundidad de la cimentación (D _f) (*)		230,0	cm		
Carga (*) Q =		65,80	00 t		
Momento M =		0,000	t.m		
Excentricidad		0,000) m		
	B =	250,0 cm	B =	250,0 cm	
Dimensiones del cimiento	L=	400,0 cm	L =	400,0 cm	
Distribución de presiones					
$q_{max} = rac{Q}{BL} igg(1 + rac{6e}{B} igg)$ B y L según orient. excentr.			0,658 kg/cm²		
$q_{min} = rac{Q}{BL}igg(1-rac{6e}{B}igg)$ B y L según orient. excentr.	0,658 kg/cm²		0,658 kg/cm²		
Para e < B/6 ó e > B/6	e < B/6		e < B/6		
q _{max.aplicada} =	0,658 kg/cm²		0,658 kg/cm²		
Presión neta aplicada q _{neta.aplic}	0,66 kg/cm ² 0,66 kg/cn		kg/cm²		
álculo de Capacidad de Carga Última - Método del	Área Efectiva (Meyer	rhof 1953)			
Relación Df/B	0,920		0,920		
Relacion DI/B	Df/B ≤ 1		Df/B ≤ 1		
	c' =0,250 kg/cm²		c' =0,250 kg/cm²		
	ф = 13,50°		ф = 0,00°		
Datos	Y = 0,0016	532 kg/cm³	Y = 0,001632 kg/cm ³		
	$\beta = 0$	0,00°	β =	: 0,00°	
	q = 0,37	5 kg/cm²	q = 0,3	75 kg/cm² Especiali	



CÁLCULO DE CAPACIDAD PORTANTE Y ASENTAMIENTOS EN CIMENTACIONES

				ı		
Código: LH-FOR-216	Fecha:	1/04/2024	Versión: 01	Aprobación:	GG	

$q'_u = c'_u$	Capacidad de Carg $N_cF_{cs}F_{cd}F_{ci}+qN_qF_{qs}F_{ci}$, m	$_{'d}F_{\gamma i}$	
	N _q =	3,42	N _q =	1,00
Factores de Capacidad de Carga	N _c =	10,08	N _c =	5,14
	N _Y =	2,12	N _Y =	0,00
	F _{cs} =	1,21	F _{cs} =	1,12
Factores de forma	F _{qs} =	1,15	F _{qs} =	1,00
	F _{Ys} =	0,75	F _{Ys} =	0,75
	F _{cd} =	1,37	F _{cd} =	1,37
Factores de profundidad	F _{qd} =	1,26	F _{qd} =	1,00
	F _{Yd} =	1,00	F _{Yd} =	1,00
	F _{ci} =	1,00	F _{ci} =	1,00
Factores de inclinación de carga	F _{qi} =	1,00	F _{qi} =	1,00
	F _{Yi} =	1,00	F _{Yi} =	1,00
q'u	6,36 kg/cm²		2,35 k	g/cm²
q _{net.ult} .	5,99 kg/cm²		1,97 kg/cm²	
q _{neta.perm}	2,00 kg/cm²		0,66 kg/cm ²	







Considerando lo especificado en la norma de suelos NTE 050, para suelos cohesivos, la fricción debe tomarse igual a cero; por lo que la capacidad portante neta admisible del terreno es igual a 0.66 kg/cm².

(*) Datos proporcionados por el cliente.

ANEXO 04: METRADO DE CARGAS

A. METRADO DE CARGAS (ETABS V.19.1) BLOQUE "A"

A. Cargas en Losas Aligeradas

a) Techo N°01

1.1 Carga Muerta

1.1.1 Ladrillo del Aligerado e=0.25 cm (Losa Aligerada 350 Kg/m2)

Eje	W (Losa Aligerad)	W(Concreto)	W (Ladrillo
A-B	350	216	134 Kg/m2
B-C	350	216	134 Kg/m2
C-D	350	216	134 Kg/m2
1 1 2 D' T	1.		

1.1.2 Piso Terminado

Eje	W(E.20)		
A-B	100	Kg/m2	
B-C	100	Kg/m2	
C-D	100	Kg/m2	

1.2 Carga Viva

1.2.1 Sobre Carga

Eje	Tramo	Ambiente	Descripción E.20	W ()	E.20)
A-C	1-3	Aula Innova	Laboratorios	300	Kg/m2
A-C	3-5	Aula	Aulas	250	Kg/m2
A-C	5-7	Aula	Aulas	250	Kg/m2
C-D	1-7	Circulación	Corredores	400	Kg/m2

b) Techo N°02 (Dos Aguas)

2.1 Carga Muerta

1.1.1 Ladrillo del Aligerado

Eje	W (Losa Aligerad)	W(Concreto)	W(Ladrillo
A-B	350	216	134 Kg/m2
В-С	350	216	134 Kg/m2
C-D	350	216	134 Kg/m2
Volados	351	216	135 Kg/m3

1.1.1 Cobertura de (Teja andina)

Eje	W (E.20)		
A-B	30	Kg/m2	
B-C	30	Kg/m2	
C-D	30	Kg/m2	
Volados	30	Kg/m1	

2.2 Carga Viva

1.2.1 Sobre Carga en Techo (dos aguas)

Eje	W	(E.20)
Volados	50	Kg/m1
A-B	50	Kg/m2
B-C	50	Kg/m2
C-D	50	Kg/m2

B. Tabiques

2.1 Carga Muerta

Eje	Tramo	Altura (m)	Ancho (m)	Peso (kg/m3)	W(Kg/m)
A-A	1-7	1.1	0.15	1800	297
C-C	1-7	1.65	0.15	1800	446
D-D	1-7	1.05	0.15	1800	284
1-1	C-D	1.05	0.15	1800	284
7-7	C-D	1.05	0.15	1800	284

B. METRADO DE CARGAS (ETABS V.22.3) BLOQUE "B"

A. Cargas en Losas Aligeradas

a) Techo N°01

1.1 Carga Muerta

1.1.1 Ladrillo del Aligerado e=0.25 cm (Losa Aligerada 350 Kg/m2)

Eje	W (Losa Aligerad)	W(Concreto)	W(Ladrillo
A-B	350	216	134 Kg/m2
B-C	350	216	134 Kg/m2
C-D	350	216	134 Kg/m2

1.1.2 Piso Terminado

Eje	W	(E.20)
A-B	100	Kg/m2
B-C	100	Kg/m2
C-D	100	Kg/m2

1.2 Carga Viva

1.2.1 Sobre Carga

Eje	Tramo	Ambiente	Descripción E.20	W (l	E.20)
A-C	1-3	Biblioteca	Laboratorios	300	Kg/m2
A-C	3-5	Aula	Aulas	250	Kg/m3
A-C	5-7	Aula	Aulas	250	Kg/m4
C-D	1-7	Circulación	Corredores	400	Kg/m5

b) Techo $N^{\circ}02$ (Dos Aguas)

2.1 Carga Muerta

2.1.1 Ladrillo del Aligerado

Eje	W (Losa Aligerad)	W(Concreto)	W(Ladrillo
A-B	350	216	134 Kg/m2
В-С	350	216	134 Kg/m2
C-D	350	216	134 Kg/m2
Volados	351	216	135 Kg/m3

2.1.2 Cobertura de (Teja andina)

	()	/
Eje	W	(E.20)
Volados	30	Kg/m1
A-B	30	Kg/m2
В-С	30	Kg/m2
C-D	30	Kg/m2

2.2 Carga Viva

2.2.1 Sobre Carga en Techo (dos aguas)

Eje	W	(E.20)				
Volados	50	Kg/m2				
A-B	50	Kg/m2				
B-C	50	Kg/m2				
C-D	50	Kg/m2				

B. Tabiques

2.1 Carga Muerta

Eje	Tramo	Altura (m)	Ancho (m)	Peso (kg/m3)	W(Kg/m)
A-A	1-7	1.1	0.15	1800	297
C-C	1-7	1.65	0.15	1800	446
D-D	1-7	1.05	0.15	1800	284
1-1	C-D	1.05	0.15	1800	284
7-7	C-D	1.05	0.15	1800	284

ANEXO 05: MODELAMIENTO ESTRUCTURAL DE LOS BLOQUES A Y B.

1.0 Consideraciones

1.1 Bloques "A" y Bloque "B"

- Columna Según lo

- Vigas establecido en

- Losa - los planos

1.2 Concreto

-	Resistencia a compresión den concreto:	225	Kg/cm2	Ensayos de esclerometría
-	Módulo de elasticidad del concreto	217370.65	Kg/cm2	E-060
-	Poison	0.15		E-060
-	Peso Específico del Concreto	2400.00	Kg/m3	E-020
1.3	Acero			
-	Módulo de elasticidad del acero	2000000	Kg/cm2	E-060
_	Esfuerzo a la fluencia del acero	4200	Kg/cm2	E-060

2.0 Parámetros del Modelamiento

	Parámetro	Magnitud	Descripción	Reglamento u Otro
Z	Factor de Zona	0.25	Distrito, Provincia, Cajamarca	E-030
U	Factor de Uso	1.50	Para la categoría A2 (edificaciones esenciales)	E-030
S	Factor de suelo	1.40	Para suelos del tipo flexible (Tipo S3)	Est. Mec. Suelos
C	Factor de amplificación sísmica	2.5 (Tp/T)	Ampliación de la respuesta estructural respecto a la aceleración del suelo.	E-030
Tp	Periodo		Depende del factor S	E-030
Rx	Coeficiente básico de reducción de fuerzas	6.00	Concreto Armado: muros estructurales	E-030
Ry	sísmica	3.00	albañilería confinada	E-030
Sa	Aceleración espectral	ZUCSg/R	Define el espectro de pseudoaceleración	E-030

3.0 Definición de materiales y creación de elementos en etabs.

Figura 5.1

Creación de propiedades del concreto

Material Property Data			× Material Property Design Data	l	
General Data Material Name Material Type Directional Symmetry Type Material Display Color Material Notes Material Weight and Mass Specify Weight Density Weight per Unit Volume Mass per Unit Volume	Concreto F'c=220 Kg/cm2 Concrete Isotropic Change Modify/Show Notes Specify Mass Density 0.0024	kgf/cm³	Material Name and Type Material Name Material Type Grade Design Properties for Concrete Materials Specified Concrete Compressive Strength, f	Concreto F'c=220 P Concrete, Isotropic 220	
Mechanical Property Data Modulus of Elasticity, E Poisson's Ratio, U Coefficient of Thermal Expansion, A Shear Modulus, G	217370.65 0.15 0.0000055 94508.98	kgf/cm² 1/F kgf/cm²	ОК	Cancel	

Figura 5.2Creación de propiedades del acero

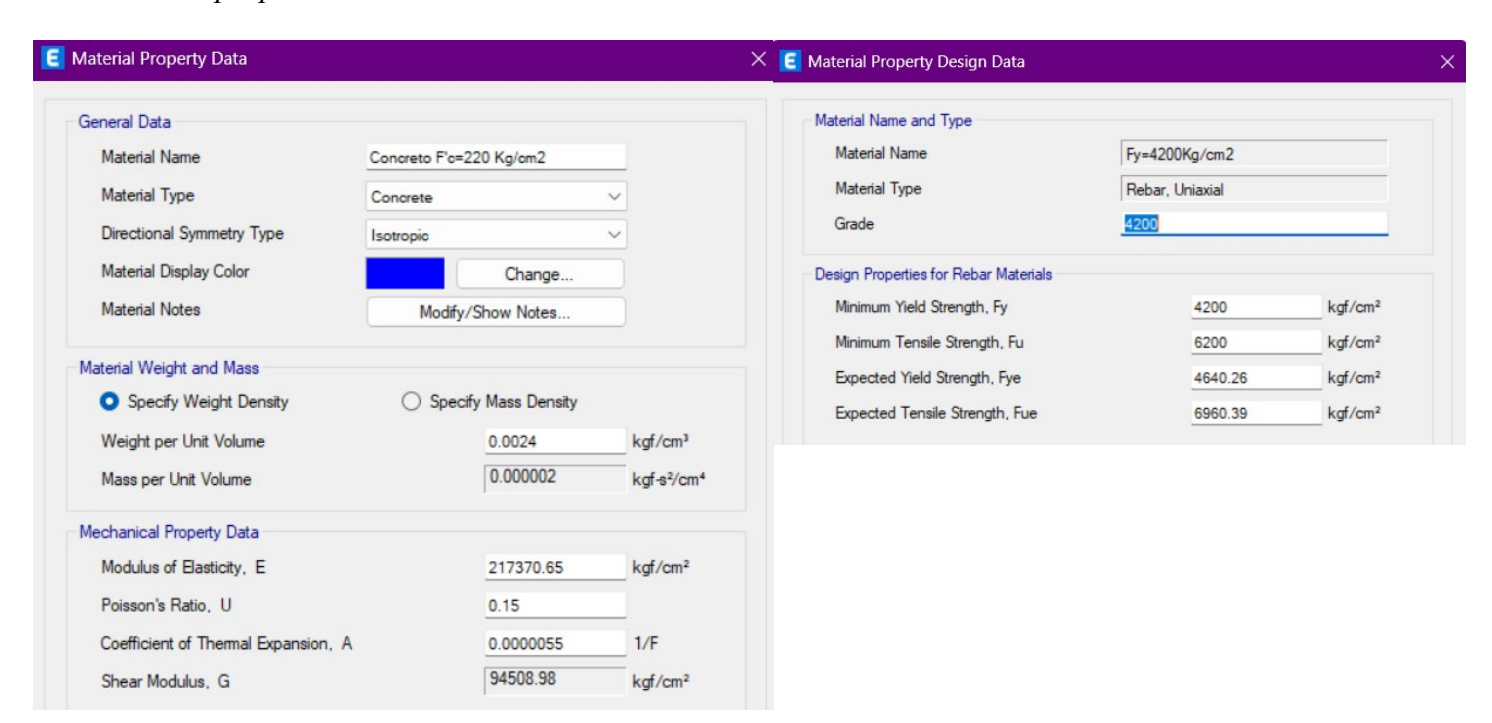


Figura 5.3Creación de propiedades de la albañileria

E Material Property Data				X E Material Property Design	n Data		
General Data				Material Name and Type			
Material Name	reAlbañileria			Material Name		reAlbañileria	
Material Type	Masonry		~	Material Type		Masonry, Isotropic	
Directional Symmetry Type	Isotropic		V	Grade		Albañileria	
Material Display Color		Change		Design Properties for Cond	crete Materials		
Material Notes	Modify	/Show Notes	5	Specified Compressive	Strength, f'm	45	kgf/cm²
Material Weight and Mass							
 Specify Weight Density 	○ Spec	ify Mass Density					
Weight per Unit Volume		0.0018	kgf/cm³				
Mass per Unit Volume		0.000002	kgf-s²/cm ⁴				
Mechanical Property Data							
Modulus of Elasticity, E		32500	kgf/cm²				
Poisson's Ratio, U		0.25					
Coefficient of Thermal Expansion, A		0.0000045	1/F				
Shear Modulus, G		13000	kgf/cm²				

Figura 5.4Definición de la sección de placas

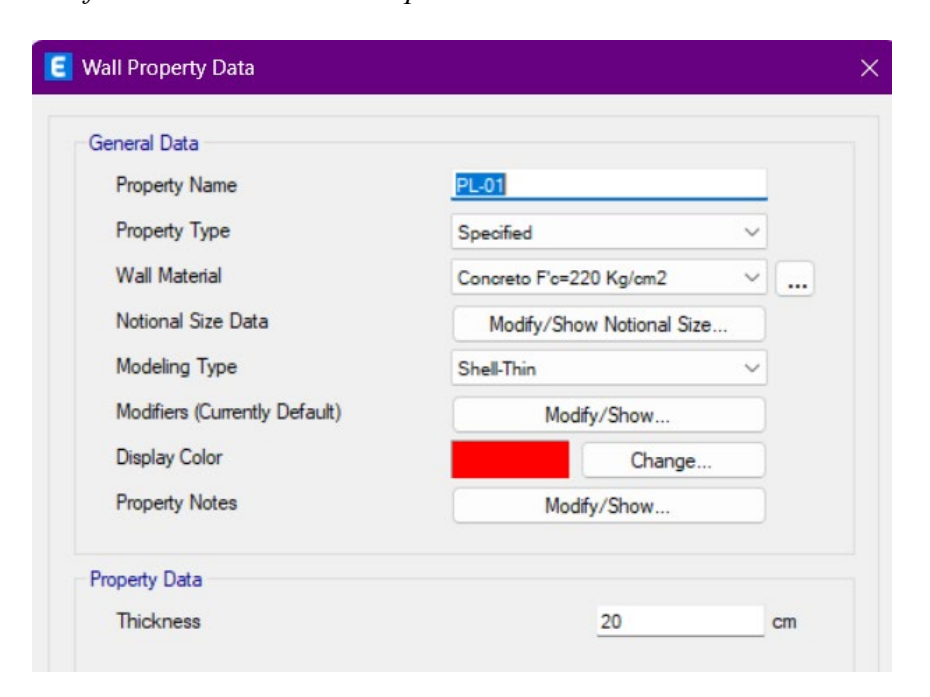


Figura 5.5Definición de la sección de columnas

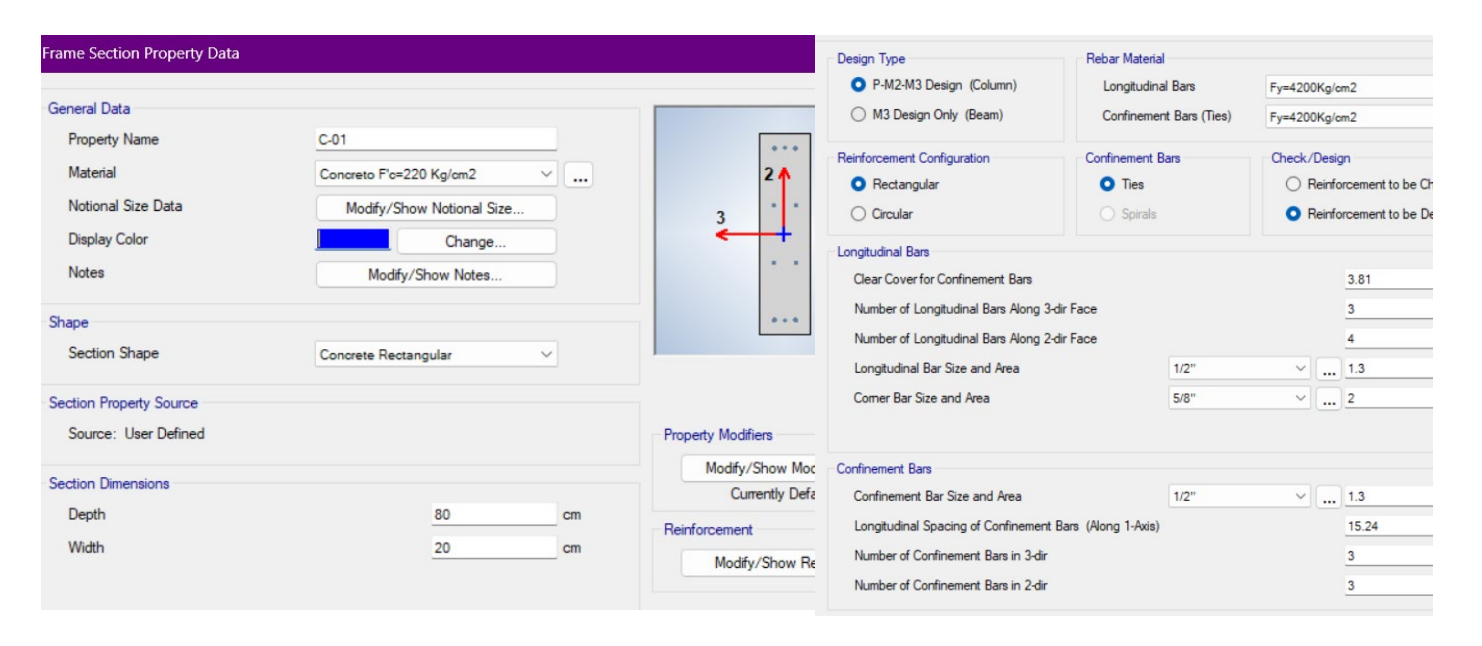


Figura 5.6Definición de la sección de vigas

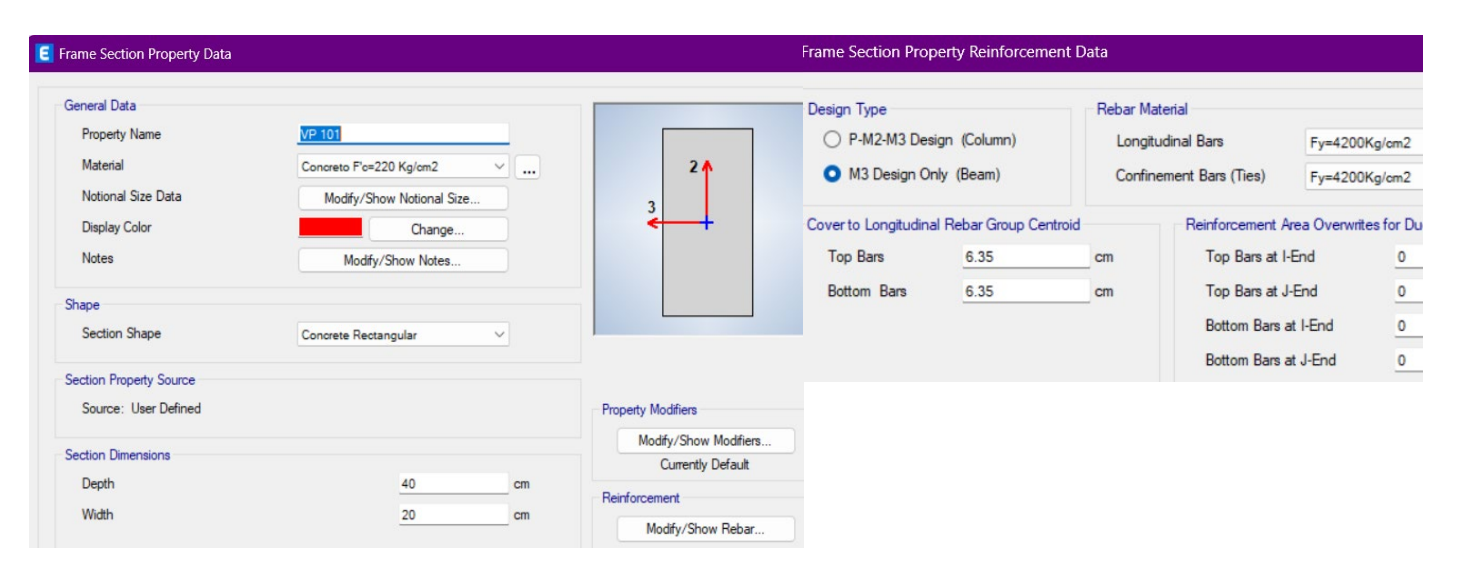


Figura 5.7

Definición de la sección de losa aligerada y generación del modelo respectivamente.

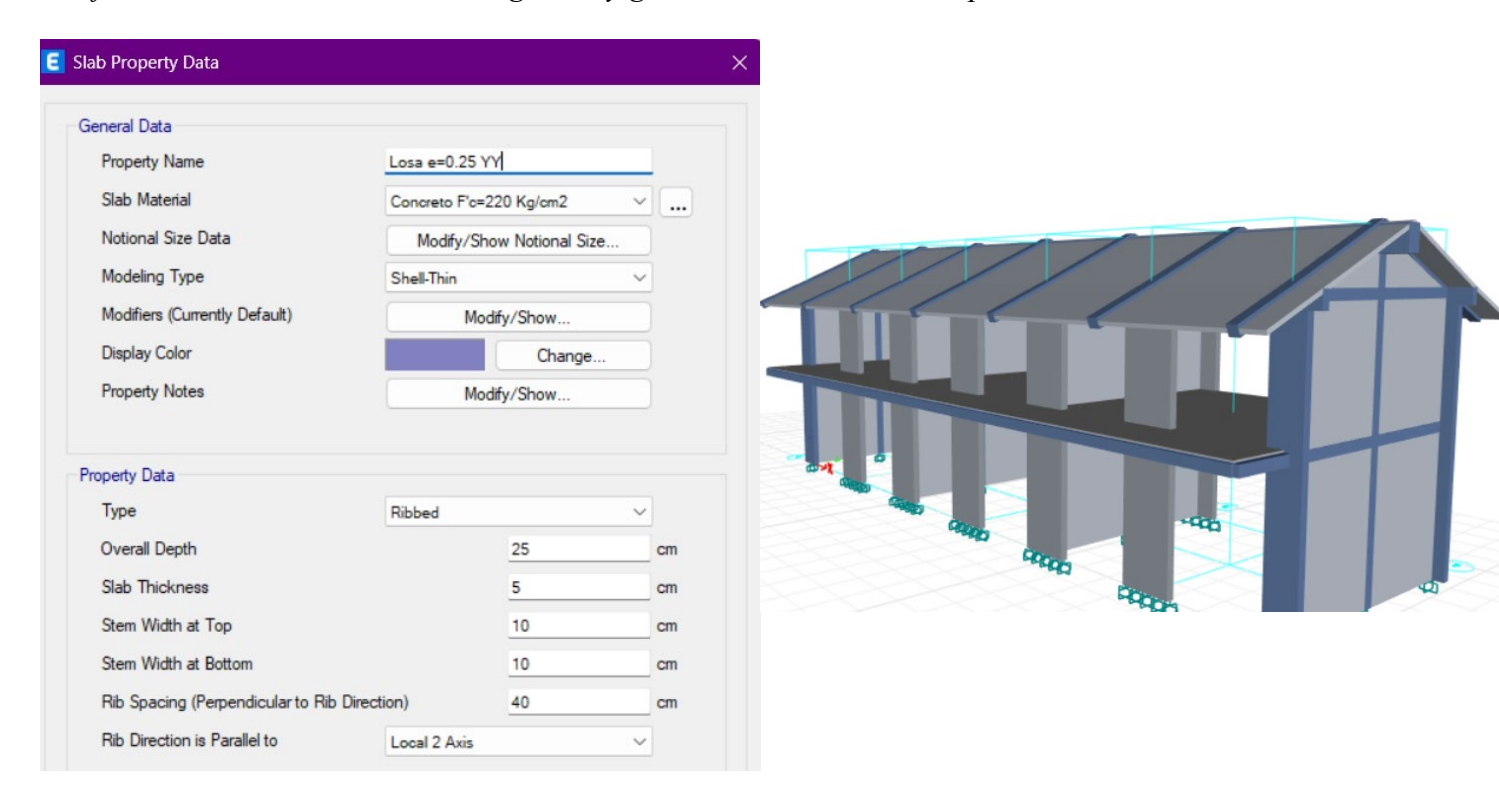


Figura 5.8

Creación de patrones de carga

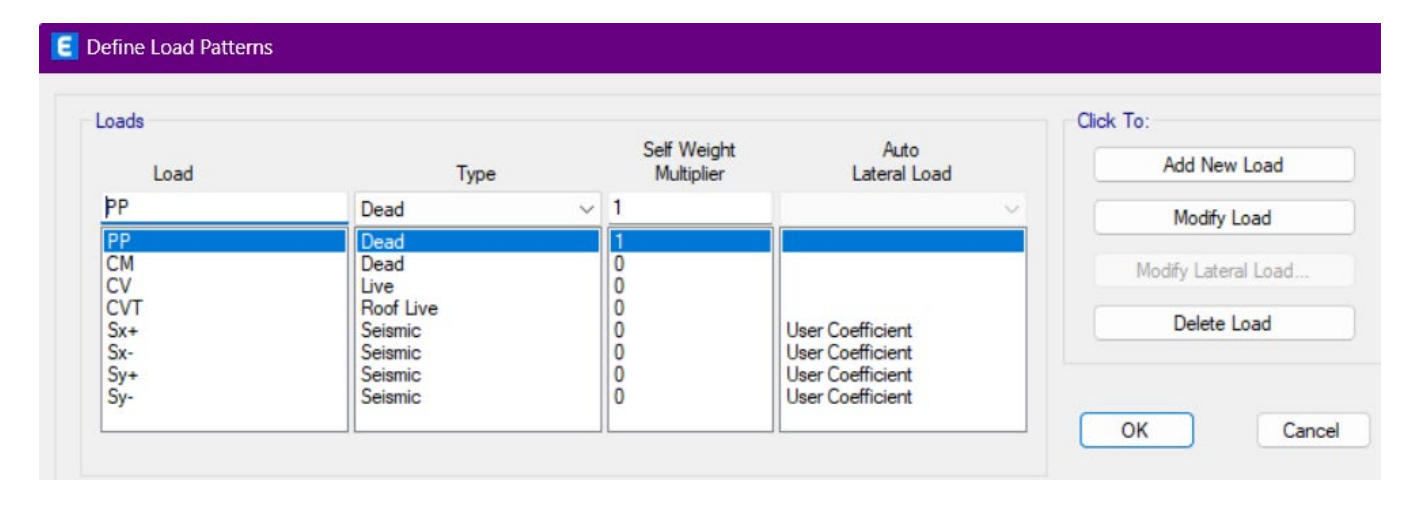
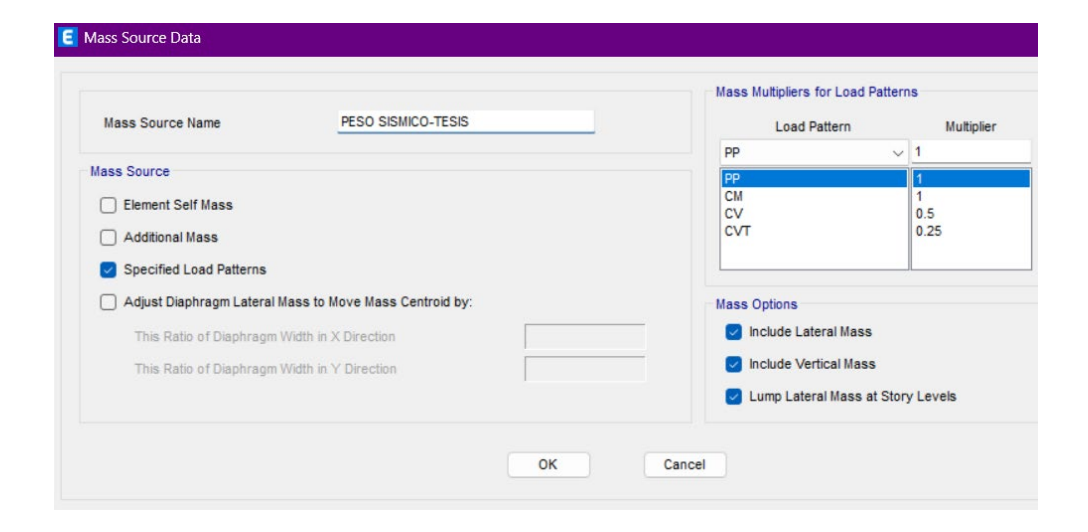


Figura 5.9Definición del peso sísmico



4.0 Calculo de las Cortantes Estáticas.

✓ Datos

Parámetros

Parámetros Sísmicos:	
Z:	0.35
U:	1.50
S:	1.20
Tp:	1.00
T1:	1.60
Ia:	1
Ip:	1

o Coeficiente de reducción para ambas direcciones

Rox:	6.00	Roy:	3.00
Rx:	6	Ry:	3

- o valor del factor exponencial de distribución K, dependiendo del periodo fundamental, T, del edificio el factor K es igual a
 - a) Para T menor o igual a 0,5 segundos: k = 1,0.
 - b) Para T mayor que 0,5 segundos: $k = (0.75 + 0.5 \text{ T}) \le 2.0$.

✓ Parámetro C.

$$T < T_P$$

$$T_P < T < T_L$$

$$C = 2.5$$

$$C = 2.5 \cdot \left(\frac{T_P}{T}\right)$$

$$T > T_L$$

$$C = 2.5 \cdot \left(\frac{T_P \cdot T_L}{T^2}\right)$$

✓ Resultados del análisis estático

Direccion xx				
Tx:	0.194			
Cx:	2.50			
Cx/Rx:	0.416667	>0.125		
ZUCS/Rx:	0.2625	C (Etbas)		
Vestx:	94.88	tn		
k	1			

Direccion yy				
Ty:	0.105			
Cy:	2.50			
Cy/Ry:	0.833333333	>0.125		
ZUCS/Ry:	0.525	C (Etbas)		
Vesty:	189.76	tn		
k	1			

Figura 5.10

Cortante estática dirección X-X

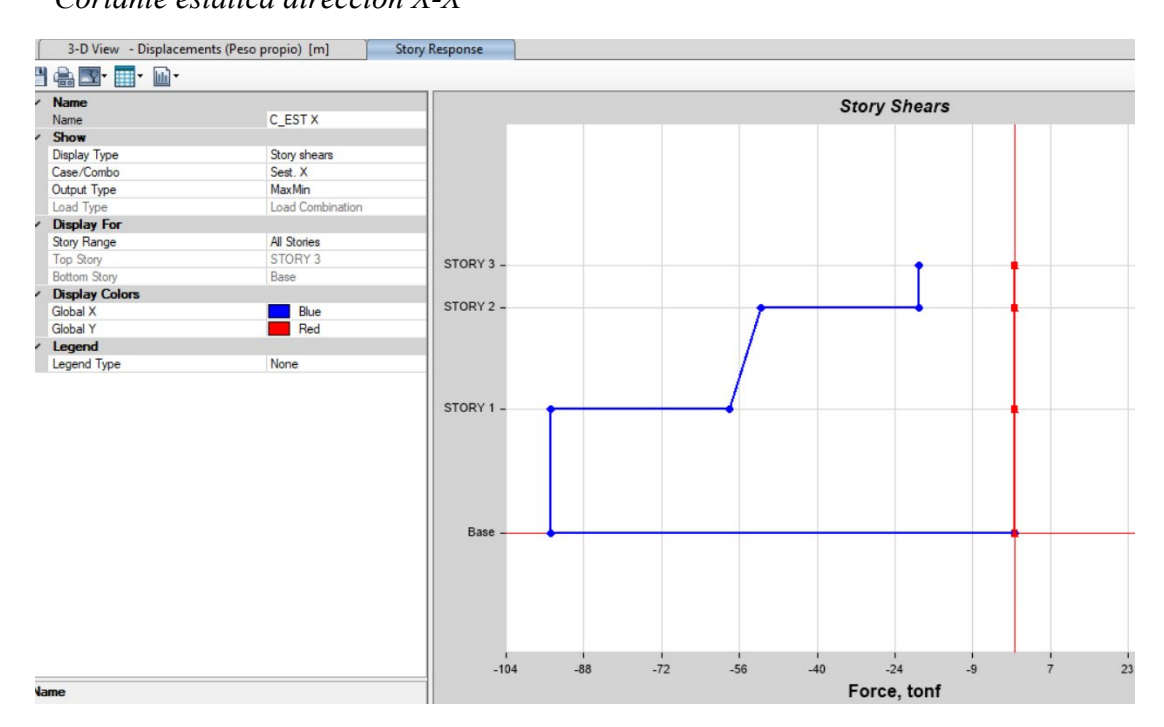
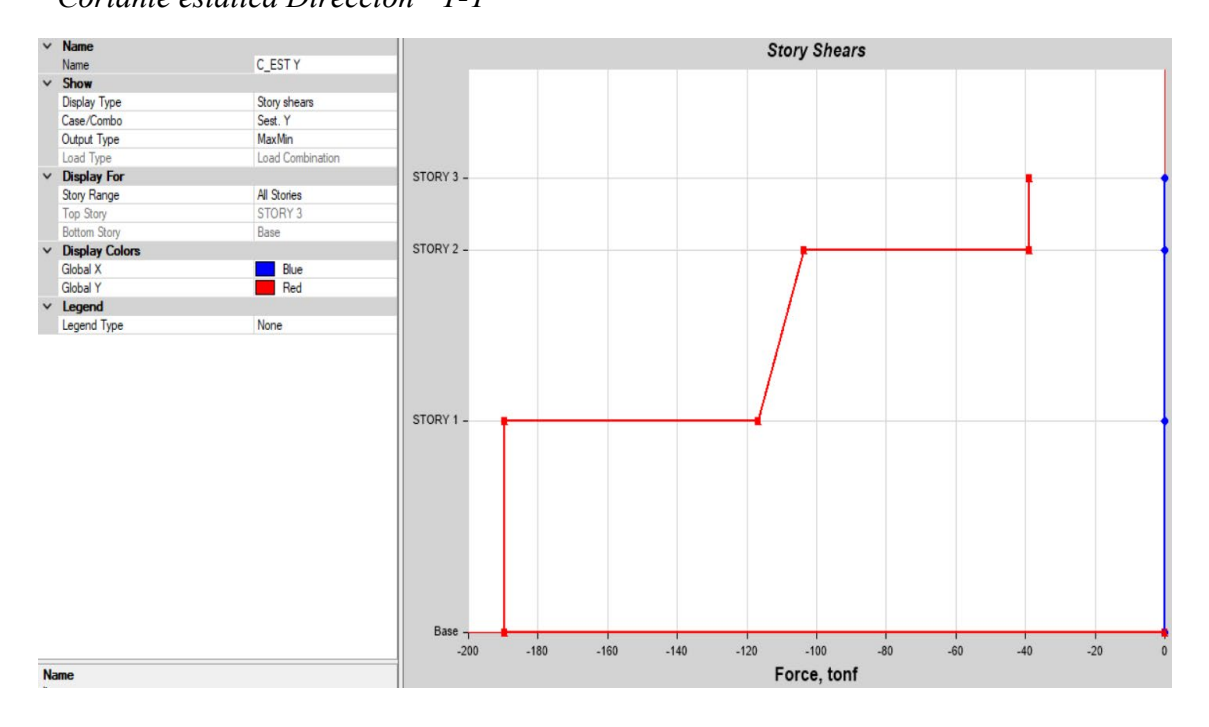


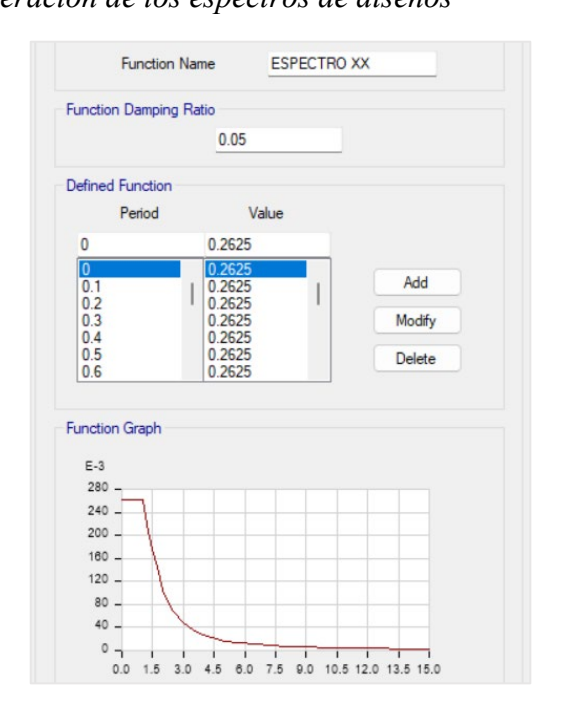
Figura 5.11

Cortante estática Dirección "Y-Y"



5.0 Calculo de las Cortantes Dinámicas

Figura 5.12Generación de los espectros de diseños



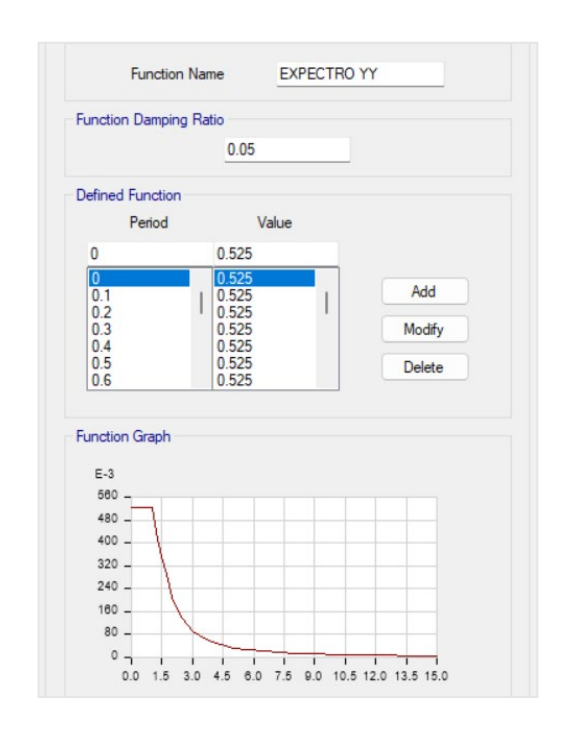


Figura 5.13

Generación de cargas dinámicas

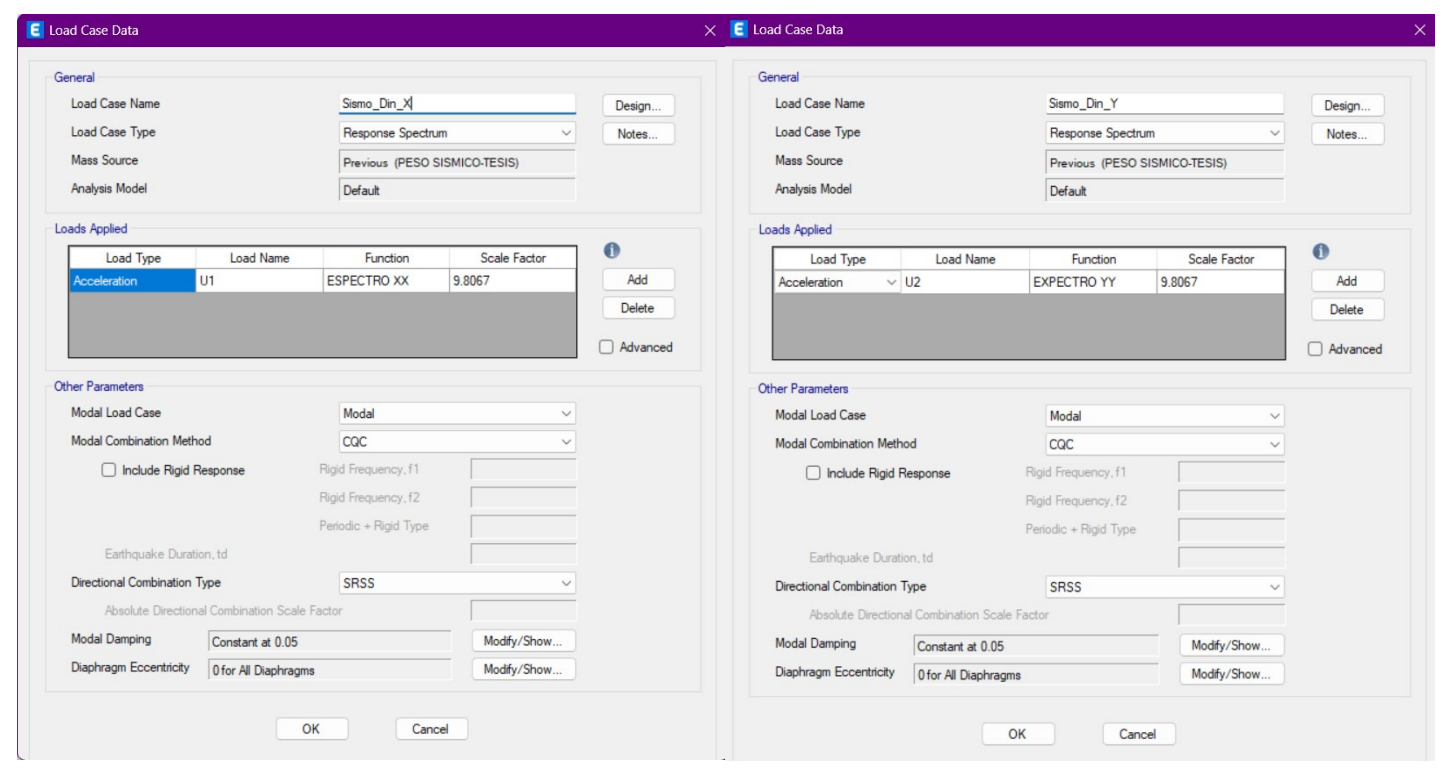


Figura 5.14

Cortante dinámica – dirección X-X

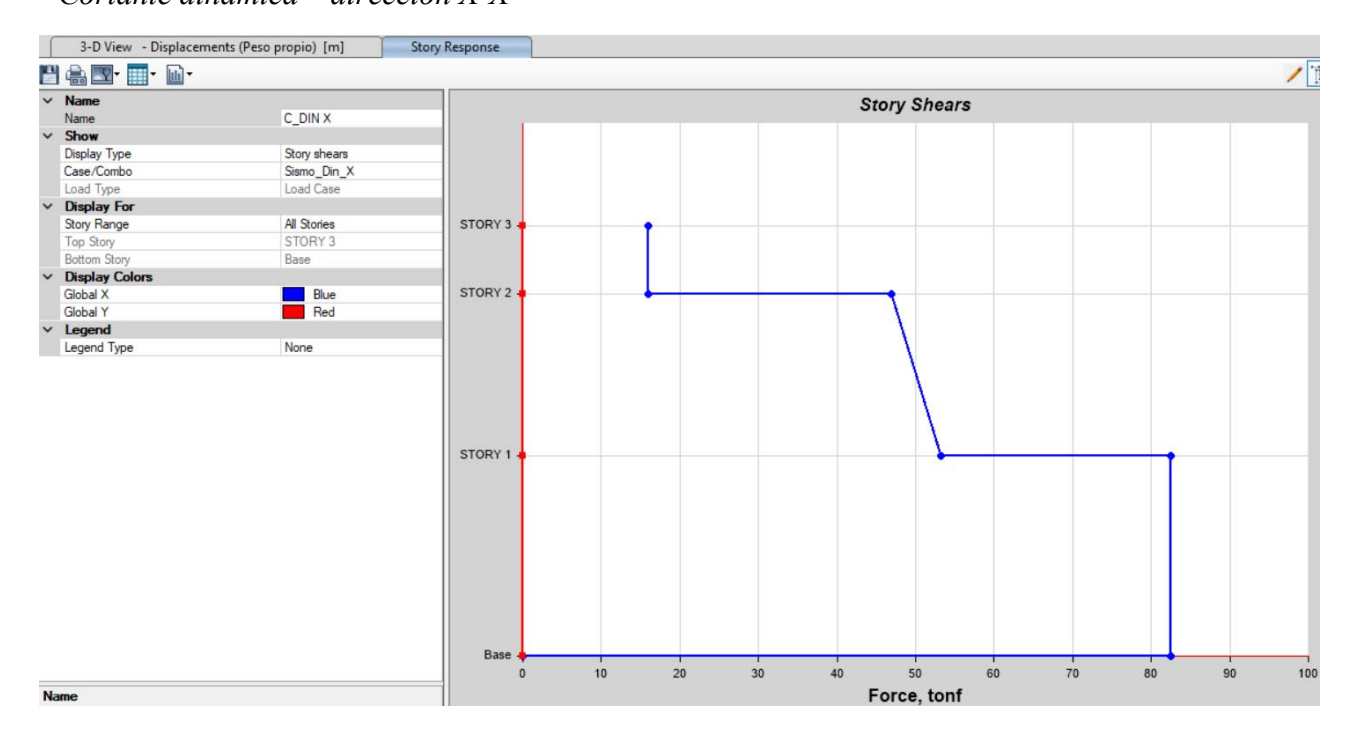
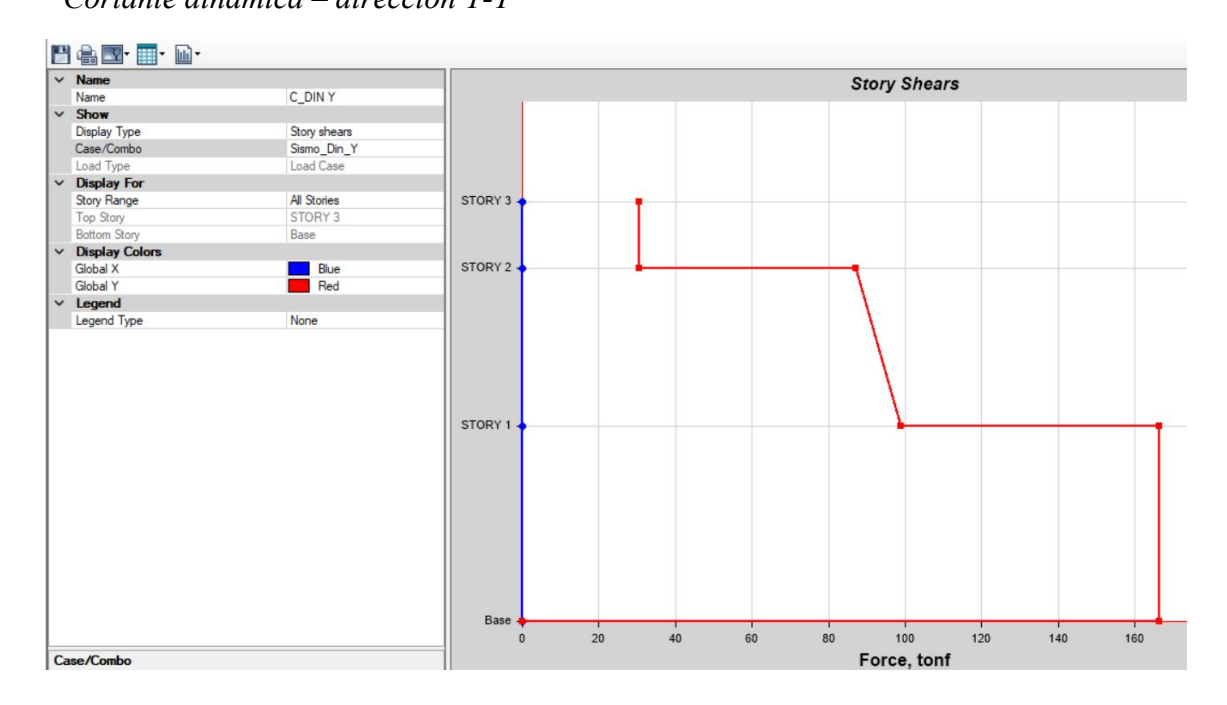


Figura 5.15Cortante dinámica – dirección Y-Y



6.0 Desplazamientos elásticos.

Figura 5.16

Desplazamientos elásticos Dirección X-X

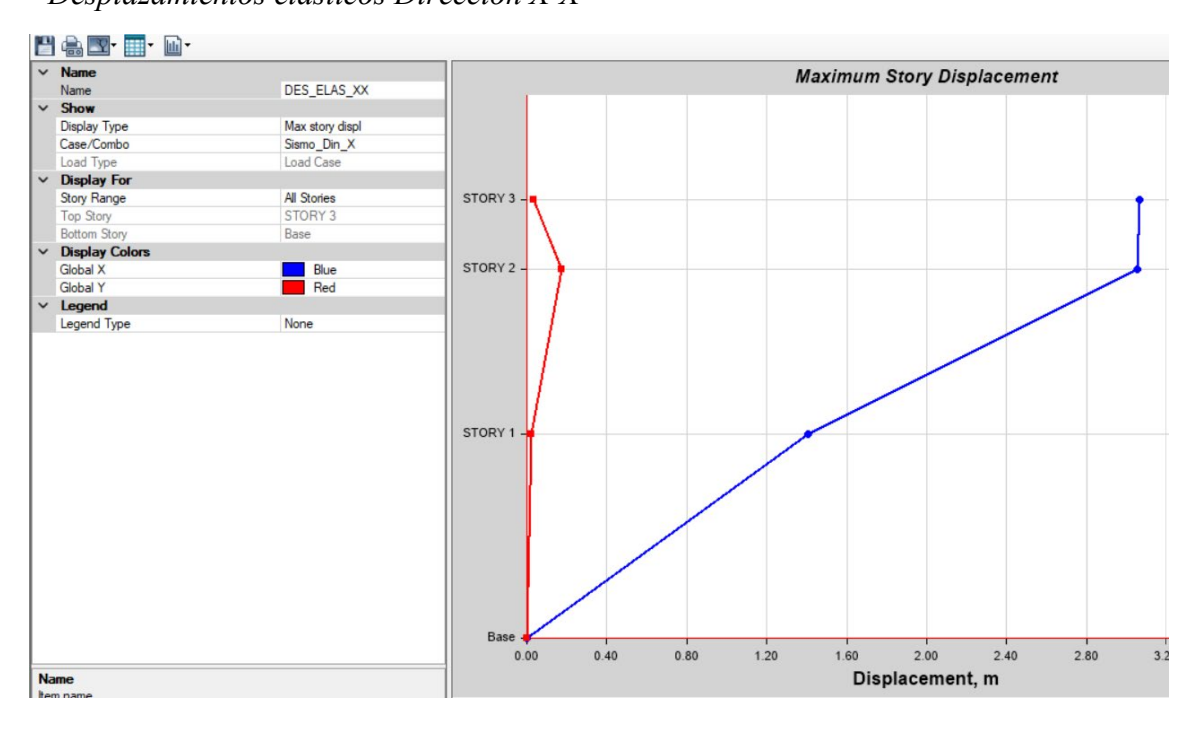
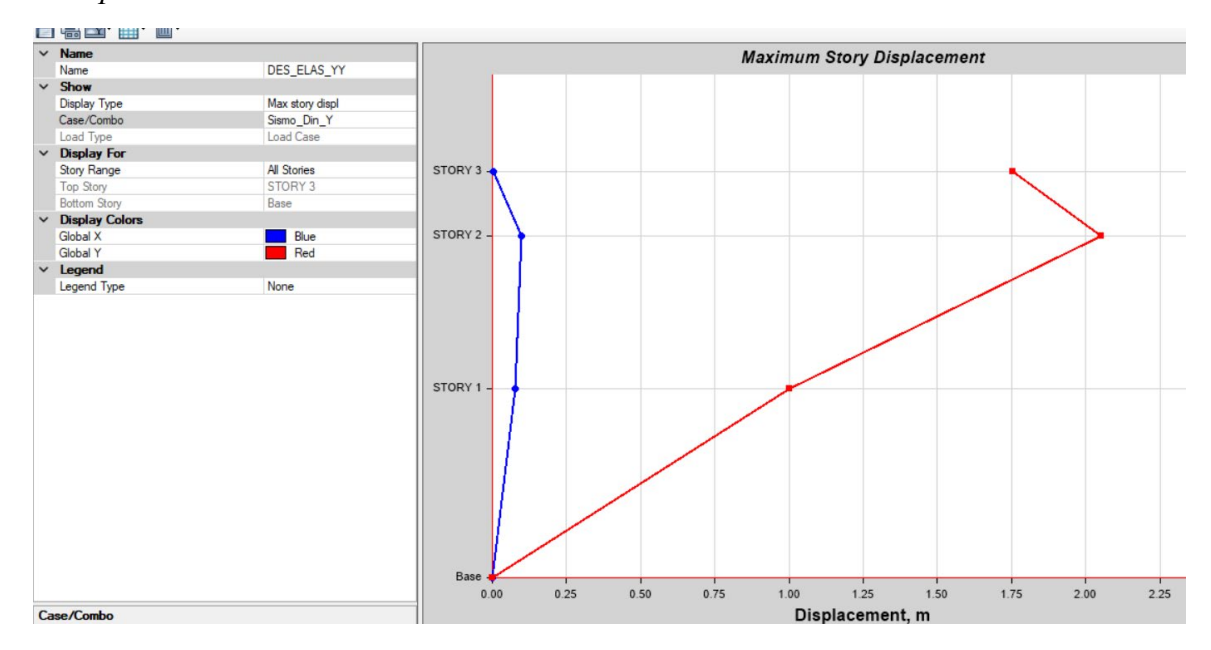


Figura 5.17Desplazamientos elásticos Dirección Y-Y



7.0 Comportamiento de Vigas.

Figura 5.18

Momentos actuantes en vigas

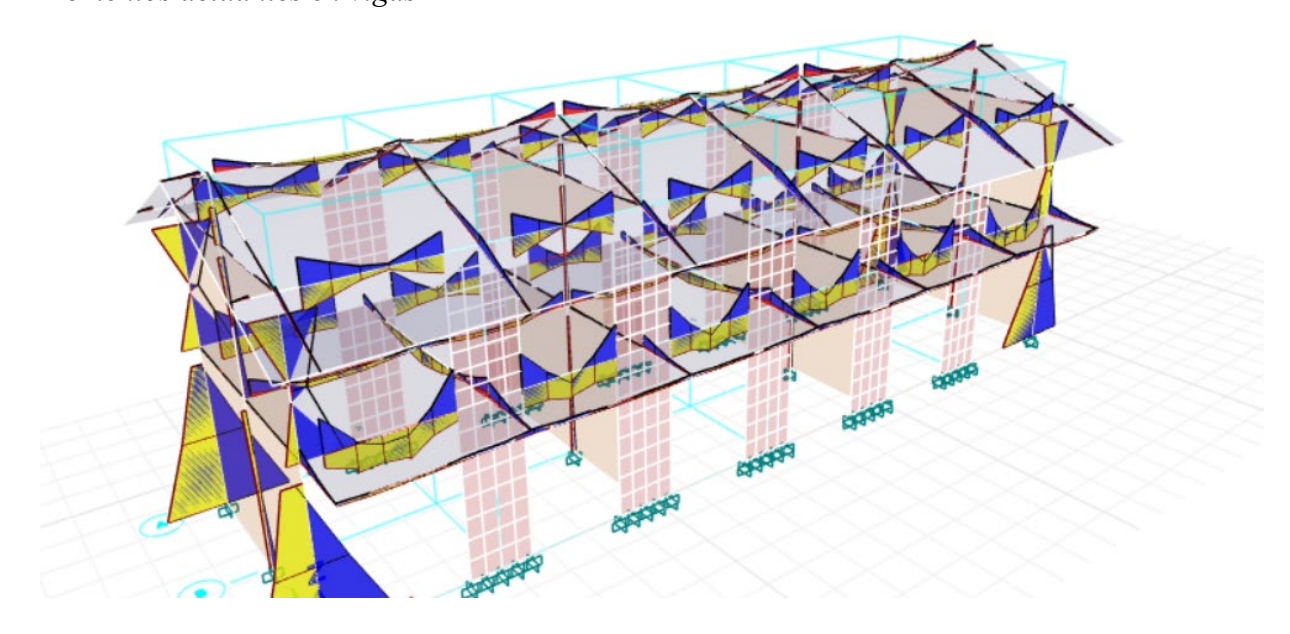
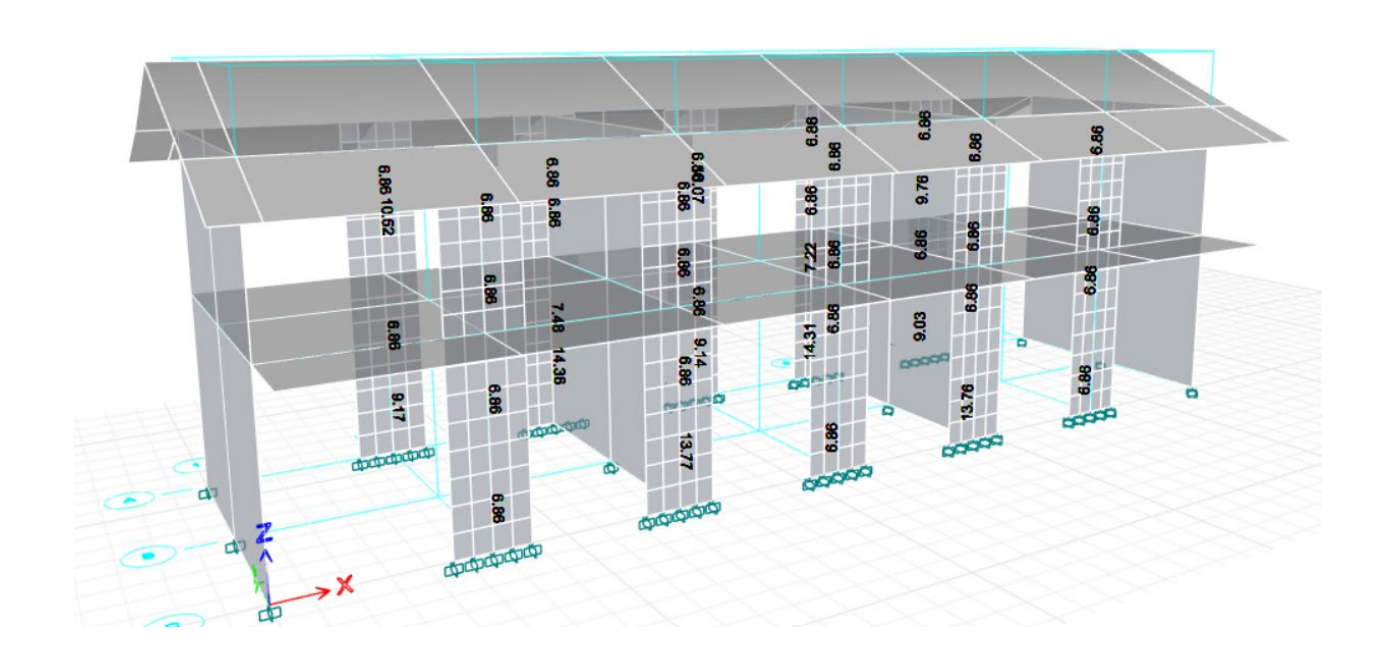
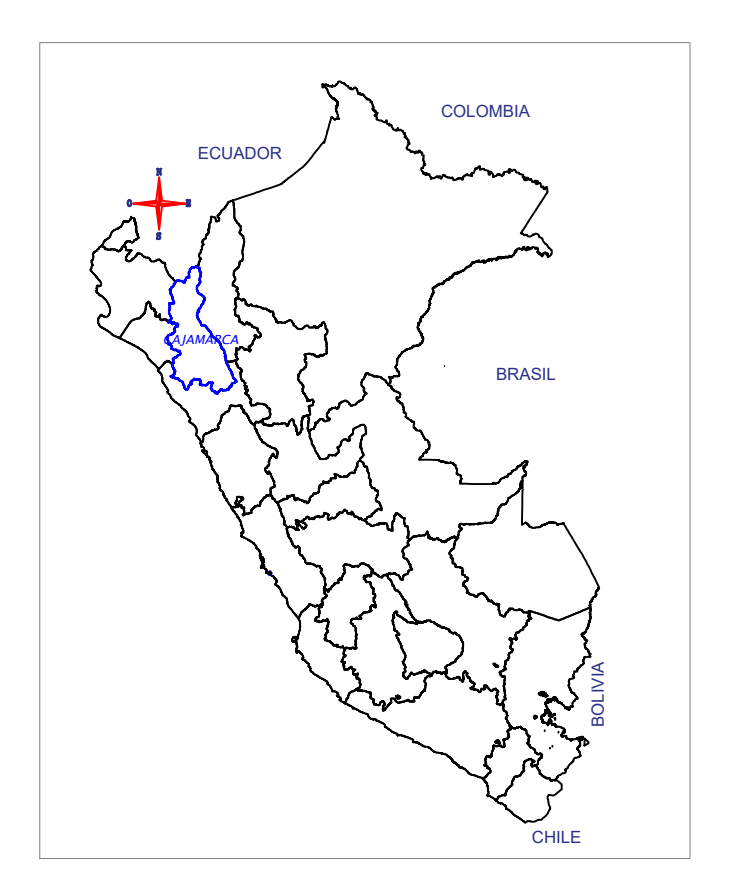


Figura 5.19 *Acero necesario en columnas y placas*





REPÚBLICA DEL PERÚ



PROVINCIA CAJAMARCA

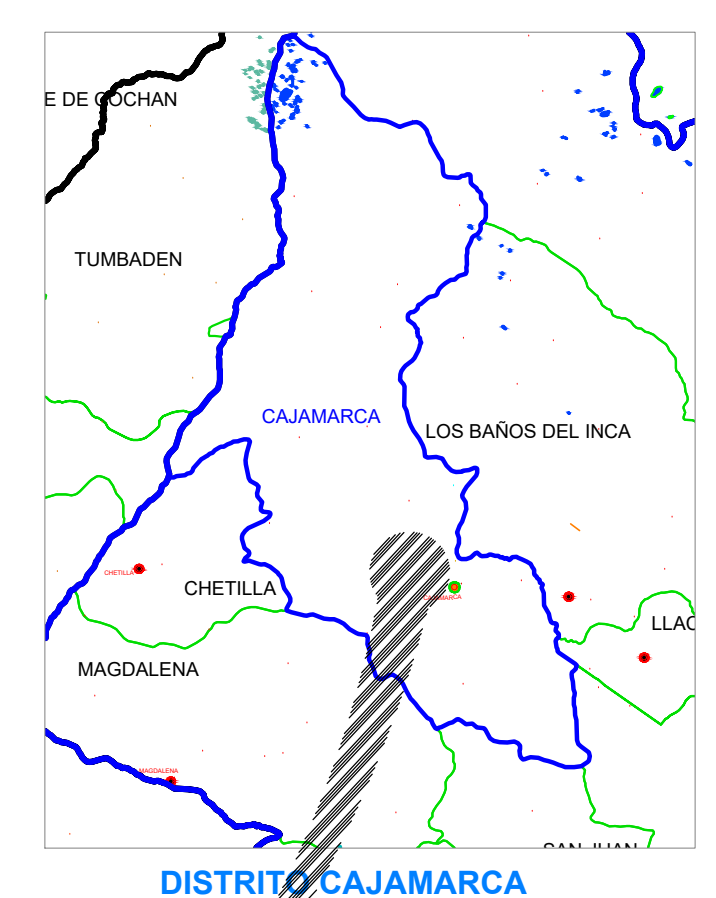




Tabla 1: Ubicación política de la institución educativa Primaria "Nº82020 Porcón Bajo"

Comunidad	omunidad Distrito		Departamento	
"Porcón Bajo"	Cajamarca	Cajamarca	Cajamarca	

Tabla 2: Ubicación geográfica de la institución educativa Primaria "N°82020 Porcón Bajo"				
Comunidad	Referencia	Coordenadas (WGS-84)		
"Porcón Bajo"	Ruta 3N	Este	Norte	Cota
	Cajamarca – Chota Km-24	767436.02	9215718.51	3179

UBICACIÓN DE LA INSTITUCIÓN EDUCATIVA PRIMARIA N°82020 PORCÓN BAJO



UNIVERSIDAD NACIONAL DE **CAJAMARCA**

FACULTAD-ESCUELA

Facultad de Ingeniería. Escuela profesional de Ingeniería Civil.

NIVEL DE RIESGO SÍSMICO **DE LA INFRAESTRUCTURA EDUCATIVA PRIMARIA** N°82020 PORCÓN BAJO, PROVINCIA CAJAMARCA -2024.

UBICACIÓN

Departamento: Cajamarca
Provincia: Cajamarca <u>Distrito:</u> Cajamarca <u>Comunidad:</u> "Porcon Bajo"

TESISTA

Bach. Nilder Díaz Vázquez

ASESOR

Dr. Ing: Hermes Roberto Mosqueira Ramirez

PLANO

LOCALIZACIÓN Y UBICACIÓN DE LA INSTITUCIÓN EDUCATIVA

ESCALA

INDICADA

FECHA

LAMINA N° UL

03/12/2024

